



REGIONE BASILICATA
 PROVINCIA DI MATERA
 COMUNI DI MONTESCAGLIOSO,
 POMARICO E BERNALDA



AUTORIZZAZIONE UNICA EX D.LGS. 387/2003

Progetto Definitivo
 Parco eolico "Piana dell'Imperatore" e opere connesse

TITOLO ELABORATO

A.11 Relazione preliminare sulle strutture

CODICE ELABORATO

COMMESSA	FASE	ELABORATO	REV.
F0355	A	R11	A

Riproduzione o consegna a terzi solo dietro specifica autorizzazione

SCALA

—

DATA	DESCRIZIONE	REDATTO	VERIFICATO	APPROVATO
ottobre 2020	prima emissione	BDE	GDS	GMA

PROPONENTE

FRI-EL

FRI-EL S.p.A.
 Piazza della Rotonda 2
 00186 Roma (RM)
 fri-elspa@legalmail.it
 P. Iva 01652230218
 Cod. Fisc. 07321020153

PROGETTAZIONE

 **F4 ingegneria srl**
 via Di Giura - Centro Direzionale, 85100 Potenza
 Tel: +39 0971 1 944 797 - Fax: +39 0971 5 54 52
 www.f4ingegneria.it - f4ingegneria@pec.it

Il Direttore Tecnico
 (ing. Giuseppe Manzi)



 Società certificata secondo la norma UNI-EN ISO 9001:2015 per l'erogazione di servizi di ingegneria nei settori: civile, idraulica, acustica, energia, ambiente (settore IAF: 34).





Sommario

1 Premessa	2
2 Normativa di riferimento	3
3 Materiali impiegati	4
4 Terreni	6
5 Analisi dei carichi	7
5.1 Carichi aerogeneratore	7
5.2 Peso plinto	9
5.3 Combinazioni di carico	10
6 Codice di calcolo impiegato	11
6.1 Modello di calcolo	12
7 Verifiche geotecniche	13
7.1 Verifica a ribaltamento	14
7.2 Tensioni sul terreno	15
7.3 Carico limite per pali	15
8 Verifiche strutturali	17
8.1 Verifica a pressoflessione retta del plinto	17
8.2 Verifica delle tensioni di esercizio del plinto	51
8.3 Verifica a fessurazione del plinto	51
8.4 Verifica a pressoflessione deviata dei pali	52
8.5 Verifica a taglio per pressoflessione deviata dei pali	52

1 Premessa

Scopo della presente relazione è l'analisi statica del plinto di fondazione dell'aerogeneratore del parco eolico in oggetto. La vita nominale dell'opera è stabilita in 50 anni e la classe d'uso relativa è la classe II.

La fondazione è costituita da un plinto su pali; il plinto ha un diametro pari a 21.70 m ed altezza variabile da 2.30 m (esterno gonna aerogeneratore) a 0.70 m (esterno plinto); i pali sono 12, di diametro pari a 1.00 m e lunghezza 15.00 m.

Il calcolo riguarda le sollecitazioni massime delle singole componenti della fondazione e la loro verifica.



Figura 1: vista tridimensionale della fondazione dell'aerogeneratore



2 Normativa di riferimento

Le fasi di analisi e verifica della struttura sono state condotte in accordo alle seguenti disposizioni normative, per quanto applicabili in relazione al criterio di calcolo adottato dal progettista, evidenziato nel prosieguo della presente relazione:

- Legge 5 novembre 1971 n. 1086 (G. U. 21 dicembre 1971 n. 321) "Norme per la disciplina delle opere di conglomerato cementizio armato, normale e precompresso ed a struttura metallica";
- Legge 2 febbraio 1974 n. 64 (G. U. 21 marzo 1974 n. 76) "Provvedimenti per le costruzioni con particolari prescrizioni per le zone sismiche". Indicazioni progettive per le nuove costruzioni in zone sismiche a cura del Ministero per la Ricerca scientifica - Roma 1981;
- D. M. Infrastrutture Trasporti 17/01/2018 (G.U. 20/02/2018 n. 42 - Suppl. Ord. n. 8) "Aggiornamento delle Norme tecniche per le Costruzioni".

Inoltre, in mancanza di specifiche indicazioni, ad integrazione della norma precedente e per quanto con esse non in contrasto, sono state utilizzate le indicazioni contenute nelle seguenti norme:

- D. M. Infrastrutture Trasporti 14 gennaio 2008 (G.U. 4 febbraio 2008 n. 29 - Suppl. Ord.) "Norme tecniche per le Costruzioni";
- Circolare 21 gennaio 2019 n. 7 del Ministero delle Infrastrutture e dei Trasporti "Istruzioni per l'applicazione dell'Aggiornamento delle Norme Tecniche per le Costruzioni di cui al D.M. 17 gennaio 2018".



3 Materiali impiegati

Tutti i materiali strutturali impiegati devono essere muniti di marcatura "CE" ed essere conformi alle prescrizioni del "REGOLAMENTO (UE) N. 305/2011 DEL PARLAMENTO EUROPEO E DEL CONSIGLIO del 9 marzo 2011", in merito ai prodotti da costruzione.

Per la realizzazione dell'opera in oggetto saranno impiegati i seguenti materiali; in particolare si precisa che si utilizzerà un cls tipo C30/37 per il plinto e tipo C25/30 per i pali.

CALCESTRUZZO

Caratteristiche calcestruzzo															
N _{id}	γ _k	α _{T, i}	E	G	C _{Erid}	Stz	R _{ck}	R _{cm}	%R _{ck}	γ _c	f _{cd}	f _{ctd}	f _{cfm}	N	n Ac
	[N/m ³]	[1/°C]	[N/mm ²]	[N/mm ²]	[%]		[N/mm ²]	[N/mm ²]			[N/mm ²]	[N/mm ²]	[N/mm ²]		
Cls C30/37_B450C - (C30/37)															
002	25.000	0,000010	33.019	13.758	60	P	37,00	-	0,85	1,50	17,40	1,37	3,53	15	003
Cls C25/30_B450C - (C25/30)															
004	25.000	0,000010	31.447	13.103	60	P	30,00	-	0,85	1,50	14,11	1,19	3,07	15	003

LEGENDA:

- N_{id} Numero identificativo del materiale, nella relativa tabella dei materiali.
 γ_k Peso specifico.
 α_{T, i} Coefficiente di dilatazione termica.
 E Modulo elastico normale.
 G Modulo elastico tangenziale.
 C_{Erid} Coefficiente di riduzione del Modulo elastico normale per Analisi Sismica [E_{sisma} = E·C_{Erid}].
 Stz Tipo di situazione: [F] = di Fatto (Esistente); [P] = di Progetto (Nuovo).
 R_{ck} Resistenza caratteristica cubica.
 R_{cm} Resistenza media cubica.
 %R_{ck} Percentuale di riduzione della R_{ck}.
 γ_c Coefficiente parziale di sicurezza del materiale.
 f_{cd} Resistenza di calcolo a compressione.
 f_{ctd} Resistenza di calcolo a trazione.
 f_{cfm} Resistenza media a trazione per flessione.
 n Ac Identificativo, nella relativa tabella materiali, dell'acciaio utilizzato: [-] = parametro NON significativo per il materiale.

ACCIAIO

Caratteristiche acciaio															
N _{id}	γ _k	α _{T, i}	E	G	Stz	f _{yk,1} / f _{yk,2}	f _{tk,1} / f _{tk,2}	f _{yd,1} / f _{yd,2}	f _{td}	γ _s	γ _{M1}	γ _{M2}	γ _{M3,SLV}	γ _{M3,SLE}	γ _{M7} NCnt Cnt
	[N/m ³]	[1/°C]	[N/mm ²]	[N/mm ²]		[N/mm ²]	[N/mm ²]	[N/mm ²]	[N/mm ²]						
Acciaio B450C - (B450C)															
003	78.500	0,000010	210.000	80.769	P	450,00 -	-	391,30 -	-	1,15	-	-	-	-	-

LEGENDA:

- N_{id} Numero identificativo del materiale, nella relativa tabella dei materiali.
 γ_k Peso specifico.
 α_{T, i} Coefficiente di dilatazione termica.
 E Modulo elastico normale.
 G Modulo elastico tangenziale.
 Stz Tipo di situazione: [F] = di Fatto (Esistente); [P] = di Progetto (Nuovo).
 f_{tk,1} Resistenza caratteristica a Rottura (per profili con t ≤ 40 mm).
 f_{tk,2} Resistenza caratteristica a Rottura (per profili con 40 mm < t ≤ 80 mm).
 f_{td} Resistenza di calcolo a Rottura (Bulloni).
 γ_s Coefficiente parziale di sicurezza allo SLV del materiale.
 γ_{M1} Coefficiente parziale di sicurezza per instabilità.
 γ_{M2} Coefficiente parziale di sicurezza per sezioni tese indebolite.
 γ_{M3,SLV} Coefficiente parziale di sicurezza per scorrimento allo SLV (Bulloni).
 γ_{M3,SLE} Coefficiente parziale di sicurezza per scorrimento allo SLE (Bulloni).
 γ_{M7} Coefficiente parziale di sicurezza precarico di bulloni ad alta resistenza (Bulloni - NCnt = con serraggio NON controllato; Cnt = con serraggio controllato). [-] = parametro NON significativo per il materiale.
 f_{yk,1} Resistenza caratteristica allo snervamento (per profili con t ≤ 40 mm).
 f_{yk,2} Resistenza caratteristica allo snervamento (per profili con 40 mm < t ≤ 80 mm).



Caratteristiche acciaio

N _{id}	γ_k	$\alpha_{T, i}$	E	G	Stz	$f_{yk,1}/f_{yk,2}$	$f_{tk,1}/f_{tk,2}$	$f_{yd,1}/f_{yd,2}$	f_{td}	γ_s	γ_{M1}	γ_{M2}	$\gamma_{M3,SLV}$	$\gamma_{M3,SLE}$	γ_{M7}	
															NCn	Cnt
	[N/m ³]	[1/°C]	[N/mm ²]	[N/mm ²]		[N/mm ²]	[N/mm ²]	[N/mm ²]	[N/mm ²]							

$f_{yd,1}$ Resistenza di calcolo (per profili con $t \leq 40$ mm).

$f_{yd,2}$ Resistenza di calcolo (per profili con $40 \text{ mm} < t \leq 80$ mm).

NOTE [-] = Parametro non significativo per il materiale.



4 Terreni

Tutti i parametri che caratterizzano i terreni di fondazione sono riportati di seguito. Per ulteriori dettagli si rimanda alla Relazione geologica.

TERRENI

N _{TRN}	γ _T [N/m ³]	K ₁			φ [°]	C _u [N/mm ²]	c' [N/mm ²]	E _d [N/mm ²]	E _{cu} [N/mm ²]	Terreni
		K _{1X} [N/cm ³]	K _{1Y} [N/cm ³]	K _{1Z} [N/cm ³]						A _{S-B}
GHIAIA IN MATRICE SABBIOSA										
T001	19.900	60	60	30	33	0,000	0,000	25	0	0,000
SABBIA GHIAIOSA DEBOLMENTE LIMOSA										
T002	19.500	60	60	300	28	0,000	0,000	20	0	0,000
ARGILLE LIMOSE MARNOSE										
T003	20.400	10	10	30	21	0,000	0,025	5	0	0,000

LEGENDA:

N _{TRN}	Numero identificativo del terreno.
γ _T	Peso specifico del terreno.
K ₁	Valori della costante di Winkler riferita alla piastra Standard di lato b = 30 cm nelle direzioni degli assi del riferimento globale X (K _{1X}), Y (K _{1Y}), e Z (K _{1Z}).
φ	Angolo di attrito del terreno.
C _u	Coesione non drenata.
c'	Coesione efficace.
E _d	Modulo edometrico.
E _{cu}	Modulo elastico in condizione non drenate.
A _{S-B}	Parametro "A" di Skempton-Bjerrum per pressioni interstiziali.

5 Analisi dei carichi

5.1 Carichi aerogeneratore

L'aerogeneratore previsto è fornito dalla società Vestas ed è del tipo V162-HH119. La relazione fornita dal produttore Vestas riporta le massime sollecitazioni che la torre scarica in fondazione.

Le sollecitazioni indotte dal sisma risultano inferiori a quelle dovute al vento, per cui si analizzerà solamente il caso di carico massimo dovuto al vento.

Ai fini del calcolo si utilizzano i carichi derivanti dalla IEC 61400-1, più gravosi rispetto a quelli derivanti dalla normativa italiana.

I carichi forniti dal produttore rappresentano i carichi massimi da non combinare con alcun altro tipo di carico; essi includono gli effetti dinamici della struttura e corrispondono alla più sfavorevole tra le combinazioni con carico da vento sulla turbina.

I carichi massimi, forniti ad una quota di +20 cm rispetto all'estradosso della fondazione, sono di seguito riportati.

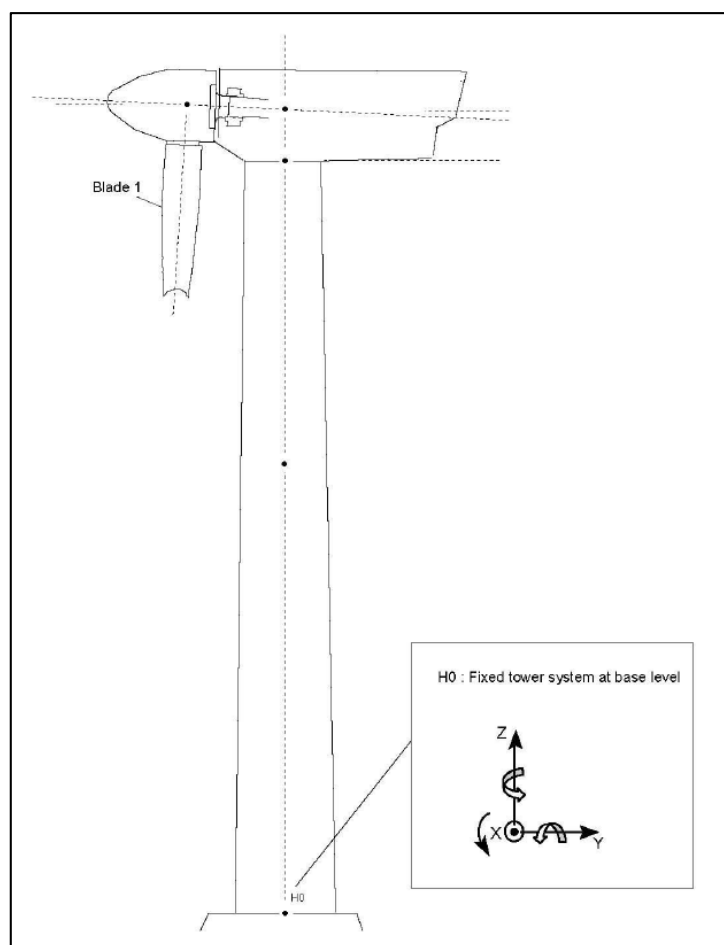


Figura 2: sistema di riferimento aerogeneratore





Characteristic Extreme							
Lead	LC/Family	PLF	Type	Mbt1	Mzt1	FndFr	Fzt1
Sensor	[-]	[-]	[-]	[kNm]	[kNm]	[kN]	[kN]
Mbt1	14EcdVrma00(fam43)	1.35	Abs	164300	1429	1292	-7447
Mzt1	23NTMHW0100(fam166)	1.49	Abs	29490	-15630	261.9	-7198
FndFr	23NTMVRp00(fam164)	1.49	Abs	135200	-841.6	1308	-7458
Fzt1	23NTMHW0100(fam166)	1.49	Abs	68500	-998.0	554.0	-7557

Table 2-1 Characteristic Extreme (excl. PLF). Load cases sorted with PLF.

Characteristic Extreme							
Lead	LC/Family	PLF	Type	Mbt1	Mzt1	FndFr	Fzt1
Sensor	[-]	[-]	[-]	[kNm]	[kNm]	[kN]	[kN]
Mbt1	14EcdVrma00(fam43)	1.35	Abs	164300	1429	1292	-7447
Mzt1	23NTMHW0100(fam166)	1.49	Abs	29490	-15630	261.9	-7198
FndFr	1312etm00(fam36)	1.35	Abs	135000	-1762	1341	-7419
Fzt1	12IceUHWO100(fam26)	1.35	Abs	62620	1551	439.1	-7633

Table 2-2 Characteristic Extreme (excl. PLF). Load cases sorted without PLF.

Characteristic Extreme							
Lead	LC/Family	PLF	Type	Mbt1	Mzt1	FndFr	Fzt1
Sensor	[-]	[-]	[-]	[kNm]	[kNm]	[kN]	[kN]
Mbt1	62E50b08000(fam286)	1.10	Abs	141300	2643	1243	-7320
Mzt1	22OSFHW0200(fam103)	1.10	Abs	27320	-13680	188.6	-7225
FndFr	62E50b08000(fam286)	1.10	Abs	141200	2678	1246	-7319
Fzt1	22VOGHWO200(fam113)	1.10	Abs	56710	3416	379.5	-7532

Table 2-3 Characteristic Extreme (excl. PLF). Only load cases with PLF = 1.10.

Characteristic Extreme							
Lead	LC/Family	PLF	Type	Mbt1	Mzt1	FndFr	Fzt1
Sensor	[-]	[-]	[-]	[kNm]	[kNm]	[kN]	[kN]
Mbt1	14EcdVrma00(fam43)	1.35	Abs	164300	1429	1292	-7447
Mzt1	1320etm00(fam40)	1.35	Abs	56860	-13250	470.7	-7327
FndFr	1312etm00(fam36)	1.35	Abs	135000	-1762	1341	-7419
Fzt1	12IceUHWO100(fam26)	1.35	Abs	62620	1551	439.1	-7633

Table 2-4 Characteristic Extreme (excl. PLF). Only load cases with PLF = 1.35.

5.2 Peso plinto

Il plinto di fondazione ha un volume pari a circa 520.00 mc, mentre il colletto un volume pari a circa 21.00 mc. Considerando un peso del c.a. pari a 25.00 kN/mc avremo un peso totale pari a 13550 kN.



5.3 Combinazioni di carico

La struttura è calcolata con vita utile 50 anni. In accordo con il paragrafo 2.5.3 del D.M. 17/1/2018 la combinazione per le verifiche agli S.L.U. è:

$$\gamma_{G1} \cdot G_1 + \gamma_{G2} \cdot G_2 + \gamma_P \cdot P + \gamma_{Q1} \cdot Q_{k1} + \gamma_{Q2} \cdot \psi_{02} \cdot Q_{k2} + \gamma_{Q3} \cdot \psi_{03} \cdot Q_{k3} + \dots$$

dove:

- γ_{G1} coefficiente parziale per peso proprio della struttura ed dei pesi permanenti;
- G_1 è il valore caratteristico dei carichi permanenti;
- γ_{Q1} coefficiente parziale per dell'azione variabile;
- ψ_{0i} = è il coefficiente di combinazione che fornisce il valore raro dell'azione variabile Q_{kj} ;
- ψ_{2i} = è il coefficiente di combinazione che fornisce il valore quasi-permanente dell'azione variabile Q_{kj} ;
- Q_{kj} è il valore caratteristico dell'azione variabile Q_i ;

Allo S.L.E. le sollecitazioni con cui sono state semiprogettate le aste in c.a. sono state ricavate applicando le formule riportate nel D.M. 2018 al §2.5.3. Per le verifiche agli stati limite di esercizio, a seconda dei casi, si fa riferimento alle seguenti combinazioni di carico:

rara	frequente	quasi permanente
$\sum_{j \geq 1} G_{kj} + P + Q_{k1} + \sum_{i > 1} \psi_{0i} \cdot Q_{ki}$	$\sum_{j \geq 1} G_{kj} + P + \psi_{11} \cdot Q_{k1} + \sum_{i > 1} \psi_{2i} \cdot Q_{ki}$	$\sum_{j \geq 1} G_{kj} + P + \sum_{i > 1} \psi_{2i} \cdot Q_{ki}$

dove:

- G_{kj} : valore caratteristico della j-esima azione permanente;
- P_{kh} : valore caratteristico della h-esima deformazione impressa;
- Q_{kl} : valore caratteristico dell'azione variabile di base di ogni combinazione;
- Q_{ki} : valore caratteristico della i-esima azione variabile;
- ψ_{0i} : coefficiente atto a definire i valori delle azioni ammissibili di durata breve ma ancora significativi nei riguardi della possibile concomitanza con altre azioni variabili;
- ψ_{1i} : coefficiente atto a definire i valori delle azioni ammissibili ai frattili di ordine 0,95 delle distribuzioni dei valori istantanei;
- ψ_{2i} : coefficiente atto a definire i valori quasi permanenti delle azioni ammissibili ai valori medi delle distribuzioni dei valori istantanei.



6 Codice di calcolo impiegato

L'analisi strutturale della fondazione è stata sviluppata mediante calcolo automatico con modello tridimensionale utilizzando il programma Edilus sviluppato dalla ACCA Software.

Il software consente di modellare la struttura, di effettuare il dimensionamento e le verifiche di tutti gli elementi strutturali e di generare gli elaborati grafici esecutivi.

È una procedura integrata dotata di tutte le funzionalità necessarie per consentire il calcolo completo di una struttura mediante il metodo degli elementi finiti (FEM); la modellazione della struttura è realizzata tramite elementi Beam (travi e pilastri) e Shell (platee, pareti, solette, setti, travi-parete).

L'input della struttura avviene per oggetti (travi, pilastri, solai, solette, pareti, etc.) in un ambiente grafico integrato; il modello di calcolo agli elementi finiti, che può essere visualizzato in qualsiasi momento in una apposita finestra, viene generato dinamicamente dal software.

Apposite funzioni consentono la creazione e la manutenzione di archivi Sezioni, Materiali e Carichi; tali archivi sono generali, nel senso che sono creati una tantum e sono pronti per ogni calcolo, potendoli comunque integrare/modificare in ogni momento.

L'utente non può modificare il codice, ma soltanto eseguire delle scelte come:

- definire i vincoli di estremità per ciascuna asta (vincoli interni) e gli eventuali vincoli nei nodi (vincoli esterni);
- modificare i parametri necessari alla definizione dell'azione sismica;
- definire condizioni di carico;
- definire gli impalcati come rigidi o meno.

Il programma è dotato di un manuale tecnico ed operativo. L'assistenza è effettuata direttamente dalla casa produttrice, mediante linea telefonica o e-mail.

Il calcolo si basa sul solutore agli elementi finiti MICROSAP prodotto dalla società TESYS srl. La scelta di tale codice è motivata dall'elevata affidabilità dimostrata e dall'ampia documentazione a disposizione, dalla quale risulta la sostanziale uniformità dei risultati ottenuti su strutture standard con i risultati internazionalmente accettati ed utilizzati come riferimento.

Tutti i risultati del calcolo sono forniti, oltre che in formato numerico, anche in formato grafico permettendo così di evidenziare agevolmente eventuali incongruenze.

Il programma consente la stampa di tutti i dati di input, dei dati del modello strutturale utilizzato, dei risultati del calcolo e delle verifiche dei diagrammi delle sollecitazioni e delle deformate.

6.1 Modello di calcolo

Il modello della struttura viene creato automaticamente dal codice di calcolo, individuando i vari elementi strutturali e fornendo le loro caratteristiche geometriche e meccaniche.

Viene definita un'opportuna numerazione degli elementi (nodi, aste, shell) costituenti il modello, al fine di individuare celermente ed univocamente ciascun elemento.

Qui di seguito è fornita una rappresentazione grafica dettagliata della discretizzazione operata con evidenziazione dei nodi e degli elementi.

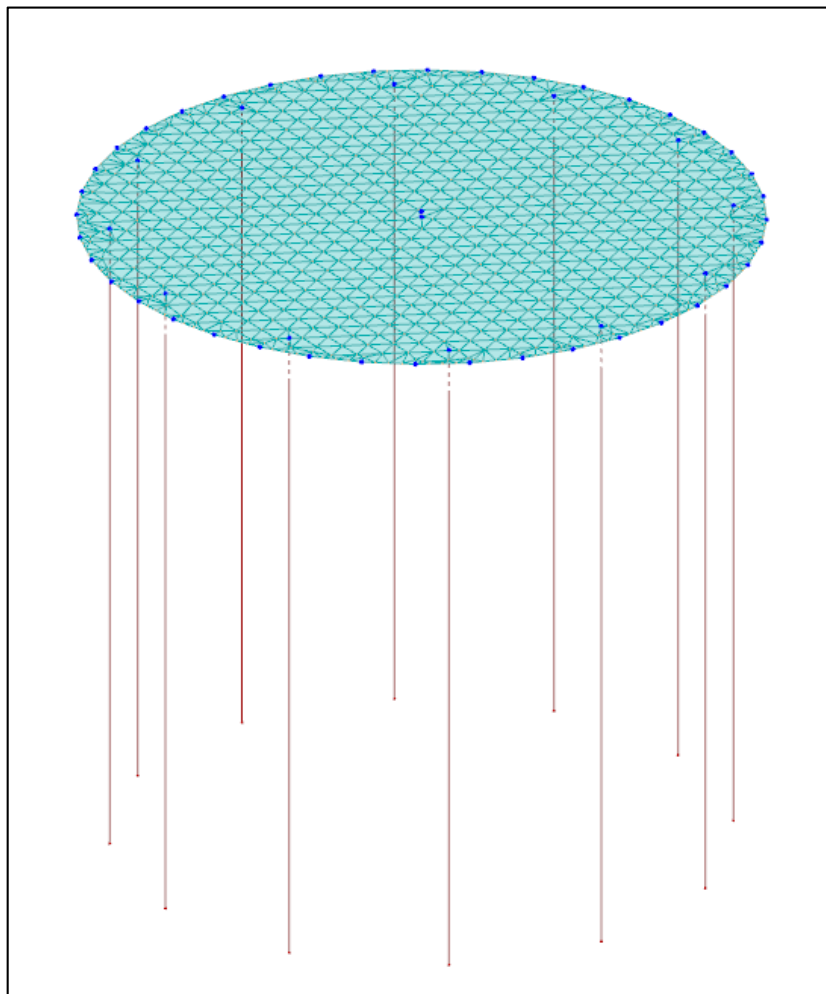


Figura 3: modello strutturale della fondazione

7 Verifiche geotecniche

Ai fini del calcolo strutturale, il terreno sottostante l'opera viene modellato secondo lo schema di Winkler, cioè un sistema costituito da un letto di molle elastiche mutuamente indipendenti. Ciò consente di ricavare le rigidzze offerte dai manufatti di fondazione, siano queste profonde o superficiali, che sono state introdotte direttamente nel modello strutturale per tener conto dell'interazione opera/terreno.

Nelle verifiche allo stato limite ultimo deve essere rispettata la condizione:

$$E_d \leq R_d$$

dove:

- E_d è il valore di progetto dell'azione o dell'effetto dell'azione;
- R_d è il valore di progetto della resistenza del sistema geotecnico.

Le verifiche strutturali e geotecniche delle fondazioni, sono state effettuate con l'Approccio 2 come definito al §2.6.1 del D.M. 2018, attraverso la combinazione A1+M1+R3. Le azioni sono state amplificate tramite i coefficienti della colonna A1 (STR) definiti nella tabella 6.2.I del D.M. 2018.

Tabella 6.2.I - Coefficienti parziali per le azioni o per l'effetto delle azioni [cfr. D.M. 2018]

CARICHI	EFFETTO	Coefficiente parziale γ_F (o γ_E)	A1 (STR)	A2 (GEO)
Carichi permanenti G_1	Favorevole	γ_{G1}	1,00	1,00
	Sfavorevole		1,30	1,00
Carichi permanenti $G_2^{(1)}$	Favorevole	γ_{G2}	0,80	0,80
	Sfavorevole		1,50	1,30
Azioni variabili Q	Favorevole	γ_Q	0,00	0,00
	Sfavorevole		1,50	1,30

⁽¹⁾ Per i carichi permanenti G_2 si applica quanto indicato alla Tabella 2.6.I. Per la spinta delle terre si fa riferimento ai coefficienti γ_{G1}

I valori di resistenza del terreno sono stati ridotti tramite i coefficienti della colonna M1 definiti nella tabella 6.2.II del D.M. 2018.

Tabella 6.2.II - Coefficienti parziali per i parametri geotecnici del terreno [cfr. D.M. 2018]

PARAMETRO GEOTECNICO	Grandezza alla quale applicare il coefficiente parziale	Coefficiente parziale γ_M	M1	M2
Tangente dell'angolo di resistenza a taglio	$\tan \phi_k$	$\gamma_{\phi'}$	1,00	1,25
Coazione efficace	c'_k	$\gamma_{c'}$	1,00	1,25
Resistenza non drenata	c_{uk}	γ_{cu}	1,00	1,40
Peso dell'unità di volume	γ_f	γ_f	1,00	1,00

Per le fondazioni su pali, i valori calcolati delle resistenze totali dell'elemento strutturale sono stati divisi per i coefficienti R3 della tabella 6.4.II del D.M. 2018.

Tabella 6.4.II - Coefficienti parziali γ_R da applicare alle resistenze caratteristiche a carico verticale dei pali (cfr. D.M. 2018)

Resistenza	Simbolo	infissi	trivellati	ad elica continua
	γ_R	R3	R3	R3



Base	γ_b	1,15	1,35	1,30
Laterale in compressione	γ_s	1,15	1,15	1,15
Totale ^(*)	γ_t	1,15	1,30	1,25
Laterale in trazione	$\gamma_{s,t}$	1,25	1,25	1,25

(*) da applicare alle resistenze caratteristiche dedotte dai risultati di prove di carico di progetto.

7.1 Verifica a ribaltamento

Il calcolo si basa sulla valutazione dell'equilibrio alla rotazione intorno ad ognuno dei lati della fondazione, considerandoli come una cerniera lineare fissa, **proiettando** tutti i momenti (ribaltanti e stabilizzanti) nel piano verticale ortogonale ai singoli lati di base escludendo qualsivoglia forza di reazione del terreno (che allo stato limite di rotazione rigida infatti è privo di contatto con la fondazione).

Si tratta quindi di controllare se il rapporto tra il momento stabilizzante ed il momento ribaltante M_{stab}/M_{rib} sia superiore al fattore di sicurezza parziale $\gamma_R = 1.25$.

$$M_{rib} = M_y + F_x \cdot h$$

$$M_{stab} = M_{stab\ plinto} + M_{stab\ pali}$$

$$M_{stab\ plinto} = (F_z + G) \cdot r$$

$M_{stab\ pali}$ si calcola moltiplicando la resistenza laterale di progetto di ciascun palo per la distanza del palo dal punto di rotazione. Nel caso in esame ciascun palo ha una resistenza laterale di progetto pari a 1120 kN.

M_y , F_x e F_z sono i carichi massimi forniti dal produttore dell'aerogeneratore, G è dato dalla somma del peso del plinto in c.a. e del peso del terreno di rinterro.

A vantaggio di sicurezza, non si considera il peso del terreno di rinterro quale contributo delle forze stabilizzanti.

VERIFICA A RIBALTAMENTO TORRE EOLICA					
M_y (kNm)	F_x (kN)	F_z (kN)	h_{plinto} (m)	D_{plinto} (m)	P_{CLS} (kN/mc)
164300	1341	7633	1,4	21,75	25
V_{plinto} (mc)	P_{plinto} (m)	Res. laterale pali (kN)			
540,90	13522,39219	1120			
M_{rib} (kNm)	$M_{stab,plinto}$ (kNm)	$M_{stab,pali}$ (kNm)	FS Ribaltamento	VERIFICA	
166177,4	230064,89	145801,6	2,26	OK	

7.2 Tensioni sul terreno

Si riporta, di seguito, un'immagine raffigurante lo stato tensionale massimo allo S.L.U. sul terreno.

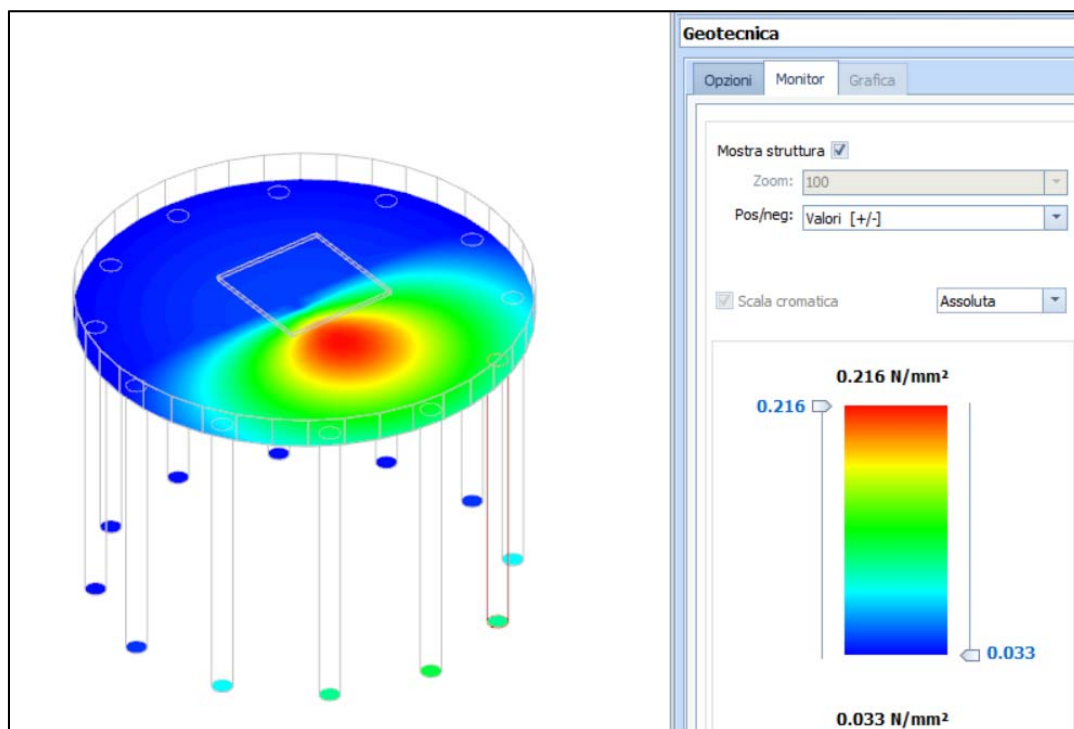


Figura 4: tensioni sul terreno

7.3 Carico limite per pali

Per il calcolo del carico limite verticale viene adottato il metodo dell'equilibrio limite in base al quale il carico limite verticale q_{lim} è dato dalla somma della resistenza laterale P_l e della resistenza alla punta P_p :

$$q_{lim} = P_p + P_l$$

Stimando il carico limite sia in condizione drenate che non drenate è fondamentale nella stratigrafia il comportamento del singolo strato (coerente/incoerente). In particolare se uno strato è stato dichiarato incoerente il suo contributo al carico limite viene sempre valutato in condizioni drenate a prescindere dal metodo di calcolo richiesto (drenato/non drenato).

Per la valutazione del carico limite orizzontale si è fatto riferimento alla teoria di Broms e al caso di pali supporti vincolati in testa (rotazione impedita). Le ipotesi assunte da *Broms* sono le seguenti:

- comportamento dell'interfaccia palo-terreno di tipo rigido-perfettamente plastico, cioè la resistenza del terreno si mobilita interamente per un qualsiasi valore non nullo dello spostamento e resta poi costante al crescere dello spostamento;



- forma del palo influente rispetto al carico limite orizzontale il quale risulta influenzato solo dal diametro del palo stesso;
- in presenza di forze orizzontali la resistenza della sezione strutturale del palo può essere chiamata in causa poiché il regime di sollecitazione di flessione e taglio che consegue all'applicazione di forze orizzontali è molto più gravoso dello sforzo normale che consegue all'applicazione di carichi verticali;
- anche il comportamento flessionale del palo è assunto di tipo rigido-perfettamente plastico, cioè le rotazioni plastiche del palo sono trascurabili finché il momento flettente non attinge al valore M_{plast} ovvero momento di plasticizzazione. A questo punto nella sezione si forma una cerniera plastica ovvero la rotazione continua indefinitamente sotto momento costante.

La resistenza limite laterale di un palo è determinata dal minimo valore fra:

- il carico orizzontale necessario per produrre il collasso del terreno lungo il fusto del palo;
- il carico orizzontale necessario per produrre la plasticizzazione del palo.

PALI - VERIFICHE A CARICO LIMITE VERTICALE E ORIZZONTALE ALLO SLU

Pali - Verifiche a carico limite verticale e orizzontale allo SLU												
Id _{PI/Pnt} PI	Id _{Nd,sup}	Q _{Ed,V} [N]	Q _{Ed,O} [N]	Q _{Rd,V} [N]	Q _{Rd,V,Pt} [N]	Q _{Rd,V,Lt} [N]	Q _{Rd,O} [N]	M _{max,O} [N-m]	T.R.	Z _{c,pls} [m]	CS _v	CS _o
PALO12	00014	1.124.711	173.478	2.873.227	1.753.332	1.119.895	312.409	548721	Palo Lungo	2,53	2,55	1,80
PALO7	00013	429.736	20.986	2.873.227	1.753.332	1.119.895	312.409	548721	Palo Lungo	2,53	6,69	14,89
PALO1	00012	299.793	173.278	2.873.227	1.753.332	1.119.895	312.409	548721	Palo Lungo	2,53	9,58	1,80
PALO6	00011	432.454	243.578	2.873.227	1.753.332	1.119.895	312.409	548721	Palo Lungo	2,53	6,64	1,28
PALO11	00010	1.033.898	123.571	2.873.227	1.753.332	1.119.895	312.409	548721	Palo Lungo	2,53	2,78	2,53
PALO9	00009	778.056	66.582	2.873.227	1.753.332	1.119.895	312.409	548721	Palo Lungo	2,53	3,69	4,69
PALO5	00008	299.410	66.624	2.873.227	1.753.332	1.119.895	312.409	548721	Palo Lungo	2,53	9,60	4,69
PALO3	00007	299.489	123.785	2.873.227	1.753.332	1.119.895	312.409	548721	Palo Lungo	2,53	9,59	2,52
PALO2	00006	299.518	211.558	2.873.227	1.753.332	1.119.895	312.409	548721	Palo Lungo	2,53	9,59	1,48
PALO4	00005	299.486	235.458	2.873.227	1.753.332	1.119.895	312.409	548721	Palo Lungo	2,53	9,59	1,33
PALO8	00004	777.992	235.410	2.873.227	1.753.332	1.119.895	312.409	548721	Palo Lungo	2,53	3,69	1,33
PALO10	00003	1.030.320	211.565	2.873.227	1.753.332	1.119.895	312.409	548721	Palo Lungo	2,53	2,79	1,48

LEGENDA:

- Id_{PI/Pnt}** Identificativo del palo o del plinto su pali.
PI
Id_{Nd,sup} Identificativo del nodo all'estremo superiore del palo o della pilastriata cui il plinto è collegato.
Q_{Ed,V} Carico verticale di progetto.
Q_{Ed,O} Carico orizzontale di progetto.
Q_{Rd,V} Resistenza di progetto verticale.
Q_{Rd,V,Pt} Aliquota della resistenza di progetto verticale dovuto alla resistenza alla punta.
Q_{Rd,V,Lt} Aliquota della resistenza di progetto verticale dovuto alla resistenza laterale.
Q_{Rd,O} Resistenza di progetto orizzontale.
M_{max,O} Momento massimo lungo il palo per carichi orizzontali.
T.R. Modalità di rottura per carico limite orizzontale (Palo Corto, Palo Medio, Palo Lungo).
Z_{c,pls} Profondità della seconda cerniera plastica.
CS_v Coefficiente di sicurezza per azioni verticali ([NS] = Non Significativo per valori di CS >= 100; [VNR]= Verifica Non Richiesta).
CS_o Coefficiente di sicurezza per azioni orizzontali ([NS] = Non Significativo per valori di CS >= 100; [VNR]= Verifica Non Richiesta).



8 Verifiche strutturali

La verifica degli elementi allo S.L.U. avviene col seguente procedimento: si costruiscono le combinazioni non sismiche in base al D.M. 2018, ottenendo un insieme di sollecitazioni; si combinano tali sollecitazioni con quelle dovute all'azione del sisma secondo quanto indicato nel §2.5.3, relazione (2.5.5) del D.M. 2018; per sollecitazioni semplici (flessione retta, taglio, etc.) si individuano i valori minimo e massimo con cui progettare o verificare l'elemento considerato; per sollecitazioni composte (pressoflessione retta/deviata) vengono eseguite le verifiche per tutte le possibili combinazioni e solo a seguito di ciò si individua quella che ha originato il minimo coefficiente di sicurezza.

8.1 Verifica a pressoflessione retta del plinto

Si riporta di seguito, in forma tabellare, la verifica a pressoflessione retta allo S.L.U. del plinto di fondazione dell'aerogeneratore.

PLINTO - VERIFICHE PRESSOFLESSIONE RETTA ALLO SLU

Platee - Verifiche pressoflessione retta allo SLU																							
Dir	Pos	Nodo	N _{Ed}	M _{Ed}	A _s	A _{dr}	CS	Nodo	N _{Ed}	M _{Ed}	A _s	A _{dr}	CS	Nodo	N _{Ed}	M _{Ed}	A _s	A _{dr}	CS				
			[N]	[N-m]	[cm ² /cm]	[cm ² /cm]					[N]	[N-m]	[cm ² /cm]	[cm ² /cm]					[N]	[N-m]	[cm ² /cm]	[cm ² /cm]	
Fondazione																							
Platea 1																							
P	S	00001	0	0	4,557	4,557	-	00003	0	46.24	0,536	0,536	65,8	00004	44.92	485.6	0,536	0,536	6,21				
	I		860.9	8.905	4,557	4,557	2,83		0	0	0,536	0,536	-		0	0	0,536	0,536	-				
			04	378	41	41					17	17					17	17					
S	S		662.3	1.758	8,846	8,846	10,6		0	59.20	0,804	0,804	2,41		0	50.07	0,804	0,804	2,41				
	I		94	267	73	73	2			8	25	25				5	25	25					
			0	80.36	10,05	10,05	17,3		0	0	2,010	2,010	-		-	470.3	2,010	2,010	2,90				
				4	310	310	8				62	62			49.87	42	62	62					
P	S	00005	0	60.50	0,536	0,536	50,3	00006	0	34.47	0,536	0,536	88,3	00007	0	42.08	0,536	0,536	72,40				
	I		16.45	319.0	0,536	0,536	9,51		-	92.83	0,536	0,536	33,0		-7.147	102.0	0,536	0,536	29,90				
			8	71	17	17			32.05	4	17	17	7			66	17	17					
S	S		-6.990	374.7	0,804	0,804	2,19		25.54	171.6	0,804	0,804	2,32		-493	159.2	0,804	0,804	2,33				
	I		0	0	2,010	2,010	-		0	90	25	25	-		0	40	25	25					
					62	62				0	2,010	2,010				0	2,010	2,010					
											62	62					62	62					
P	S	00008	0	58.75	0,536	0,536	51,8	00009	-7.597	458.7	0,536	0,536	6,65	00010	0	39.59	0,536	0,536	76,95				
	I		13.97	325.0	0,536	0,536	9,34		0	81	17	17	-		0	3	17	17	-				
			4	99	17	17				0	0,536	0,536				0	0,536	0,536					
S	S		-	372.2	0,804	0,804	2,20		0	35.66	0,804	0,804	2,42		0	47.61	0,804	0,804	2,41				
	I		28.26	85	25	25			18.73	476.8	2,010	2,010	2,88		10.19	74.13	2,010	2,010	2,51				
			0	0	2,010	2,010	-		2	65	62	62			5	9	62	62					
					62	62											62	62					
P	S	00011	27.60	98.23	0,536	0,536	30,8	00012	-	212.1	0,536	0,536	14,4	00013	-2.254	60.83	0,536	0,536	50,11				
	I		9	4	17	17	1		18.40	41	17	17	2		9	9	17	17					
			0	0	0,536	0,536	-		0	0	0,536	0,536	-		0	0	0,536	0,536	-				
S	S		0	32.70	0,804	0,804	2,43		0	65.03	0,804	0,804	2,40		0	32.05	0,804	0,804	2,43				
	I		7.662	110.2	2,010	2,010	2,54		15.66	131.9	2,010	2,010	2,55		-4.404	86.56	2,010	2,010	2,52				
				33	62	62			0	71	62	62				8	62	62					
P	S	00014	0	30.25	0,536	0,536	NS	00015	0	0	0,536	0,536	-	00016	0	0	0,536	0,536	-				
	I		42.87	457.7	0,536	0,536	6,59		-674	514.4	0,536	0,536	5,92		53.34	580.8	0,536	0,536	5,18				
			0	82	17	17				64	17	17			0	70	17	17					
S	S		-	356.1	0,804	0,804	2,21		0	1.618	0,804	0,804	2,45		0	0	0,804	0,804	-				
			21.09	58	25	25					25	25					25	25					



Platee - Verifiche pressoflessione retta allo SLU

Dir	Pos	Nodo	N _{Ed} [N]	M _{Ed} [N-m]	A _s [cm ² /cm]	A _{dr} [cm ² /cm]	CS	Nodo	N _{Ed} [N]	M _{Ed} [N-m]	A _s [cm ² /cm]	A _{dr} [cm ² /cm]	CS	Nodo	N _{Ed} [N]	M _{Ed} [N-m]	A _s [cm ² /cm]	A _{dr} [cm ² /cm]	CS
	I		0	0	2,010 62	2,010 62	-		-2.751	1.149	2,010 62	2,010 62	2,45		2.448	43.06 0	2,010 62	2,010 62	2,48
P	S	00017	0	0	0,536 17	0,536 17	-	00018	0	0	0,536 17	0,536 17	-	00019	0	0	0,536 17	0,536 17	-
	I		38.95 3	494.1 86	0,536 17	0,536 17	6,11		6.205	208.3 49	0,536 17	0,536 17	14,6 0		24.80 1	149.0 11	0,536 17	0,536 17	20,33
S	S		0	0	0,804 25	0,804 25	-		0	0	0,804 25	0,804 25	-		0	0	0,804 25	0,804 25	-
	I		4.355	111.7 41	2,010 62	2,010 62	2,54		6.531	247.2 38	2,010 62	2,010 62	2,66		9.705	363.1 91	2,010 62	2,010 62	2,77
P	S	00020	16.95 9	9.172	0,536 17	0,536 17	NS	00021	5.986	146.8 63	0,536 17	0,536 17	20,7 2	00022	3.587	185.5 24	0,536 17	0,536 17	16,41
	I		0	24.92 4	0,536 17	0,536 17	NS		0	11.19 2	0,536 17	0,536 17	NS		0	4.630	0,536 17	0,536 17	NS
S	S		0	0	0,804 25	0,804 25	-		0	0	0,804 25	0,804 25	-		0	0	0,804 25	0,804 25	-
	I		18.84 3	509.8 01	2,010 62	2,010 62	2,92		15.87 9	562.0 98	2,010 62	2,010 62	2,98		675	538.1 46	2,010 62	2,010 62	2,96
P	S	00023	1.686	165.2 68	0,536 17	0,536 17	18,4 3	00024	205	97.94 2	0,536 17	0,536 17	31,1 1	00025	0	1.020	0,536 17	0,536 17	NS
	I		0	4.441	0,536 17	0,536 17	NS		0	2.189	0,536 17	0,536 17	NS		77	2.710	0,536 17	0,536 17	NS
S	S		0	0	0,804 25	0,804 25	-		0	0	0,804 25	0,804 25	-		0	0	0,804 25	0,804 25	-
	I		17.21 0	494.2 91	2,010 62	2,010 62	2,90		9.759	315.2 48	2,010 62	2,010 62	2,72		2.505	142.6 59	2,010 62	2,010 62	2,57
P	S	00026	0	0	0,536 17	0,536 17	-	00027	0	0	0,536 17	0,536 17	-	00028	0	0	0,536 17	0,536 17	-
	I		384	108.0 59	0,536 17	0,536 17	28,1 9		-1.439	210.8 96	0,536 17	0,536 17	14,4 5		-3.523	242.1 70	0,536 17	0,536 17	12,59
S	S		0	0	0,804 25	0,804 25	-		-	139.2 78	0,804 25	0,804 25	2,35		-1.179	274.0 74	0,804 25	0,804 25	2,25
	I		0	43.32 5	2,010 62	2,010 62	2,48		0	46.19 4	2,010 62	2,010 62	2,49		0	12.79 2	2,010 62	2,010 62	2,46
P	S	00029	0	0	0,536 17	0,536 17	-	00030	0	0	0,536 17	0,536 17	-	00031	0	0	0,536 17	0,536 17	-
	I		-4.689	266.2 59	0,536 17	0,536 17	11,4 6		-	192.8 66	0,536 17	0,536 17	15,8 7		-	108.9 97	0,536 17	0,536 17	28,14
S	S		-	310.2 87	0,804 25	0,804 25	2,23		-	331.0 65	0,804 25	0,804 25	2,22		-	264.6 25	0,804 25	0,804 25	2,26
	I		14.81 1	19.36 4	2,010 62	2,010 62	2,47		21.70 4	25.56 7	2,010 62	2,010 62	2,47		10.38 8	10.38 8	2,010 62	2,010 62	2,46
P	S	00032	0	0	0,536 17	0,536 17	-	00033	-	136.6 34	0,536 17	0,536 17	22,5 3	00034	-	204.8 83	0,536 17	0,536 17	15,07
	I		0	13.40 6	0,536 17	0,536 17	NS		43.03 2	45.35 3	0,536 17	0,536 17	67,1 8		55.87 5	40.04 9	0,536 17	0,536 17	76,08
S	S		-8.316	175.5 65	0,804 25	0,804 25	2,32		-6.524	95.83 6	0,804 25	0,804 25	2,38		-2.738	35.77 0	0,804 25	0,804 25	2,42
	I		0	5.374	2,010 62	2,010 62	2,45		0	3.947	2,010 62	2,010 62	2,45		0	2.247	2,010 62	2,010 62	2,45
P	S	00035	7.934	195.5 64	0,536 17	0,536 17	15,5 5	00036	-	206.4 42	0,536 17	0,536 17	14,8 9	00037	-	128.3 25	0,536 17	0,536 17	24,02
	I		0	9.362	0,536 17	0,536 17	NS		37.82 5	39.70 9	0,536 17	0,536 17	76,7 3		49.89 1	44.59 4	0,536 17	0,536 17	68,32
S	S		4.098	11.55 2	0,804 25	0,804 25	2,44		-1.398	36.09 7	0,804 25	0,804 25	2,42		-5.596	99.60 6	0,804 25	0,804 25	2,38
	I		0	0	2,010 62	2,010 62	-		0	2.524	2,010 62	2,010 62	2,45		0	4.582	2,010 62	2,010 62	2,45
P	S	00038	-4.971	1.545	0,536 17	0,536 17	NS	00039	0	0	0,536 17	0,536 17	-	00040	0	0	0,536 17	0,536 17	-
	I		0	14.81 3	0,536 17	0,536 17	NS		-	89.54 4	0,536 17	0,536 17	34,1 4		-	194.0 53	0,536 17	0,536 17	15,77
S	S		-7.154	161.2 16	0,804 25	0,804 25	2,33		-6.313	265.9 60	0,804 25	0,804 25	2,26		-	335.3 14	0,804 25	0,804 25	2,22
	I		0	3.712	2,010 62	2,010 62	2,45		0	10.44 5	2,010 62	2,010 62	2,46		0	25.79 4	2,010 62	2,010 62	2,47
P	S	00041	0	0	0,536	0,536	-	00042	0	0	0,536	0,536	-	00043	0	0	0,536	0,536	-



Platee - Verifiche pressoflessione retta allo SLU

Dir	Pos	Nodo	N _{Ed} [N]	M _{Ed} [N-m]	A _s [cm ² /cm]	A _{dr} [cm ² /cm]	CS	Nodo	N _{Ed} [N]	M _{Ed} [N-m]	A _s [cm ² /cm]	A _{dr} [cm ² /cm]	CS	Nodo	N _{Ed} [N]	M _{Ed} [N-m]	A _s [cm ² /cm]	A _{dr} [cm ² /cm]	CS
	I		-4.071	260.2 63	0,536 17	0,536 17	11,7 2		-2.628	256.2 80	0,536 17	0,536 17	11,9 0		-1.604	208.5 14	0,536 17	0,536 17	14,62
S	S		-	23.05 8	0,804 25	0,804 25	2,23		-2.705	279.4 15	0,804 25	0,804 25	2,25		-6.708	132.6 08	0,804 25	0,804 25	2,35
	I		0	20.28 3	2,010 62	2,010 62	2,47		0	14.06 6	2,010 62	2,010 62	2,46		0	45.35 6	2,010 62	2,010 62	2,49
P	S	00044	0	0	0,536 17	0,536 17	-	00045	0	965	0,536 17	0,536 17	NS	00046	1.510	104.2 01	0,536 17	0,536 17	29,23
	I		-1.198	115.1 17	0,536 17	0,536 17	26,4 7		0	0	0,536 17	0,536 17	-		0	1.569	0,536 17	0,536 17	NS
S	S		0	0	0,804 25	0,804 25	-		0	0	0,804 25	0,804 25	-		0	0	0,804 25	0,804 25	-
	I		0	41.53 7	2,010 62	2,010 62	2,48		1.610	151.6 35	2,010 62	2,010 62	2,57		20.06 4	313.2 20	2,010 62	2,010 62	2,71
P	S	00047	1.175	165.0 37	0,536 17	0,536 17	18,4 6	00048	2.273	183.0 46	0,536 17	0,536 17	16,6 4	00049	10.28 6	150.5 13	0,536 17	0,536 17	20,19
	I		0	4.007	0,536 17	0,536 17	NS		0	4.927	0,536 17	0,536 17	NS		0	10.21 4	0,536 17	0,536 17	NS
S	S		0	0	0,804 25	0,804 25	-		0	0	0,804 25	0,804 25	-		0	0	0,804 25	0,804 25	-
	I		4.715	488.7 39	2,010 62	2,010 62	2,90		13.29 6	530.8 91	2,010 62	2,010 62	2,94		27.78 9	543.2 75	2,010 62	2,010 62	2,95
P	S	00050	0	0	0,536 17	0,536 17	-	00051	0	0	0,536 17	0,536 17	-	00052	0	0	0,536 17	0,536 17	-
	I		0	25.17 1	0,536 17	0,536 17	NS		21.67 1	118.0 37	0,536 17	0,536 17	25,6 8		5.920	210.6 93	0,536 17	0,536 17	14,44
S	S		0	0	0,804 25	0,804 25	-		0	0	0,804 25	0,804 25	-		0	0	0,804 25	0,804 25	-
	I		18.76 3	508.0 40	2,010 62	2,010 62	2,91		11.96 2	377.4 78	2,010 62	2,010 62	2,78		8.682	248.5 21	2,010 62	2,010 62	2,66
P	S	00053	0	0	0,536 17	0,536 17	-	00054	0	0	0,536 17	0,536 17	-	00055	0	0	0,536 17	0,536 17	-
	I		54.27 5	474.2 12	0,536 17	0,536 17	6,34		41.22 6	573.7 17	0,536 17	0,536 17	5,26		44.15 3	601.6 69	0,536 17	0,536 17	5,01
S	S		0	0	0,804 25	0,804 25	-		0	0	0,804 25	0,804 25	-		0	0	0,804 25	0,804 25	-
	I		6.108	129.5 08	2,010 62	2,010 62	2,55		1.032	44.00 9	2,010 62	2,010 62	2,48		1.101	57.51 5	2,010 62	2,010 62	2,50
P	S	00056	0	0	0,536 17	0,536 17	-	00057	0	0	0,536 17	0,536 17	-	00058	0	0	0,536 17	0,536 17	-
	I		54.74 8	628.3 28	0,536 17	0,536 17	4,79		56.04 2	560.9 98	0,536 17	0,536 17	5,36		58.10 2	473.0 50	0,536 17	0,536 17	6,35
S	S		0	0	0,804 25	0,804 25	-		0	0	0,804 25	0,804 25	-		0	0	0,804 25	0,804 25	-
	I		4.245	44.17 5	2,010 62	2,010 62	2,48		2.826	98.72 2	2,010 62	2,010 62	2,53		6.059	147.8 54	2,010 62	2,010 62	2,57
P	S	00059	0	0	0,536 17	0,536 17	-	00060	0	0	0,536 17	0,536 17	-	00061	0	0	0,536 17	0,536 17	-
	I		52.51 9	392.6 17	0,536 17	0,536 17	7,66		32.00 5	325.6 59	0,536 17	0,536 17	9,28		4.432	214.3 98	0,536 17	0,536 17	14,20
S	S		0	0	0,804 25	0,804 25	-		0	0	0,804 25	0,804 25	-		0	0	0,804 25	0,804 25	-
	I		9.994	198.8 18	2,010 62	2,010 62	2,61		7.859	197.1 91	2,010 62	2,010 62	2,61		5.432	282.7 56	2,010 62	2,010 62	2,69
P	S	00062	0	0	0,536 17	0,536 17	-	00063	0	0	0,536 17	0,536 17	-	00064	0	0	0,536 17	0,536 17	-
	I		6.078	198.0 24	0,536 17	0,536 17	15,3 6		17.64 1	197.6 70	0,536 17	0,536 17	15,3 5		16.79 3	105.4 26	0,536 17	0,536 17	28,78
S	S		0	0	0,804 25	0,804 25	-		0	0	0,804 25	0,804 25	-		0	0	0,804 25	0,804 25	-
	I		-2.053	318.1 65	2,010 62	2,010 62	2,73		6.421	300.9 91	2,010 62	2,010 62	2,71		7.909	448.7 96	2,010 62	2,010 62	2,85
P	S	00065	0	0	0,536 17	0,536 17	-	00066	0	0	0,536 17	0,536 17	-	00067	22.81 2	4.603	0,536 17	0,536 17	NS
	I		24.47 7	97.30 3	0,536 17	0,536 17	31,1 3		21.72 4	45.30 7	0,536 17	0,536 17	66,9 0		0	25.86 8	0,536 17	0,536 17	NS
S	S		0	0	0,804 25	0,804 25	-		0	0	0,804 25	0,804 25	-		0	0	0,804 25	0,804 25	-
	I		17.08 5	480.2 44	2,010 62	2,010 62	2,89		12.06 7	503.5 78	2,010 62	2,010 62	2,91		24.34 0	563.2 86	2,010 62	2,010 62	2,97
P	S	00068	24.23 4	69.06 1	0,536 17	0,536 17	43,8 6	00069	19.51 4	79.16 8	0,536 17	0,536 17	38,3 1	00070	-3.100	192.7 48	0,536 17	0,536 17	15,82
	I		0	23.38	0,536	0,536	NS		0	20.93	0,536	0,536	NS		0	4.577	0,536	0,536	NS



Platee - Verifiche pressoflessione retta allo SLU

Dir	Pos	Nodo	N _{Ed} [N]	M _{Ed} [N-m]	A _s [cm ² /cm]	A _{dr} [cm ² /cm]	CS	Nodo	N _{Ed} [N]	M _{Ed} [N-m]	A _s [cm ² /cm]	A _{dr} [cm ² /cm]	CS	Nodo	N _{Ed} [N]	M _{Ed} [N-m]	A _s [cm ² /cm]	A _{dr} [cm ² /cm]	CS
			8	17	17	17			8	17	17	17					17	17	
S	S		0	0	0,804 25	0,804 25	-		0	0	0,804 25	0,804 25	-		0	0	0,804 25	0,804 25	-
	I		30.29 8	593.2 37	2,010 62	2,010 62	3,01		31.50 1	544.6 32	2,010 62	2,010 62	2,95		22.64 5	570.6 77	2,010 62	2,010 62	2,98
P	S	00071	-4.498	180.4 11	0,536 17	0,536 17	16,9 1	00072	584	174.1 20	0,536 17	0,536 17	17,5 0	00073	-828	177.9 78	0,536 17	0,536 17	17,12
	I		0	3.843	0,536 17	0,536 17	NS		0	2.883	0,536 17	0,536 17	NS		0	5.738	0,536 17	0,536 17	NS
S	S		0	0	0,804 25	0,804 25	-		0	0	0,804 25	0,804 25	-		0	0	0,804 25	0,804 25	-
	I		9.988	550.6 21	2,010 62	2,010 62	2,97		-1.528	548.4 88	2,010 62	2,010 62	2,97		4.509	573.0 16	2,010 62	2,010 62	2,99
P	S	00074	1.175	195.5 43	0,536 17	0,536 17	15,5 8	00075	-382	172.8 01	0,536 17	0,536 17	17,6 3	00076	-1.135	97.68 7	0,536 17	0,536 17	31,20
	I		0	4.646	0,536 17	0,536 17	NS		0	5.237	0,536 17	0,536 17	NS		0	3.714	0,536 17	0,536 17	NS
S	S		0	0	0,804 25	0,804 25	-		0	0	0,804 25	0,804 25	-		0	0	0,804 25	0,804 25	-
	I		-4.860	558.8 06	2,010 62	2,010 62	2,98		1.564	508.3 47	2,010 62	2,010 62	2,92		11.51 5	475.8 10	2,010 62	2,010 62	2,88
P	S	00077	2.567	168.8 77	0,536 17	0,536 17	18,0 3	00078	1.927	145.6 17	0,536 17	0,536 17	20,9 1	00079	-3.636	78.97 1	0,536 17	0,536 17	38,61
	I		0	4.433	0,536 17	0,536 17	NS		0	2.855	0,536 17	0,536 17	NS		0	0	0,536 17	0,536 17	-
S	S		0	0	0,804 25	0,804 25	-		0	0	0,804 25	0,804 25	-		0	0	0,804 25	0,804 25	-
	I		10.60 6	470.8 23	2,010 62	2,010 62	2,88		22.91 8	396.8 35	2,010 62	2,010 62	2,80		24.48 9	302.8 98	2,010 62	2,010 62	2,70
P	S	00080	5.274	44.87 6	0,536 17	0,536 17	67,8 1	00081	-4.421	49.88 0	0,536 17	0,536 17	61,1 5	00082	0	0	0,536 17	0,536 17	-
	I		0	3.925	0,536 17	0,536 17	NS		0	0	0,536 17	0,536 17	-		-897	38.68 7	0,536 17	0,536 17	78,77
S	S		0	0	0,804 25	0,804 25	-		0	0	0,804 25	0,804 25	-		0	0	0,804 25	0,804 25	-
	I		3.393	221.8 30	2,010 62	2,010 62	2,63		3.970	203.6 26	2,010 62	2,010 62	2,62		-4.591	153.5 83	2,010 62	2,010 62	2,58
P	S	00083	0	0	0,536 17	0,536 17	-	00084	0	0	0,536 17	0,536 17	-	00085	0	0	0,536 17	0,536 17	-
	I		5.844	51.19 0	0,536 17	0,536 17	59,4 4		2.330	91.13 5	0,536 17	0,536 17	33,4 1		-1.077	163.7 39	0,536 17	0,536 17	18,61
S	S		0	0	0,804 25	0,804 25	-		0	0	0,804 25	0,804 25	-		-	19.73 1	0,804 25	0,804 25	2,43
	I		-	131.9 15	2,010 62	2,010 62	2,56		25.03 8	65.68 6	2,010 62	2,010 62	2,51		0	50.58 2	2,010 62	2,010 62	2,49
P	S	00086	0	0	0,536 17	0,536 17	-	00087	0	0	0,536 17	0,536 17	-	00088	0	0	0,536 17	0,536 17	-
	I		-1.109	156.9 36	0,536 17	0,536 17	19,4 2		-2.592	180.3 76	0,536 17	0,536 17	16,9 0		-2.892	243.3 73	0,536 17	0,536 17	12,53
S	S		-	49.50 8	0,804 25	0,804 25	2,42		11.37 6	98.73 4	0,804 25	0,804 25	2,38		67	174.9 57	0,804 25	0,804 25	2,32
	I		0	52.48 8	2,010 62	2,010 62	2,49		0	53.13 9	2,010 62	2,010 62	2,49		0	44.27 5	2,010 62	2,010 62	2,49
P	S	00089	0	0	0,536 17	0,536 17	-	00090	0	0	0,536 17	0,536 17	-	00091	0	0	0,536 17	0,536 17	-
	I		-4.931	246.9 81	0,536 17	0,536 17	12,3 5		-4.013	258.2 14	0,536 17	0,536 17	11,8 1		2.784	274.6 86	0,536 17	0,536 17	11,08
S	S		-	237.0 54	0,804 25	0,804 25	2,28		-476	268.3 37	0,804 25	0,804 25	2,26		-2.965	288.5 18	0,804 25	0,804 25	2,25
	I		0	35.17 4	2,010 62	2,010 62	2,48		0	26.36 9	2,010 62	2,010 62	2,47		0	5.285	2,010 62	2,010 62	2,45
P	S	00092	0	0	0,536 17	0,536 17	-	00093	0	0	0,536 17	0,536 17	-	00094	0	0	0,536 17	0,536 17	-
	I		12.57 3	279.6 72	0,536 17	0,536 17	10,8 6		2.818	286.8 67	0,536 17	0,536 17	10,6 1		-	14.22 9	0,536 17	0,536 17	12,06
S	S		-	295.2 94	0,804 25	0,804 25	2,24		29.80 9	305.4 44	0,804 25	0,804 25	2,24		28.88 5	318.6 15	0,804 25	0,804 25	2,23
	I		0	9.487	2,010 62	2,010 62	2,46		0	17.63 7	2,010 62	2,010 62	2,46		0	25.56 3	2,010 62	2,010 62	2,47
P	S	00095	0	0	0,536	0,536	-	00096	0	0	0,536	0,536	-	00097	0	0	0,536	0,536	-



Platee - Verifiche pressoflessione retta allo SLU

Dir	Pos	Nodo	N _{Ed} [N]	M _{Ed} [N-m]	A _s [cm ² /cm]	A _{dr} [cm ² /cm]	CS	Nodo	N _{Ed} [N]	M _{Ed} [N-m]	A _s [cm ² /cm]	A _{dr} [cm ² /cm]	CS	Nodo	N _{Ed} [N]	M _{Ed} [N-m]	A _s [cm ² /cm]	A _{dr} [cm ² /cm]	CS
	I		-22.24 6	226.7 23	0,536 17	0,536 17	13,5 1		-19.49 0	206.7 94	0,536 17	0,536 17	14,8 0		-23.15 2	164.4 68	0,536 17	0,536 17	18,63
S	S		-29.10 1	342.2 96	0,804 25	0,804 25	2,22		-20.97 0	343.3 66	0,804 25	0,804 25	2,21		-14.30 2	303.2 98	0,804 25	0,804 25	2,24
	I		0	28.83 6	2,010 62	2,010 62	2,47		0	30.19 7	2,010 62	2,010 62	2,47		0	25.76 7	2,010 62	2,010 62	2,47
P	S	00098	0	0	0,536 17	0,536 17	-	00099	0	0	0,536 17	0,536 17	-	00100	0	0	0,536 17	0,536 17	-
	I		-17.77 2	157.1 78	0,536 17	0,536 17	19,4 7		-17.05 2	112.2 98	0,536 17	0,536 17	27,2 4		-8.055	53.87 7	0,536 17	0,536 17	56,66
S	S		-5.234	315.0 97	0,804 25	0,804 25	2,23		-7.977	302.7 17	0,804 25	0,804 25	2,24		-1.966	223.3 28	0,804 25	0,804 25	2,29
	I		0	24.27 9	2,010 62	2,010 62	2,47		0	17.30 9	2,010 62	2,010 62	2,46		0	5.116	2,010 62	2,010 62	2,45
P	S	00101	0	0	0,536 17	0,536 17	-	00102	0	0	0,536 17	0,536 17	-	00103	-25.60 4	43.22 6	0,536 17	0,536 17	70,91
	I		3.173	41.90 0	0,536 17	0,536 17	72,6 6		3.067	34.65 4	0,536 17	0,536 17	87,8 6		0	24.49 1	0,536 17	0,536 17	NS
S	S		-1.350	208.1 10	0,804 25	0,804 25	2,30		-6.953	196.6 51	0,804 25	0,804 25	2,31		-6.354	145.3 69	0,804 25	0,804 25	2,34
	I		0	4.021	2,010 62	2,010 62	2,45		0	3.088	2,010 62	2,010 62	2,45		0	5.100	2,010 62	2,010 62	2,45
P	S	00104	-48.72 7	81.66 6	0,536 17	0,536 17	37,7 4	00105	-51.29 3	124.9 71	0,536 17	0,536 17	24,6 8	00106	-50.40 8	209.7 77	0,536 17	0,536 17	14,70
	I		0	36.17 3	0,536 17	0,536 17	84,2 3		0	44.28 2	0,536 17	0,536 17	68,8 0		0	53.44 2	0,536 17	0,536 17	57,01
S	S		-10.98 0	128.0 85	0,804 25	0,804 25	2,36		-7.160	101.9 96	0,804 25	0,804 25	2,38		-3.839	41.68 5	0,804 25	0,804 25	2,42
	I		0	6.506	2,010 62	2,010 62	2,46		0	4.820	2,010 62	2,010 62	2,45		0	2.850	2,010 62	2,010 62	2,45
P	S	00107	-51.56 0	201.0 58	0,536 17	0,536 17	15,3 4	00108	-42.81 1	245.1 23	0,536 17	0,536 17	12,5 6	00109	-34.21 8	255.3 29	0,536 17	0,536 17	12,03
	I		0	52.32 2	0,536 17	0,536 17	58,2 3		0	50.00 0	0,536 17	0,536 17	60,9 4		0	38.47 3	0,536 17	0,536 17	79,19
S	S		-2.533	68.02 3	0,804 25	0,804 25	2,40		-3.852	23.43 3	0,804 25	0,804 25	2,43		0	1.688	0,804 25	0,804 25	2,45
	I		0	4.233	2,010 62	2,010 62	2,45		0	2.044	2,010 62	2,010 62	2,45		-1.631	12.35 9	2,010 62	2,010 62	2,46
P	S	00110	-30.84 0	232.6 83	0,536 17	0,536 17	13,1 9	00111	-9.624	241.6 36	0,536 17	0,536 17	12,6 4	00112	-4.618	229.6 24	0,536 17	0,536 17	13,28
	I		0	25.30 1	0,536 17	0,536 17	NS		0	17.09 4	0,536 17	0,536 17	NS		0	13.18 0	0,536 17	0,536 17	NS
S	S		-1.748	19.76 1	0,804 25	0,804 25	2,44		0	1.649	0,804 25	0,804 25	2,45		0	0	0,804 25	0,804 25	-
	I		0	2.875	2,010 62	2,010 62	2,45		3.751	23.57 0	2,010 62	2,010 62	2,47		4.525	16.49 8	2,010 62	2,010 62	2,46
P	S	00113	-39.13 1	229.4 67	0,536 17	0,536 17	13,4 0	00114	-60.01 4	259.4 42	0,536 17	0,536 17	11,9 1	00115	-58.27 2	239.7 39	0,536 17	0,536 17	12,88
	I		0	24.72 0	0,536 17	0,536 17	NS		0	39.86 8	0,536 17	0,536 17	76,4 2		0	49.85 9	0,536 17	0,536 17	61,11
S	S		5.066	14.27 7	0,804 25	0,804 25	2,44		0	1.302	0,804 25	0,804 25	2,45		-4.218	24.50 9	0,804 25	0,804 25	2,43
	I		0	0	2,010 62	2,010 62	-		-533	15.95 8	2,010 62	2,010 62	2,46		0	2.873	2,010 62	2,010 62	2,45
P	S	00116	-58.93 8	209.6 35	0,536 17	0,536 17	14,7 4	00117	-50.18 3	183.5 55	0,536 17	0,536 17	16,8 0	00118	-41.49 1	112.6 07	0,536 17	0,536 17	27,32
	I		0	52.66 0	0,536 17	0,536 17	57,8 6		0	53.05 7	0,536 17	0,536 17	57,4 2		0	44.23 3	0,536 17	0,536 17	68,88
S	S		-7.104	60.43 9	0,804 25	0,804 25	2,41		-4.471	55.97 1	0,804 25	0,804 25	2,41		-7.831	109.9 05	0,804 25	0,804 25	2,37
	I		0	3.319	2,010 62	2,010 62	2,45		0	4.519	2,010 62	2,010 62	2,45		0	5.756	2,010 62	2,010 62	2,45
P	S	00119	-34.52	84.17 6	0,536 17	0,536 17	36,4 9	00120	-28.24	35.75 3	0,536 17	0,536 17	85,7 9	00121	0	0	0,536 17	0,536 17	-



Platee - Verifiche pressoflessione retta allo SLU

Dir	Pos	Nodo	N _{Ed} [N]	M _{Ed} [N-m]	A _s [cm ² /cm]	A _{dr} [cm ² /cm]	CS	Nodo	N _{Ed} [N]	M _{Ed} [N-m]	A _s [cm ² /cm]	A _{dr} [cm ² /cm]	CS	Nodo	N _{Ed} [N]	M _{Ed} [N-m]	A _s [cm ² /cm]	A _{dr} [cm ² /cm]	CS
	I		6 0	37.69 0	0,536 17	0,536 17	80,8 4		5 0	25.40 3	0,536 17	0,536 17	NS		-385	33.87 1	0,536 17	0,536 17	89,96
S	S		-9.091	107.2 67	0,804 25	0,804 25	2,37		- 10.72 2	139.5 76	0,804 25	0,804 25	2,35		-6.014	193.1 60	0,804 25	0,804 25	2,31
	I		0	3.714	2,010 62	2,010 62	2,45		0	5.521	2,010 62	2,010 62	2,45		0	5.289	2,010 62	2,010 62	2,45
P	S	00122	0	0	0,536 17	0,536 17	-	00123	0	0	0,536 17	0,536 17	-	00124	0	0	0,536 17	0,536 17	-
	I		-3.680	58.34 5	0,536 17	0,536 17	52,2 7		- 23.22 4	61.83 9	0,536 17	0,536 17	49,5 4		- 29.53 9	118.6 55	0,536 17	0,536 17	25,86
S	S		2.587	237.7 90	0,804 25	0,804 25	2,28		-3.942	220.6 40	0,804 25	0,804 25	2,29		- 20.08 4	291.3 54	0,804 25	0,804 25	2,25
	I		0	3.244	2,010 62	2,010 62	2,45		0	7.098	2,010 62	2,010 62	2,46		0	19.92 9	2,010 62	2,010 62	2,47
P	S	00125	0	0	0,536 17	0,536 17	-	00126	0	0	0,536 17	0,536 17	-	00127	0	0	0,536 17	0,536 17	-
	I		- 29.58 8	140.9 24	0,536 17	0,536 17	21,7 7		- 23.94 5	173.1 80	0,536 17	0,536 17	17,6 9		- 16.17 8	218.2 24	0,536 17	0,536 17	14,02
S	S		- 23.14 1	313.0 50	0,804 25	0,804 25	2,23		- 21.39 4	308.8 62	0,804 25	0,804 25	2,24		- 23.36 9	340.7 18	0,804 25	0,804 25	2,22
	I		0	22.82 8	2,010 62	2,010 62	2,47		0	26.07 4	2,010 62	2,010 62	2,47		0	29.95 1	2,010 62	2,010 62	2,47
P	S	00128	0	0	0,536 17	0,536 17	-	00129	0	0	0,536 17	0,536 17	-	00130	0	0	0,536 17	0,536 17	-
	I		- 14.56 3	231.0 56	0,536 17	0,536 17	13,2 3		-9.542	257.9 31	0,536 17	0,536 17	11,8 4		-7.870	236.9 49	0,536 17	0,536 17	12,88
S	S		- 22.73 0	328.8 35	0,804 25	0,804 25	2,22		- 21.34 4	332.8 58	0,804 25	0,804 25	2,22		- 12.34 6	311.9 17	0,804 25	0,804 25	2,23
	I		0	28.91 1	2,010 62	2,010 62	2,47		0	25.74 5	2,010 62	2,010 62	2,47		0	17.28 7	2,010 62	2,010 62	2,46
P	S	00131	0	0	0,536 17	0,536 17	-	00132	0	0	0,536 17	0,536 17	-	00133	0	0	0,536 17	0,536 17	-
	I		7.121	277.3 58	0,536 17	0,536 17	10,9 7		1.796	263.8 64	0,536 17	0,536 17	11,5 4		1.381	256.8 38	0,536 17	0,536 17	11,86
S	S		-3.589	298.0 84	0,804 25	0,804 25	2,24		997	271.8 29	0,804 25	0,804 25	2,26		-8.893	268.0 10	0,804 25	0,804 25	2,26
	I		0	8.119	2,010 62	2,010 62	2,46		0	6.542	2,010 62	2,010 62	2,46		0	25.11 4	2,010 62	2,010 62	2,47
P	S	00134	0	0	0,536 17	0,536 17	-	00135	0	0	0,536 17	0,536 17	-	00136	0	0	0,536 17	0,536 17	-
	I		-3.522	230.5 65	0,536 17	0,536 17	13,2 3		-1.987	250.5 98	0,536 17	0,536 17	12,1 6		-533	188.1 89	0,536 17	0,536 17	16,19
S	S		- 16.90 4	222.6 00	0,804 25	0,804 25	2,29		- 17.17 9	199.0 89	0,804 25	0,804 25	2,31		- 14.48 0	112.1 79	0,804 25	0,804 25	2,37
	I		0	37.26 1	2,010 62	2,010 62	2,48		0	44.04 7	2,010 62	2,010 62	2,49		0	53.04 7	2,010 62	2,010 62	2,49
P	S	00137	0	0	0,536 17	0,536 17	-	00138	0	0	0,536 17	0,536 17	-	00139	0	0	0,536 17	0,536 17	-
	I		-810	153.5 60	0,536 17	0,536 17	19,8 4		962	182.7 53	0,536 17	0,536 17	16,6 7		-163	91.73 4	0,536 17	0,536 17	33,21
S	S		-9.602	48.00 9	0,804 25	0,804 25	2,42		-8.512	27.26 4	0,804 25	0,804 25	2,43		0	0	0,804 25	0,804 25	-
	I		0	53.21 8	2,010 62	2,010 62	2,49		0	50.16 6	2,010 62	2,010 62	2,49		-4.077	60.60 4	2,010 62	2,010 62	2,50
P	S	00140	0	1.650	0,536 17	0,536 17	NS	00141	0	0	0,536 17	0,536 17	-	00142	441	44.42 4	0,536 17	0,536 17	68,58
	I		220	50.04 6	0,536 17	0,536 17	60,8 8		-384	32.70 5	0,536 17	0,536 17	93,1 7		0	214	0,536 17	0,536 17	NS
S	S		0	0	0,804 25	0,804 25	-		0	0	0,804 25	0,804 25	-		0	0	0,804 25	0,804 25	-
	I		905	123.9 02	2,010 62	2,010 62	2,55		1.011	145.4 22	2,010 62	2,010 62	2,57		5.020	201.4 83	2,010 62	2,010 62	2,62
P	S	00143	390	40.02 1	0,536 17	0,536 17	76,1 2	00144	270	92.75 8	0,536 17	0,536 17	32,8 4	00145	1.974	138.6 63	0,536 17	0,536 17	21,96
	I		0	4.798	0,536 17	0,536 17	NS		0	0	0,536 17	0,536 17	-		0	3.074	0,536 17	0,536 17	NS



Platee - Verifiche pressoflessione retta allo SLU

Dir	Pos	Nodo	N _{Ed} [N]	M _{Ed} [N-m]	A _s [cm ² /cm]	A _{dr} [cm ² /cm]	CS	Nodo	N _{Ed} [N]	M _{Ed} [N-m]	A _s [cm ² /cm]	A _{dr} [cm ² /cm]	CS	Nodo	N _{Ed} [N]	M _{Ed} [N-m]	A _s [cm ² /cm]	A _{dr} [cm ² /cm]	CS
S	S		0	0	0,804 25	0,804 25	-		0	0	0,804 25	0,804 25	-		0	0	0,804 25	0,804 25	-
	I		6.793	211.3 47	2,010 62	2,010 62	2,62		8.223	313.4 89	2,010 62	2,010 62	2,72		11.92 6	395.6 55	2,010 62	2,010 62	2,80
P	S	00146	-79	156.2 83	0,536 17	0,536 17	19,5 0	00147	1.143	134.1 12	0,536 17	0,536 17	22,7 1	00148	2.454	169.4 66	0,536 17	0,536 17	17,97
	I		0	3.281	0,536 17	0,536 17	NS		0	3.632	0,536 17	0,536 17	NS		0	5.167	0,536 17	0,536 17	NS
S	S		0	0	0,804 25	0,804 25	-		0	0	0,804 25	0,804 25	-		0	0	0,804 25	0,804 25	-
	I		15.69 7	456.9 26	2,010 62	2,010 62	2,86		16.40 1	489.9 47	2,010 62	2,010 62	2,90		18.08 3	500.2 20	2,010 62	2,010 62	2,91
P	S	00149	4.528	208.7 37	0,536 17	0,536 17	14,5 8	00150	3.395	170.0 26	0,536 17	0,536 17	17,9 1	00151	1.717	170.2 46	0,536 17	0,536 17	17,89
	I		0	4.634	0,536 17	0,536 17	NS		0	6.389	0,536 17	0,536 17	NS		0	3.045	0,536 17	0,536 17	NS
S	S		0	0	0,804 25	0,804 25	-		0	0	0,804 25	0,804 25	-		0	0	0,804 25	0,804 25	-
	I		19.63 1	566.2 98	2,010 62	2,010 62	2,98		10.09 1	551.1 87	2,010 62	2,010 62	2,97		560	540.1 30	2,010 62	2,010 62	2,96
P	S	00152	-3.833	187.9 78	0,536 17	0,536 17	16,2 2	00153	625	176.4 71	0,536 17	0,536 17	17,2 6	00154	8.314	77.34 3	0,536 17	0,536 17	39,32
	I		0	3.785	0,536 17	0,536 17	NS		0	6.825	0,536 17	0,536 17	NS		0	20.69 4	0,536 17	0,536 17	NS
S	S		0	0	0,804 25	0,804 25	-		0	0	0,804 25	0,804 25	-		0	0	0,804 25	0,804 25	-
	I		5.398	561.7 28	2,010 62	2,010 62	2,98		12.36 5	558.2 28	2,010 62	2,010 62	2,97		16.55 8	532.8 16	2,010 62	2,010 62	2,94
P	S	00155	13.29 9	85.35 5	0,536 17	0,536 17	35,5 8	00156	0	0	0,536 17	0,536 17	-	00157	0	0	0,536 17	0,536 17	-
	I		0	22.46 0	0,536 17	0,536 17	NS		0	26.04 8	0,536 17	0,536 17	NS		19.01 2	58.27 9	0,536 17	0,536 17	52,04
S	S		0	0	0,804 25	0,804 25	-		0	0	0,804 25	0,804 25	-		0	0	0,804 25	0,804 25	-
	I		20.15 4	596.3 75	2,010 62	2,010 62	3,02		20.48 5	572.0 86	2,010 62	2,010 62	2,99		18.81 3	506.3 83	2,010 62	2,010 62	2,91
P	S	00158	0	0	0,536 17	0,536 17	-	00159	0	0	0,536 17	0,536 17	-	00160	0	0	0,536 17	0,536 17	-
	I		24.78 6	89.13 4	0,536 17	0,536 17	33,9 8		24.65 9	96.53 6	0,536 17	0,536 17	31,3 8		10.01 3	182.0 10	0,536 17	0,536 17	16,70
S	S		0	0	0,804 25	0,804 25	-		0	0	0,804 25	0,804 25	-		0	0	0,804 25	0,804 25	-
	I		19.29 0	470.2 36	2,010 62	2,010 62	2,87		14.85 2	446.0 87	2,010 62	2,010 62	2,85		1.638	334.3 75	2,010 62	2,010 62	2,74
P	S	00161	0	0	0,536 17	0,536 17	-	00162	0	0	0,536 17	0,536 17	-	00163	0	0	0,536 17	0,536 17	-
	I		18.05 0	214.3 74	0,536 17	0,536 17	14,1 5		-332	226.6 34	0,536 17	0,536 17	13,4 4		15.69 5	345.2 44	0,536 17	0,536 17	8,79
S	S		0	0	0,804 25	0,804 25	-		0	0	0,804 25	0,804 25	-		0	0	0,804 25	0,804 25	-
	I		-5.229	314.8 05	2,010 62	2,010 62	2,72		-307	282.4 13	2,010 62	2,010 62	2,69		6.547	182.1 30	2,010 62	2,010 62	2,60
P	S	00164	0	0	0,536 17	0,536 17	-	00165	0	0	0,536 17	0,536 17	-	00166	0	0	0,536 17	0,536 17	-
	I		32.78 7	395.7 40	0,536 17	0,536 17	7,64		35.14 2	488.2 08	0,536 17	0,536 17	6,19		44.97 6	577.7 21	0,536 17	0,536 17	5,22
S	S		0	0	0,804 25	0,804 25	-		0	0	0,804 25	0,804 25	-		0	0	0,804 25	0,804 25	-
	I		9.231	189.1 37	2,010 62	2,010 62	2,60		9.917	186.8 87	2,010 62	2,010 62	2,60		5.622	80.03 7	2,010 62	2,010 62	2,51
P	S	00167	0	0	0,536 17	0,536 17	-	00168	0	0	0,536 17	0,536 17	-	00169	0	0	0,536 17	0,536 17	-
	I		52.54 9	637.4 01	0,536 17	0,536 17	4,72		54.34 0	601.6 22	0,536 17	0,536 17	5,00		50.61 9	610.1 65	0,536 17	0,536 17	4,93
S	S		0	0	0,804 25	0,804 25	-		0	0	0,804 25	0,804 25	-		0	87	0,804 25	0,804 25	-
	I		4.399	33.52 5	2,010 62	2,010 62	2,48		2.139	64.66 8	2,010 62	2,010 62	2,50		-5.429	153	2,010 62	2,010 62	2,45
P	S	00170	0	0	0,536 17	0,536 17	-	00171	0	0	0,536 17	0,536 17	-	00172	0	0	0,536 17	0,536 17	-
	I		55.97 8	640.8 70	0,536 17	0,536 17	4,69		6.025	560.1 94	0,536 17	0,536 17	5,43		6.323	546.2 32	0,536 17	0,536 17	5,57
S	S		-3.285	50.80 5	0,804 25	0,804 25	-		0	0	0,804 25	0,804 25	-		0	0	0,804 25	0,804 25	-
	I		0	0	2,010 62	2,010 62	-		-5.347	17.40	2,010 62	2,010 62	2,47		-337	2.990	2,010 62	2,010 62	2,45



Platee - Verifiche pressoflessione retta allo SLU

Dir	Pos	Nodo	N _{Ed} [N]	M _{Ed} [N-m]	A _s [cm ² /cm]	A _{dr} [cm ² /cm]	CS	Nodo	N _{Ed} [N]	M _{Ed} [N-m]	A _s [cm ² /cm]	A _{dr} [cm ² /cm]	CS	Nodo	N _{Ed} [N]	M _{Ed} [N-m]	A _s [cm ² /cm]	A _{dr} [cm ² /cm]	CS
					62	62				8	62	62					62	62	
P	S	00173	0	0	0,536 17	0,536 17	-	00174	0	0	0,536 17	0,536 17	-	00175	0	0	0,536 17	0,536 17	-
	I		28.19 1	636.0 22	0,536 17	0,536 17	4,76		35.41 4	601.7 02	0,536 17	0,536 17	5,02		50.92 9	517.9 83	0,536 17	0,536 17	5,81
S	S		-1.752	53.73 8	0,804 25	0,804 25	2,41		0	0	0,804 25	0,804 25	-		0	0	0,804 25	0,804 25	-
	I		0	0	2,010 62	2,010 62	-		-187	19.88 8	2,010 62	2,010 62	2,47		-1.458	100.1 76	2,010 62	2,010 62	2,53
P	S	00176	0	0	0,536 17	0,536 17	-	00177	0	0	0,536 17	0,536 17	-	00178	0	0	0,536 17	0,536 17	-
	I		6.583	226.3 99	0,536 17	0,536 17	13,4 4		12.40 0	131.0 61	0,536 17	0,536 17	23,1 8		0	28.46 1	0,536 17	0,536 17	NS
S	S		0	0	0,804 25	0,804 25	-		0	0	0,804 25	0,804 25	-		0	0	0,804 25	0,804 25	-
	I		22.72 4	239.6 70	2,010 62	2,010 62	2,64		-1.786	385.9 54	2,010 62	2,010 62	2,79		13.95 6	531.5 35	2,010 62	2,010 62	2,94
P	S	00179	8.173	178.7 98	0,536 17	0,536 17	17,0 1	00180	-3.241	198.4 55	0,536 17	0,536 17	15,3 6	00181	3.240	194.9 08	0,536 17	0,536 17	15,62
	I		0	9.389	0,536 17	0,536 17	NS		0	4.835	0,536 17	0,536 17	NS		0	4.617	0,536 17	0,536 17	NS
S	S		0	0	0,804 25	0,804 25	-		0	0	0,804 25	0,804 25	-		0	0	0,804 25	0,804 25	-
	I		27.77 2	570.4 51	2,010 62	2,010 62	2,98		1.105	567.5 43	2,010 62	2,010 62	2,99		-2.954	539.3 74	2,010 62	2,010 62	2,96
P	S	00182	-698	119.5 78	0,536 17	0,536 17	25,4 8	00183	-6.905	11.45 1	0,536 17	0,536 17	NS	00184	0	0	0,536 17	0,536 17	-
	I		0	1.171	0,536 17	0,536 17	NS		0	0	0,536 17	0,536 17	-		-12	122.3 32	0,536 17	0,536 17	24,91
S	S		0	0	0,804 25	0,804 25	-		0	0	0,804 25	0,804 25	-		0	0	0,804 25	0,804 25	-
	I		25.09 6	357.6 69	2,010 62	2,010 62	2,76		12.22 4	172.3 71	2,010 62	2,010 62	2,59		0	45.02 4	2,010 62	2,010 62	2,49
P	S	00185	0	0	0,536 17	0,536 17	-	00186	0	0	0,536 17	0,536 17	-	00187	0	0	0,536 17	0,536 17	-
	I		-1.676	219.1 50	0,536 17	0,536 17	13,9 1		1.558	280.2 96	0,536 17	0,536 17	10,8 7		-9.010	279.1 79	0,536 17	0,536 17	10,94
S	S		-5.796	149.2 51	0,804 25	0,804 25	2,34		9.018	302.6 46	0,804 25	0,804 25	2,23		-37.83 4	327.9 90	0,804 25	0,804 25	2,23
	I		0	48.97 0	2,010 62	2,010 62	2,49		0	13.79 6	2,010 62	2,010 62	2,46		0	21.29 8	2,010 62	2,010 62	2,47
P	S	00188	0	0	0,536 17	0,536 17	-	00189	0	0	0,536 17	0,536 17	-	00190	-26.49 2	3.358	0,536 17	0,536 17	NS
	I		-21.87 9	216.7 01	0,536 17	0,536 17	14,1 3		-9.049	90.30 1	0,536 17	0,536 17	33,8 1		0	14.76 5	0,536 17	0,536 17	NS
S	S		-9.135	355.3 09	0,804 25	0,804 25	2,20		-57	273.0 78	0,804 25	0,804 25	2,25		15.04 4	158.5 17	0,804 25	0,804 25	2,34
	I		0	28.87 3	2,010 62	2,010 62	2,47		0	9.684	2,010 62	2,010 62	2,46		0	3.152	2,010 62	2,010 62	2,45
P	S	00191	-48.11 3	163.5 52	0,536 17	0,536 17	18,8 4	00192	-33.68 6	250.8 48	0,536 17	0,536 17	12,2 4	00193	-20.07 8	222.8 67	0,536 17	0,536 17	13,74
	I		0	49.10 0	0,536 17	0,536 17	62,0 5		0	45.96 8	0,536 17	0,536 17	66,2 8		0	7.138	0,536 17	0,536 17	NS
S	S		106	72.66 0	0,804 25	0,804 25	2,40		0	55	0,804 25	0,804 25	2,45		0	2.413	0,804 25	0,804 25	2,45
	I		0	5.180	2,010 62	2,010 62	2,45		4.178	6.866	2,010 62	2,010 62	2,45		3.423	31.10 2	2,010 62	2,010 62	2,47
P	S	00194	-54.53 1	249.4 94	0,536 17	0,536 17	12,3 7	00195	-37.85 5	160.5 52	0,536 17	0,536 17	19,1 5	00196	0	0	0,536 17	0,536 17	-
	I		0	46.02 3	0,536 17	0,536 17	66,2 0		0	49.09 8	0,536 17	0,536 17	62,0 5		0	12.77 9	0,536 17	0,536 17	NS
S	S		0	111	0,804 25	0,804 25	2,45		-3.544	70.65 7	0,804 25	0,804 25	2,40		-10.99 5	169.2 06	0,804 25	0,804 25	2,33
	I		5.649	8.828	2,010 62	2,010 62	2,46		0	5.160	2,010 62	2,010 62	2,45		0	5.026	2,010 62	2,010 62	2,45
P	S	00197	0	0	0,536 17	0,536 17	-	00198	0	0	0,536 17	0,536 17	-	00199	0	0	0,536 17	0,536 17	-
	I		-	111.6	0,536 17	0,536 17	27,5		-	196.7	0,536 17	0,536 17	15,5		-1.965	284.9	0,536 17	0,536 17	10,70



Platee - Verifiche pressoflessione retta allo SLU

Dir	Pos	Nodo	N _{Ed} [N]	M _{Ed} [N-m]	A _s [cm ² /cm]	A _{dr} [cm ² /cm]	CS	Nodo	N _{Ed} [N]	M _{Ed} [N-m]	A _s [cm ² /cm]	A _{dr} [cm ² /cm]	CS	Nodo	N _{Ed} [N]	M _{Ed} [N-m]	A _s [cm ² /cm]	A _{dr} [cm ² /cm]	CS
			30.26 2	03	17	17	0		16.72 9	79	17	17	4			02	17	17	
S	S		-6.462	276.3 39	0,804 25	0,804 25	2,25		- 20.35 1	337.0 58	0,804 25	0,804 25	2,22		- 17.38 7	323.7 88	0,804 25	0,804 25	2,23
	I		0	9.726	2,010 62	2,010 62	2,46		0	28.18 0	2,010 62	2,010 62	2,47		0	21.93 5	2,010 62	2,010 62	2,47
P	S	00200	0	0	0,536 17	0,536 17	-	00201	0	0	0,536 17	0,536 17	-	00202	0	0	0,536 17	0,536 17	-
	I		-8.654	283.5 00	0,536 17	0,536 17	10,7 7		230	223.9 33	0,536 17	0,536 17	13,6 1		637	108.8 89	0,536 17	0,536 17	27,98
S	S		-9.172	306.2 90	0,804 25	0,804 25	2,24		- 13.69 5	147.6 17	0,804 25	0,804 25	2,34		0	0	0,804 25	0,804 25	-
	I		0	10.77 7	2,010 62	2,010 62	2,46		0	49.42 8	2,010 62	2,010 62	2,49		0	45.77 2	2,010 62	2,010 62	2,49
P	S	00203	262	17.66 8	0,536 17	0,536 17	NS	00204	-708	120.4 90	0,536 17	0,536 17	25,2 9	00205	-378	187.3 28	0,536 17	0,536 17	16,27
	I		0	0	0,536 17	0,536 17	-		0	1.665	0,536 17	0,536 17	NS		0	4.870	0,536 17	0,536 17	NS
S	S		0	0	0,804 25	0,804 25	-		0	0	0,804 25	0,804 25	-		0	0	0,804 25	0,804 25	-
	I		-194	159.6 93	2,010 62	2,010 62	2,58		9.031	354.5 64	2,010 62	2,010 62	2,76		16.81 5	536.8 60	2,010 62	2,010 62	2,95
P	S	00206	7.184	198.1 52	0,536 17	0,536 17	15,3 5	00207	2.825	175.0 03	0,536 17	0,536 17	17,4 0	00208	12.28 9	11.21 9	0,536 17	0,536 17	NS
	I		0	2.573	0,536 17	0,536 17	NS		0	10.15 4	0,536 17	0,536 17	NS		0	28.15 6	0,536 17	0,536 17	NS
S	S		0	0	0,804 25	0,804 25	-		0	0	0,804 25	0,804 25	-		0	0	0,804 25	0,804 25	-
	I		6.514	568.6 85	2,010 62	2,010 62	2,99		15.11 8	590.0 59	2,010 62	2,010 62	3,01		17.05 6	525.4 27	2,010 62	2,010 62	2,93
P	S	00209	0	0	0,536 17	0,536 17	-	00210	0	0	0,536 17	0,536 17	-	00211	0	0	0,536 17	0,536 17	-
	I		25.65 8	159.4 93	0,536 17	0,536 17	18,9 9		1.333	221.9 47	0,536 17	0,536 17	13,7 2		36.92 6	531.2 19	0,536 17	0,536 17	5,69
S	S		0	0	0,804 25	0,804 25	-		0	0	0,804 25	0,804 25	-		0	0	0,804 25	0,804 25	-
	I		1.182	374.1 62	2,010 62	2,010 62	2,78		12.59 4	246.8 61	2,010 62	2,010 62	2,65		4.512	102.0 98	2,010 62	2,010 62	2,53
P	S	00212	0	0	0,536 17	0,536 17	-	00213	0	0	0,536 17	0,536 17	-	00214	0	0	0,536 17	0,536 17	-
	I		52.86 4	645.3 08	0,536 17	0,536 17	4,66		18.26 1	577.5 63	0,536 17	0,536 17	5,25		36.61 6	637.6 61	0,536 17	0,536 17	4,74
S	S		-2.981	2.062	0,804 25	0,804 25	2,45		4.097	50.82 1	0,804 25	0,804 25	2,41		0	0	0,804 25	0,804 25	-
	I		0	1.605	2,010 62	2,010 62	2,45		0	0	2,010 62	2,010 62	-		-2.147	2.704	2,010 62	2,010 62	2,45
P	S	00215	0	0	0,536 17	0,536 17	-	00216	0	0	0,536 17	0,536 17	-	00217	0	0	0,536 17	0,536 17	-
	I		50.99 8	594.0 59	0,536 17	0,536 17	5,07		39.99 1	667.4 13	0,536 17	0,536 17	4,52		25.01 1	688.9 42	0,536 17	0,536 17	4,40
S	S		0	0	0,804 25	0,804 25	-		-6.586	7.784	0,804 25	0,804 25	2,45		-8.625	80.45 3	0,804 25	0,804 25	2,39
	I		-3.050	55.80 9	2,010 62	2,010 62	2,50		0	3.190	2,010 62	2,010 62	2,45		0	0	2,010 62	2,010 62	-
P	S	00218	0	0	0,536 17	0,536 17	-	00219	0	0	0,536 17	0,536 17	-	00220	0	0	0,536 17	0,536 17	-
	I		-4.227	616.3 45	0,536 17	0,536 17	4,95		63.63 9	581.7 76	0,536 17	0,536 17	5,16		56.29 6	686.5 05	0,536 17	0,536 17	4,38
S	S		-12.12 0	140.0 51	0,804 25	0,804 25	2,35		-10.69 6	120.3 63	0,804 25	0,804 25	2,36		12.78 8	92.29 6	0,804 25	0,804 25	2,38
	I		0	0	2,010 62	2,010 62	-		0	0	2,010 62	2,010 62	-		0	0	2,010 62	2,010 62	-
P	S	00221	0	0	0,536 17	0,536 17	-	00222	0	0	0,536 17	0,536 17	-	00223	0	0	0,536 17	0,536 17	-
	I		46.72 8	678.3 75	0,536 17	0,536 17	4,44		38.22 7	620.8 18	0,536 17	0,536 17	4,86		28.79 7	500.5 22	0,536 17	0,536 17	6,05
S	S		-1.657	24.82 3	0,804 25	0,804 25	2,43		0	0	0,804 25	0,804 25	-		0	0	0,804 25	0,804 25	-
	I		0	2.187	2,010 62	2,010 62	2,45		4.087	39.85 6	2,010 62	2,010 62	2,48		4.936	146.1 99	2,010 62	2,010 62	2,57
P	S	00224	0	0	0,536 17	0,536 17	-	00225	0	0	0,536 17	0,536 17	-	00226	0	0	0,536 17	0,536 17	-



Platee - Verifiche pressoflessione retta allo SLU

Dir	Pos	Nodo	N _{Ed} [N]	M _{Ed} [N-m]	A _s [cm ² /cm]	A _{dr} [cm ² /cm]	CS	Nodo	N _{Ed} [N]	M _{Ed} [N-m]	A _s [cm ² /cm]	A _{dr} [cm ² /cm]	CS	Nodo	N _{Ed} [N]	M _{Ed} [N-m]	A _s [cm ² /cm]	A _{dr} [cm ² /cm]	CS
	I		55.27 7	372.5 52	0,536 17	0,536 17	8,07		52.12 5	551.8 22	0,536 17	0,536 17	5,45		44.08 6	692.6 66	0,536 17	0,536 17	4,35
S	S		0	0	0,804 25	0,804 25	-		0	0	0,804 25	0,804 25	-		0	0	0,804 25	0,804 25	-
	I		707	176.2 66	2,010 62	2,010 62	2,60		- 11.79 3	95.24 7	2,010 62	2,010 62	2,53		- 15.45 5	29.49 5	2,010 62	2,010 62	2,48
P	S	00227	0	0	0,536 17	0,536 17	-	00228	0	0	0,536 17	0,536 17	-	00229	0	0	0,536 17	0,536 17	-
	I		32.73 9	779.1 53	0,536 17	0,536 17	3,88		17.92 5	793.9 41	0,536 17	0,536 17	3,82		31.45 2	634.3 56	0,536 17	0,536 17	4,77
S	S		- 19.29 1	41.76 5	0,804 25	0,804 25	2,42		- 27.04 2	142.1 33	0,804 25	0,804 25	2,35		- 54.49 0	216.2 05	0,804 25	0,804 25	2,31
	I		0	5.207	2,010 62	2,010 62	2,45		0	0	2,010 62	2,010 62	-		0	0	2,010 62	2,010 62	-
P	S	00230	0	0	0,536 17	0,536 17	-	00231	0	0	0,536 17	0,536 17	-	00232	0	0	0,536 17	0,536 17	-
	I		62.92 1	821.7 02	0,536 17	0,536 17	3,65		37.40 7	794.8 64	0,536 17	0,536 17	3,80		26.69 4	722.2 63	0,536 17	0,536 17	4,19
S	S		- 41.27 2	171.1 55	0,804 25	0,804 25	2,34		- 11.51 5	65.68 6	0,804 25	0,804 25	2,40		0	0	0,804 25	0,804 25	-
	I		0	0	2,010 62	2,010 62	-		0	3.750	2,010 62	2,010 62	2,45		-71	13.09 8	2,010 62	2,010 62	2,46
P	S	00233	0	0	0,536 17	0,536 17	-	00234	0	0	0,536 17	0,536 17	-	00235	0	0	0,536 17	0,536 17	-
	I		18.36 1	583.8 62	0,536 17	0,536 17	5,20		7.961	415.2 11	0,536 17	0,536 17	7,32		8.687	187.9 19	0,536 17	0,536 17	16,18
S	S		0	0	0,804 25	0,804 25	-		0	0	0,804 25	0,804 25	-		0	12.88 7	0,804 25	0,804 25	2,44
	I		6.226	75.81 0	2,010 62	2,010 62	2,51		9.957	149.4 87	2,010 62	2,010 62	2,57		- 12.01 1	279.1 62	2,010 62	2,010 62	2,69
P	S	00236	0	0	0,536 17	0,536 17	-	00237	0	0	0,536 17	0,536 17	-	00238	0	0	0,536 17	0,536 17	-
	I		51.37 5	210.7 84	0,536 17	0,536 17	14,2 8		58.40 3	488.8 03	0,536 17	0,536 17	6,15		49.53 2	685.7 21	0,536 17	0,536 17	4,39
S	S		0	25.03 1	0,804 25	0,804 25	2,43		0	0	0,804 25	0,804 25	-		0	0	0,804 25	0,804 25	-
	I		- 37.77 9	73.92 4	2,010 62	2,010 62	2,52		- 25.44 8	142.3 22	2,010 62	2,010 62	2,57		- 27.25 8	117.1 86	2,010 62	2,010 62	2,55
P	S	00239	0	0	0,536 17	0,536 17	-	00240	0	0	0,536 17	0,536 17	-	00241	0	0	0,536 17	0,536 17	-
	I		42.24 9	837.0 41	0,536 17	0,536 17	3,60		36.23 7	924.0 82	0,536 17	0,536 17	3,27		38.36 1	924.9 84	0,536 17	0,536 17	3,26
S	S		0	0	0,804 25	0,804 25	-		0	0	0,804 25	0,804 25	-		- 50.87 0	21.53 6	0,804 25	0,804 25	2,45
	I		- 30.40 8	61.77 2	2,010 62	2,010 62	2,51		0	15.27 9	2,010 62	2,010 62	2,46		0	17.73 8	2,010 62	2,010 62	2,46
P	S	00242	0	0	0,536 17	0,536 17	-	00243	0	0	0,536 17	0,536 17	-	00244	0	0	0,536 17	0,536 17	-
	I		40.83 9	924.4 84	0,536 17	0,536 17	3,26		29.84 1	938.5 32	0,536 17	0,536 17	3,22		18.87 6	869.1 88	0,536 17	0,536 17	3,49
S	S		- 43.15 3	21.52 3	0,804 25	0,804 25	2,45		- 21.08 2	4.473	0,804 25	0,804 25	2,45		0	0	0,804 25	0,804 25	-
	I		0	18.65 6	2,010 62	2,010 62	2,47		0	15.77 9	2,010 62	2,010 62	2,46		-6.293	46.98 2	2,010 62	2,010 62	2,49
P	S	00245	0	0	0,536 17	0,536 17	-	00246	0	0	0,536 17	0,536 17	-	00247	0	0	0,536 17	0,536 17	-
	I		7.623	731.9 95	0,536 17	0,536 17	4,15		-5.493	544.1 78	0,536 17	0,536 17	5,61		- 20.72 0	299.5 26	0,536 17	0,536 17	10,22
S	S		0	0	0,804 25	0,804 25	-		0	0	0,804 25	0,804 25	-		0	14.44 9	0,804 25	0,804 25	2,44
	I		3.354	104.9 01	2,010 62	2,010 62	2,53		8.154	143.7 73	2,010 62	2,010 62	2,57		8.330	120.1 90	2,010 62	2,010 62	2,55
P	S	00248	0	0	0,536 17	0,536 17	-	00249	0	0	0,536 17	0,536 17	-	00250	0	0	0,536 17	0,536 17	-
	I		25.35 3	247.2 40	0,536 17	0,536 17	12,2 5		27.16 0	166.4 92	0,536 17	0,536 17	18,1 8		20.53 4	79.22 7	0,536 17	0,536 17	38,27



Platee - Verifiche pressoflessione retta allo SLU

Dir	Pos	Nodo	N _{Ed} [N]	M _{Ed} [N-m]	A _s [cm ² /cm]	A _{dr} [cm ² /cm]	CS	Nodo	N _{Ed} [N]	M _{Ed} [N-m]	A _s [cm ² /cm]	A _{dr} [cm ² /cm]	CS	Nodo	N _{Ed} [N]	M _{Ed} [N-m]	A _s [cm ² /cm]	A _{dr} [cm ² /cm]	CS
S	S		0	13.86	0,804	0,804	2,44		0	0	0,804	0,804	-		0	0	0,804	0,804	-
	I		188	294.0	2,010	2,010	2,70		-1.843	365.3	2,010	2,010	2,77		-1.442	475.3	2,010	2,010	2,89
P	S	00251	0	0	0,536	0,536	-	00252	0	0	0,536	0,536	-	00253	0	0	0,536	0,536	-
	I		17.49	132.7	0,536	0,536	22,8		77.94	95.92	0,536	0,536	31,1		54.02	377.9	0,536	0,536	7,96
S	S		0	0	0,804	0,804	-		0	0	0,804	0,804	-		0	0	0,804	0,804	-
	I		-	391.3	2,010	2,010	2,81		-	355.4	2,010	2,010	2,79		-	286.9	2,010	2,010	2,71
P	S	00254	0	0	0,536	0,536	-	00255	0	0	0,536	0,536	-	00256	0	0	0,536	0,536	-
	I		51.61	638.9	0,536	0,536	4,71		48.45	858.9	0,536	0,536	3,51		44.87	1.030.	0,536	0,536	2,92
S	S		0	0	0,804	0,804	-		0	0	0,804	0,804	-		0	0	0,804	0,804	-
	I		-	270.1	2,010	2,010	2,69		-	231.0	2,010	2,010	2,66		-	183.3	2,010	2,010	2,62
P	S	00257	0	0	0,536	0,536	-	00258	0	0	0,536	0,536	-	00259	0	0	0,536	0,536	-
	I		42.43	1.133.	0,536	0,536	2,66		39.49	1.161.	0,536	0,536	2,60		27.71	1.151.	0,536	0,536	2,63
S	S		0	0	0,804	0,804	-		0	0	0,804	0,804	-		0	0	0,804	0,804	-
	I		-	148.0	2,010	2,010	2,59		-	137.9	2,010	2,010	2,58		-	142.7	2,010	2,010	2,58
P	S	00260	0	0	0,536	0,536	-	00261	0	0	0,536	0,536	-	00262	0	0	0,536	0,536	-
	I		15.37	1.069.	0,536	0,536	2,84		4.005	911.9	0,536	0,536	3,34		-6.273	701.2	0,536	0,536	4,35
S	S		0	0	0,804	0,804	-		0	0	0,804	0,804	-		0	0	0,804	0,804	-
	I		-	172.3	2,010	2,010	2,60		-	219.0	2,010	2,010	2,63		-	262.4	2,010	2,010	2,67
P	S	00263	0	0	0,536	0,536	-	00264	0	0	0,536	0,536	-	00265	0	0	0,536	0,536	-
	I		-	452.0	0,536	0,536	6,77		-	123.5	0,536	0,536	24,7		31.42	172.0	0,536	0,536	17,57
S	S		0	0	0,804	0,804	-		0	0	0,804	0,804	-		0	0	0,804	0,804	-
	I		8.113	282.3	2,010	2,010	2,69		-904	318.4	2,010	2,010	2,73		-6.075	347.4	2,010	2,010	2,76
P	S	00266	0	0	0,536	0,536	-	00267	23.47	64.88	0,536	0,536	46,6	00268	26.99	11.11	0,536	0,536	NS
	I		18.02	85.78	0,536	0,536	35,3		0	25.55	0,536	0,536	NS		0	31.01	0,536	0,536	98,24
S	S		0	0	0,804	0,804	-		0	0	0,804	0,804	-		0	0	0,804	0,804	-
	I		11.85	469.2	2,010	2,010	2,88		19.34	576.0	2,010	2,010	2,99		296	570.5	2,010	2,010	2,99
P	S	00269	0	0	0,536	0,536	-	00270	0	0	0,536	0,536	-	00271	0	0	0,536	0,536	-
	I		32.62	49.14	0,536	0,536	61,5		50.30	124.2	0,536	0,536	24,2		56.47	274.3	0,536	0,536	10,96
S	S		0	0	0,804	0,804	-		0	0	0,804	0,804	-		0	0	0,804	0,804	-
	I		-	568.5	2,010	2,010	3,00		-	567.2	2,010	2,010	3,01		-	557.9	2,010	2,010	3,00
P	S	00272	0	0	0,536	0,536	-	00273	0	0	0,536	0,536	-	00274	0	0	0,536	0,536	-
	I		53.45	547.6	0,536	0,536	5,49		53.16	831.1	0,536	0,536	3,62		51.70	1.092.	0,536	0,536	2,76
S	S		0	0	0,804	0,804	-		0	0	0,804	0,804	-		0	0	0,804	0,804	-
	I		-	518.2	2,010	2,010	2,95		-	475.9	2,010	2,010	2,91		-	426.6	2,010	2,010	2,85



Platee - Verifiche pressoflessione retta allo SLU

Dir	Pos	Nodo	N _{Ed} [N]	M _{Ed} [N-m]	A _s [cm ² /cm]	A _{dr} [cm ² /cm]	CS	Nodo	N _{Ed} [N]	M _{Ed} [N-m]	A _s [cm ² /cm]	A _{dr} [cm ² /cm]	CS	Nodo	N _{Ed} [N]	M _{Ed} [N-m]	A _s [cm ² /cm]	A _{dr} [cm ² /cm]	CS
P	S	00275	0	0	0,536 17	0,536 17	-	00276	0	0	0,536 17	0,536 17	-	00277	0	0	0,536 17	0,536 17	-
I	48.13 3		1.299. 197	0,536 17	0,536 17	2,32	41.62 3	1.417. 642	0,536 17	0,536 17	2,13	29.80 2	1.433. 659	0,536 17	0,536 17	2,11			
S	S	00275	0	0	0,804 25	0,804 25	-	00276	0	0	0,804 25	0,804 25	-	00277	0	0	0,804 25	0,804 25	-
I	- 57.13 6		378.6 70	2,010 62	2,010 62	2,80	- 52.06 3	348.1 36	2,010 62	2,010 62	2,77	- 39.14 3	343.8 33	2,010 62	2,010 62	2,76			
P	S	00278	0	0	0,536 17	0,536 17	-	00279	0	0	0,536 17	0,536 17	-	00280	0	0	0,536 17	0,536 17	-
I	15.25 1		1.344. 396	0,536 17	0,536 17	2,26	2.093	1.157. 251	0,536 17	0,536 17	2,63	-7.716	905.1 03	0,536 17	0,536 17	3,37			
S	S	00278	0	0	0,804 25	0,804 25	-	00279	0	0	0,804 25	0,804 25	-	00280	0	0	0,804 25	0,804 25	-
I	- 22.07 9		367.2 97	2,010 62	2,010 62	2,78	-6.565	412.6 30	2,010 62	2,010 62	2,82	4.050	463.4 62	2,010 62	2,010 62	2,87			
P	S	00281	0	0	0,536 17	0,536 17	-	00282	0	0	0,536 17	0,536 17	-	00283	0	0	0,536 17	0,536 17	-
I	- 12.77 0		622.3 38	0,536 17	0,536 17	4,91	-9.585	336.8 99	0,536 17	0,536 17	9,06	-122	148.1 87	0,536 17	0,536 17	20,56			
S	S	00281	0	0	0,804 25	0,804 25	-	00282	0	0	0,804 25	0,804 25	-	00283	0	0	0,804 25	0,804 25	-
I	7.864		507.2 57	2,010 62	2,010 62	2,92	3.182	547.6 28	2,010 62	2,010 62	2,96	4.342	570.0 45	2,010 62	2,010 62	2,99			
P	S	00284	0	0	0,536 17	0,536 17	-	00285	0	0	0,536 17	0,536 17	-	00286	9.655	46.72 6	0,536 17	0,536 17	65,06
I	3.864		69.53 0	0,536 17	0,536 17	43,7 8	0	31.47 3	0,536 17	0,536 17	96,8 1	0	27.16 0	0,536 17	0,536 17	NS			
S	S	00284	0	0	0,804 25	0,804 25	-	00285	0	0	0,804 25	0,804 25	-	00286	0	0	0,804 25	0,804 25	-
I	11.64 8		569.5 61	2,010 62	2,010 62	2,99	16.16 9	563.8 67	2,010 62	2,010 62	2,98	18.10 3	589.7 56	2,010 62	2,010 62	3,01			
P	S	00287	14.72 2	124.6 30	0,536 17	0,536 17	24,3 6	00288	28.53 0	102.2 27	0,536 17	0,536 17	29,6 0	00289	36.74 6	46.31 6	0,536 17	0,536 17	65,21
I	0		19.46 1	0,536 17	0,536 17	NS	0	27.99 5	0,536 17	0,536 17	NS	0	34.41 3	0,536 17	0,536 17	88,54			
S	S	00287	0	0	0,804 25	0,804 25	-	00288	0	0	0,804 25	0,804 25	-	00289	0	0	0,804 25	0,804 25	-
I	28.06 5		596.4 91	2,010 62	2,010 62	3,01	4.648	654.1 57	2,010 62	2,010 62	3,09	- 22.68 5	700.0 36	2,010 62	2,010 62	3,16			
P	S	00290	0	0	0,536 17	0,536 17	-	00291	0	0	0,536 17	0,536 17	-	00292	0	0	0,536 17	0,536 17	-
I	47.12 0		44.09 5	0,536 17	0,536 17	68,3 2	57.17 3	186.6 13	0,536 17	0,536 17	16,1 1	58.09 3	432.2 26	0,536 17	0,536 17	6,95			
S	S	00290	0	0	0,804 25	0,804 25	-	00291	0	0	0,804 25	0,804 25	-	00292	0	0	0,804 25	0,804 25	-
I	- 47.36 7		754.4 58	2,010 62	2,010 62	3,24	- 64.23 3	800.2 78	2,010 62	2,010 62	3,31	- 67.57 3	812.6 59	2,010 62	2,010 62	3,33			
P	S	00293	0	0	0,536 17	0,536 17	-	00294	0	0	0,536 17	0,536 17	-	00295	0	0	0,536 17	0,536 17	-
I	59.11 9		747.4 83	0,536 17	0,536 17	4,02	59.64 8	1.089. 060	0,536 17	0,536 17	2,76	56.81 0	1.411. 756	0,536 17	0,536 17	2,13			
S	S	00293	0	0	0,804 25	0,804 25	-	00294	0	0	0,804 25	0,804 25	-	00295	0	0	0,804 25	0,804 25	-
I	- 69.26 1		795.1 57	2,010 62	2,010 62	3,31	- 71.51 9	753.7 92	2,010 62	2,010 62	3,25	- 71.00 7	697.5 17	2,010 62	2,010 62	3,18			
P	S	00296	0	0	0,536 17	0,536 17	-	00297	0	0	0,536 17	0,536 17	-	00298	0	0	0,536 17	0,536 17	-
I	48.70 8		1.657. 241	0,536 17	0,536 17	1,82	34.81 6	1.765. 618	0,536 17	0,536 17	1,71	17.29 0	1.705. 342	0,536 17	0,536 17	1,78			
S	S	00296	0	0	0,804 25	0,804 25	-	00297	0	0	0,804 25	0,804 25	-	00298	0	0	0,804 25	0,804 25	-
I	- 64.38 9		644.9 10	2,010 62	2,010 62	3,11	- 50.45 8	619.2 06	2,010 62	2,010 62	3,07	- 31.43 4	633.3 75	2,010 62	2,010 62	3,08			
P	S	00299	0	0	0,536 17	0,536 17	-	00300	0	0	0,536 17	0,536 17	-	00301	0	0	0,536 17	0,536 17	-
I	435		1.492. 070	0,536 17	0,536 17	2,04	- 12.01	1.181. 715	0,536 17	0,536 17	2,59	- 18.24	836.9 26	0,536 17	0,536 17	3,66			



Platee - Verifiche pressoflessione retta allo SLU

Dir	Pos	Nodo	N _{Ed} [N]	M _{Ed} [N-m]	A _s [cm ² /cm]	A _{dr} [cm ² /cm]	CS	Nodo	N _{Ed} [N]	M _{Ed} [N-m]	A _s [cm ² /cm]	A _{dr} [cm ² /cm]	CS	Nodo	N _{Ed} [N]	M _{Ed} [N-m]	A _s [cm ² /cm]	A _{dr} [cm ² /cm]	CS	
S	S		0	0	0,804 25	0,804 25	-		1	0	0,804 25	0,804 25	-		3	0	0	0,804 25	0,804 25	-
	I		-12.09 3	680.8 18	2,010 62	2,010 62	3,13		2.912	739.2 21	2,010 62	2,010 62	3,20		10.97 1	786.9 33	2,010 62	2,010 62	3,26	
P	S	00302	0	0	0,536 17	0,536 17	-	00303	0	0	0,536 17	0,536 17	-	00304	0	0	0,536 17	0,536 17	-	
	I		-17.94 1	507.7 33	0,536 17	0,536 17	6,03		-13.36 4	236.5 05	0,536 17	0,536 17	12,9 2		-10.22 5	73.98 3	0,536 17	0,536 17	41,28	
S	S		0	0	0,804 25	0,804 25	-		0	0	0,804 25	0,804 25	-		0	0	0,804 25	0,804 25	-	
	I		12.27 1	812.5 22	2,010 62	2,010 62	3,30		12.32 7	809.6 79	2,010 62	2,010 62	3,29		15.89 4	768.7 16	2,010 62	2,010 62	3,23	
P	S	00305	-7.092	30.65 2	0,536 17	0,536 17	99,5 7	00306	-3.426	96.02 6	0,536 17	0,536 17	31,7 5	00307	2.111	132.8 39	0,536 17	0,536 17	22,92	
	I		0	34.96 8	0,536 17	0,536 17	87,1 3		0	29.88 6	0,536 17	0,536 17	NS		0	20.62 8	0,536 17	0,536 17	NS	
S	S		0	0	0,804 25	0,804 25	-		0	0	0,804 25	0,804 25	-		0	0	0,804 25	0,804 25	-	
	I		18.96 3	716.7 89	2,010 62	2,010 62	3,16		19.73 0	665.6 34	2,010 62	2,010 62	3,10		18.07 4	613.2 66	2,010 62	2,010 62	3,04	
P	S	00308	-11.79 7	267.6 06	0,536 17	0,536 17	11,4 2	00309	29.98 2	232.6 52	0,536 17	0,536 17	13,0 0	00310	38.37 8	157.3 36	0,536 17	0,536 17	19,19	
	I		0	0	0,536 17	0,536 17	-		0	17.62 3	0,536 17	0,536 17	NS		0	33.09 8	0,536 17	0,536 17	92,05	
S	S		0	0	0,804 25	0,804 25	-		0	0	0,804 25	0,804 25	-		0	0	0,804 25	0,804 25	-	
	I		66.12 1	608.8 33	2,010 62	2,010 62	3,01		14.88 9	666.4 10	2,010 62	2,010 62	3,10		-18.98 7	775.8 30	2,010 62	2,010 62	3,26	
P	S	00311	45.03 6	68.39 9	0,536 17	0,536 17	44,0 7	00312	0	0	0,536 17	0,536 17	-	00313	0	0	0,536 17	0,536 17	-	
	I		0	40.75 9	0,536 17	0,536 17	74,7 5		53.69 9	66.99 5	0,536 17	0,536 17	44,9 0		60.08 6	285.5 39	0,536 17	0,536 17	10,52	
S	S		0	0	0,804 25	0,804 25	-		0	0	0,804 25	0,804 25	-		0	0	0,804 25	0,804 25	-	
	I		-39.43 9	895.2 41	2,010 62	2,010 62	3,44		-57.39 1	1.009. 857	2,010 62	2,010 62	3,64		-70.28 5	1.100. 497	2,010 62	2,010 62	3,80	
P	S	00314	0	0	0,536 17	0,536 17	-	00315	0	0	0,536 17	0,536 17	-	00316	0	0	0,536 17	0,536 17	-	
	I		64.71 8	604.4 04	0,536 17	0,536 17	4,96		68.66 5	1.002. 217	0,536 17	0,536 17	2,99		69.08 4	1.438. 755	0,536 17	0,536 17	2,08	
S	S		0	0	0,804 25	0,804 25	-		0	0	0,804 25	0,804 25	-		0	0	0,804 25	0,804 25	-	
	I		-79.63 1	1.151. 617	2,010 62	2,010 62	3,91		-87.08 1	1.157. 636	2,010 62	2,010 62	3,92		-90.13 3	1.120. 234	2,010 62	2,010 62	3,85	
P	S	00317	0	0	0,536 17	0,536 17	-	00318	0	0	0,536 17	0,536 17	-	00319	0	0	0,536 17	0,536 17	-	
	I		61.90 9	1.843. 687	4,557 41	4,557 41	1,86		45.58 6	2.115. 251	4,557 41	4,557 41	1,96		22.79 3	2.154. 113	4,557 41	4,557 41	1,98	
S	S		0	0	0,804 25	0,804 25	-		0	0	0,804 25	0,804 25	-		0	0	0,804 25	0,804 25	-	
	I		-84.49 8	1.056. 382	10,05 310	10,05 310	1,81		-68.50 6	1.001. 075	10,05 310	10,05 310	1,79		-44.68 6	992.0 77	10,05 310	10,05 310	1,79	
P	S	00320	0	0	0,536 17	0,536 17	-	00321	0	0	0,536 17	0,536 17	-	00322	0	0	0,536 17	0,536 17	-	
	I		-659	1.940. 989	4,557 41	4,557 41	1,91		-18.72 2	1.559. 056	4,557 41	4,557 41	1,79		-28.21 1	1.118. 132	0,536 17	0,536 17	2,74	
S	S		0	0	0,804 25	0,804 25	-		0	0	0,804 25	0,804 25	-		0	0	0,804 25	0,804 25	-	
	I		-18.65 4	1.036. 868	10,05 310	10,05 310	1,79		3.178	1.103. 532	10,05 310	10,05 310	1,81		16.55 5	1.152. 462	2,010 62	2,010 62	3,86	
P	S	00323	0	0	0,536 17	0,536 17	-	00324	0	0	0,536 17	0,536 17	-	00325	0	0	0,536 17	0,536 17	-	
	I		-29.80 3	700.8 16	0,536 17	0,536 17	4,38		-26.65 2	355.4 91	0,536 17	0,536 17	8,62		-22.89 0	110.2 61	0,536 17	0,536 17	27,78	



Platee - Verifiche pressoflessione retta allo SLU

Dir	Pos	Nodo	N _{Ed} [N]	M _{Ed} [N-m]	A _s [cm ² /cm]	A _{dr} [cm ² /cm]	CS	Nodo	N _{Ed} [N]	M _{Ed} [N-m]	A _s [cm ² /cm]	A _{dr} [cm ² /cm]	CS	Nodo	N _{Ed} [N]	M _{Ed} [N-m]	A _s [cm ² /cm]	A _{dr} [cm ² /cm]	CS
S	S		0	0	0,804 25	0,804 25	-		0	0	0,804 25	0,804 25	-		0	0	0,804 25	0,804 25	-
	I		21.48 8	1.160. 176	2,010 62	2,010 62	3,87		21.93 3	1.121. 121	2,010 62	2,010 62	3,79		22.34 2	1.039. 050	2,010 62	2,010 62	3,65
P	S	00326	- 19.85 0	42.79 8	0,536 17	0,536 17	71,5 3	00327	- 17.45 3	139.4 03	0,536 17	0,536 17	21,9 5	00328	- 15.19 5	214.2 57	0,536 17	0,536 17	14,27
	I		0	41.72 1	0,536 17	0,536 17	73,0 3		0	35.34 0	0,536 17	0,536 17	86,2 1		0	22.05 6	0,536 17	0,536 17	NS
S	S		0	0	0,804 25	0,804 25	-		0	0	0,804 25	0,804 25	-		0	0	0,804 25	0,804 25	-
	I		23.34 9	927.8 00	2,010 62	2,010 62	3,46		23.69 8	807.0 37	2,010 62	2,010 62	3,28		22.17 2	704.2 25	2,010 62	2,010 62	3,15
P	S	00329	-6.155	269.4 23	0,536 17	0,536 17	11,5 3	00330	- 30.30 7	205.5 88	0,536 17	0,536 17	14,9 3	00331	-6.918	360.6 30	0,536 17	0,536 17	8,46
	I		0	711	0,536 17	0,536 17	NS		0	0	0,536 17	0,536 17	-		0	0	0,536 17	0,536 17	-
S	S		0	0	0,804 25	0,804 25	-		0	0	0,804 25	0,804 25	-		0	8.461	0,804 25	0,804 25	2,44
	I		17.97 2	629.7 95	2,010 62	2,010 62	3,06		-9.290	598.9 17	2,010 62	2,010 62	3,03		17.73 3	542.8 99	2,010 62	2,010 62	2,97
P	S	00332	36.27 4	262.0 53	0,536 17	0,536 17	11,5 3	00333	40.88 9	187.3 20	0,536 17	0,536 17	16,1 1	00334	48.80 2	77.10 17	0,536 17	0,536 17	39,06
	I		0	26.99 0	0,536 17	0,536 17	NS		0	40.56 4	0,536 17	0,536 17	75,1 1		47.98 4	0,536 17	0,536 17	63,50	
S	S		0	0	0,804 25	0,804 25	-		0	0	0,804 25	0,804 25	-		0	0	0,804 25	0,804 25	-
	I		- 18.12 2	785.7 85	2,010 62	2,010 62	3,27		- 34.01 1	980.9 07	2,010 62	2,010 62	3,58		- 50.60 0	1.168. 679	2,010 62	2,010 62	3,92
P	S	00335	0	0	0,536 17	0,536 17	-	00336	0	0	0,536 17	0,536 17	-	00337	0	0	0,536 17	0,536 17	-
	I		57.60 7	107.1 59	0,536 17	0,536 17	28,0 4		66.51 5	400.0 27	0,536 17	0,536 17	7,50		75.71 3	815.3 09	0,536 17	0,536 17	3,67
S	S		0	0	0,804 25	0,804 25	-		0	0	0,804 25	0,804 25	-		0	0	0,804 25	0,804 25	-
	I		- 67.09 0	1.349. 190	2,010 62	2,010 62	4,33		- 83.31 5	1.502. 748	2,010 62	2,010 62	4,75		- 99.28 1	1.606. 529	2,010 62	2,010 62	5,08
P	S	00338	0	0	0,536 17	0,536 17	-	00339	0	0	0,536 17	0,536 17	-	00340	0	0	0,536 17	0,536 17	-
	I		83.03 8	1.339. 597	0,536 17	0,536 17	2,23		81.96 3	1.916. 496	4,557 41	4,557 41	1,88		66.02 5	2.423. 461	4,557 41	4,557 41	2,07
S	S		0	0	0,804 25	0,804 25	-		0	0	0,804 25	0,804 25	-		0	0	0,804 25	0,804 25	-
	I		- 111.7 39	1.641. 529	2,010 62	2,010 62	5,21		- 113.2 09	1.605. 749	10,05 310	10,05 310	1,97		- 97.76 5	1.530. 587	10,05 310	10,05 310	1,94
P	S	00341	0	0	0,536 17	0,536 17	-	00342	0	0	0,536 17	0,536 17	-	00343	0	0	0,536 17	0,536 17	-
	I		36.12 6	2.676. 174	4,557 41	4,557 41	2,19		1.079	2.534. 516	4,557 41	4,557 41	2,14		- 27.71 1	2.076. 535	4,557 41	4,557 41	1,96
S	S		0	0	0,804 25	0,804 25	-		0	0	0,804 25	0,804 25	-		0	0	0,804 25	0,804 25	-
	I		- 67.09 5	1.480. 757	10,05 310	10,05 310	1,92		- 29.44 3	1.508. 602	10,05 310	10,05 310	1,92		4.399	1.584. 862	10,05 310	10,05 310	1,94
P	S	00344	0	0	0,536 17	0,536 17	-	00345	0	0	0,536 17	0,536 17	-	00346	0	0	0,536 17	0,536 17	-
	I		- 42.98 4	1.496. 533	0,536 17	0,536 17	2,06		- 45.82 8	943.2 34	0,536 17	0,536 17	3,27		- 41.96 5	491.7 95	0,536 17	0,536 17	6,26
S	S		0	0	0,804 25	0,804 25	-		0	0	0,804 25	0,804 25	-		0	0	0,804 25	0,804 25	-
	I		25.85 0	1.639. 134	2,010 62	2,010 62	5,09		33.81 1	1.626. 625	2,010 62	2,010 62	5,04		33.70 3	1.540. 426	2,010 62	2,010 62	4,77
P	S	00347	0	0	0,536 17	0,536 17	-	00348	- 31.29 2	43.97 0	0,536 17	0,536 17	69,8 1	00349	- 27.96 5	168.8 14	0,536 17	0,536 17	18,17
	I		- 36.27 0	165.3 17	0,536 17	0,536 17	18,5 9		0	49.17 1	0,536 17	0,536 17	61,9 6		0	42.53 0	0,536 17	0,536 17	71,64



Platee - Verifiche pressoflessione retta allo SLU

Dir	Pos	Nodo	N _{Ed}	M _{Ed}	A _s	A _{dr}	CS	Nodo	N _{Ed}	M _{Ed}	A _s	A _{dr}	CS	Nodo	N _{Ed}	M _{Ed}	A _s	A _{dr}	CS
			[N]	[N-m]	[cm ² /cm]	[cm ² /cm]			[N]	[N-m]	[cm ² /cm]	[cm ² /cm]			[N]	[N-m]	[cm ² /cm]	[cm ² /cm]	
S	S		0	0	0,804 25	0,804 25	-		0	0	0,804 25	0,804 25	-		0	0	0,804 25	0,804 25	-
	I		31.27 9	1.396. 817	2,010 62	2,010 62	4,38		29.19 4	1.219. 137	2,010 62	2,010 62	3,98		27.56 4	1.029. 790	2,010 62	2,010 62	3,63
P	S	00350	- 27.34 4	248.0 34	0,536 17	0,536 17	12,3 6	00351	- 29.30 9	324.4 42	0,536 17	0,536 17	9,46	00352	5.582	192.6 23	0,536 17	0,536 17	15,80
	I		0	30.85 9	0,536 17	0,536 17	98,7 3		0	6.692	0,536 17	0,536 17	NS		0	0	0,536 17	0,536 17	-
S	S		0	0	0,804 25	0,804 25	-		0	0	0,804 25	0,804 25	-		0	830	0,804 25	0,804 25	2,45
	I		25.40 3	834.5 70	2,010 62	2,010 62	3,32		21.47 2	596.1 41	2,010 62	2,010 62	3,01		10.97 9	598.7 13	2,010 62	2,010 62	3,02
P	S	00353	1.771	228.2 09	0,536 17	0,536 17	13,3 5	00354	69.38 0	373.7 22	0,536 17	0,536 17	8,02	00355	25.13 6	359.3 02	0,536 17	0,536 17	8,43
	I		0	3.038	0,536 17	0,536 17	NS		0	0	0,536 17	0,536 17	-		0	14.26 9	0,536 17	0,536 17	NS
S	S		0	0	0,804 25	0,804 25	-		0	0	0,804 25	0,804 25	-		0	0	0,804 25	0,804 25	-
	I		- 21.99 1	595.1 59	2,010 62	2,010 62	3,03		- 51.14 9	654.2 35	2,010 62	2,010 62	3,11		- 31.97 8	801.6 51	2,010 62	2,010 62	3,30
P	S	00356	32.63 4	292.4 76	0,536 17	0,536 17	10,3 4	00357	41.78 5	216.1 73	0,536 17	0,536 17	13,9 5	00358	52.00 8	82.59 0	0,536 17	0,536 17	36,43
	I		0	35.68 7	0,536 17	0,536 17	85,3 7		0	47.23 3	0,536 17	0,536 17	64,5 1		0	54.59 8	0,536 17	0,536 17	55,80
S	S		0	0	0,804 25	0,804 25	-		0	0	0,804 25	0,804 25	-		0	0	0,804 25	0,804 25	-
	I		- 31.34 0	1.007. 239	2,010 62	2,010 62	3,62		- 43.97 3	1.250. 265	2,010 62	2,010 62	4,09		- 60.41 2	1.516. 004	2,010 62	2,010 62	4,77
P	S	00359	0	0	0,536 17	0,536 17	-	00360	0	0	0,536 17	0,536 17	-	00361	0	0	0,536 17	0,536 17	-
	I		63.65 5	152.4 21	0,536 17	0,536 17	19,6 9		77.46 0	531.2 95	0,536 17	0,536 17	5,63		93.27 4	1.082. 712	0,536 17	0,536 17	2,75
S	S		0	0	0,804 25	0,804 25	-		0	0	0,804 25	0,804 25	-		0	0	0,804 25	0,804 25	-
	I		- 79.96 5	1.788. 944	2,010 62	2,010 62	5,75		- 103.2 37	2.038. 319	2,010 62	2,010 62	7,08		- 128.9 31	2.220. 829	2,010 62	2,010 62	8,54
P	S	00362	0	0	0,536 17	0,536 17	-	00363	0	0	0,536 17	0,536 17	-	00364	0	0	0,536 17	0,536 17	-
	I		105.7 33	1.797. 658	0,536 17	0,536 17	1,65		100.2 08	2.581. 815	4,557 41	4,557 41	2,13		65.77 3	3.202. 091	4,557 41	4,557 41	2,45
S	S		0	0	0,804 25	0,804 25	-		0	0	0,804 25	0,804 25	-		0	0	0,804 25	0,804 25	-
	I		- 147.9 32	2.295. 262	2,010 62	2,010 62	9,34		- 143.5 23	2.254. 851	10,05 310	10,05 310	2,20		- 107.8 12	2.162. 709	10,05 310	10,05 310	2,16
P	S	00365	0	0	0,536 17	0,536 17	-	00366	0	0	0,536 17	0,536 17	-	00367	0	0	0,536 17	0,536 17	-
	I		11.82 2	3.304. 440	4,557 41	4,557 41	2,53		- 38.38 9	2.799. 387	4,557 41	4,557 41	2,27		- 65.32 6	2.018. 903	4,557 41	4,557 41	1,95
S	S		0	0	0,804 25	0,804 25	-		0	0	0,804 25	0,804 25	-		0	0	0,804 25	0,804 25	-
	I		- 51.52 0	2.142. 072	10,05 310	10,05 310	2,13		4.973	2.225. 502	10,05 310	10,05 310	2,15		41.76 4	2.294. 961	10,05 310	10,05 310	2,17
P	S	00368	0	0	0,536 17	0,536 17	-	00369	0	0	0,536 17	0,536 17	-	00370	0	0	0,536 17	0,536 17	-
	I		- 68.82 9	1.258. 461	0,536 17	0,536 17	2,46		- 61.60 2	651.8 82	0,536 17	0,536 17	4,74		- 51.92 8	226.0 33	0,536 17	0,536 17	13,65
S	S		0	0	0,804 25	0,804 25	-		0	0	0,804 25	0,804 25	-		0	0	0,804 25	0,804 25	-
	I		53.24 3	2.258. 013	2,010 62	2,010 62	8,55		50.16 4	2.102. 413	2,010 62	2,010 62	7,30		43.31 2	1.864. 401	2,010 62	2,010 62	5,96
P	S	00371	- 43.09 3	42.58 1	0,536 17	0,536 17	72,2 8	00372	- 36.15 5	196.4 67	0,536 17	0,536 17	15,6 4	00373	- 31.40 6	281.5 89	0,536 17	0,536 17	10,90
	I		0	55.90 9	0,536 17	0,536 17	54,5 0		0	49.08 5	0,536 17	0,536 17	62,0 7		0	38.82 4	0,536 17	0,536 17	78,48
S	S		0	0	0,804 25	0,804 25	-		0	0	0,804 25	0,804 25	-		0	0	0,804 25	0,804 25	-



Platee - Verifiche pressoflessione retta allo SLU

Dir	Pos	Nodo	N _{Ed} [N]	M _{Ed} [N-m]	A _s [cm ² /cm]	A _{dr} [cm ² /cm]	CS	Nodo	N _{Ed} [N]	M _{Ed} [N-m]	A _s [cm ² /cm]	A _{dr} [cm ² /cm]	CS	Nodo	N _{Ed} [N]	M _{Ed} [N-m]	A _s [cm ² /cm]	A _{dr} [cm ² /cm]	CS
	I		37.05 3	1.590. 661	2,010 62	2,010 62	4,92		32.21 9	1.317. 482	2,010 62	2,010 62	4,19		28.31 8	1.064. 926	2,010 62	2,010 62	3,69
P	S	00374	- 29.13 7	346.3 81	0,536 17	0,536 17	8,86	00375	- 25.95 7	425.9 53	0,536 17	0,536 17	7,20	00376	5.369	251.7 27	0,536 17	0,536 17	12,09
	I		0	20.43 2	0,536 17	0,536 17	NS		0	0	0,536 17	0,536 17	-		0	2.843	0,536 17	0,536 17	NS
S	S		0	0	0,804 25	0,804 25	-		0	0	0,804 25	0,804 25	-		0	0	0,804 25	0,804 25	-
	I		24.60 5	849.6 27	2,010 62	2,010 62	3,34		23.64 4	711.6 79	2,010 62	2,010 62	3,16		8.521	587.9 88	2,010 62	2,010 62	3,01
P	S	00377	2.124	213.7 33	0,536 17	0,536 17	14,2 5	00378	19.26 5	295.8 16	0,536 17	0,536 17	10,2 5	00379	27.50 7	370.4 46	0,536 17	0,536 17	8,17
	I		0	4.421	0,536 17	0,536 17	NS		0	1.429	0,536 17	0,536 17	NS		0	6.885	0,536 17	0,536 17	NS
S	S		0	0	0,804 25	0,804 25	-		0	0	0,804 25	0,804 25	-		0	0	0,804 25	0,804 25	-
	I		-8.277	560.4 10	2,010 62	2,010 62	2,98		- 41.78 0	668.3 47	2,010 62	2,010 62	3,13		- 46.71 6	817.0 13	2,010 62	2,010 62	3,33
P	S	00380	26.29 8	357.9 40	0,536 17	0,536 17	8,46	00381	34.20 6	319.7 96	0,536 17	0,536 17	9,45	00382	44.77 2	244.2 72	0,536 17	0,536 17	12,34
	I		0	27.46 9	0,536 17	0,536 17	NS		0	42.96 1	0,536 17	0,536 17	70,9 2		0	53.19 0	0,536 17	0,536 17	57,28
S	S		0	0	0,804 25	0,804 25	-		0	0	0,804 25	0,804 25	-		0	0	0,804 25	0,804 25	-
	I		- 33.23 2	996.8 93	2,010 62	2,010 62	3,60		- 38.16 2	1.243. 495	2,010 62	2,010 62	4,07		- 51.83 6	1.558. 156	2,010 62	2,010 62	4,89
P	S	00383	57.47 6	92.12 0	0,536 17	0,536 17	32,6 2	00384	0	0	0,536 17	0,536 17	-	00385	0	0	0,536 17	0,536 17	-
	I		0	60.30 7	0,536 17	0,536 17	50,5 2		73.50 3	192.6 44	0,536 17	0,536 17	15,5 4		94.72 4	678.0 74	0,536 17	0,536 17	4,39
S	S		0	0	0,804 25	0,804 25	-		0	0	0,804 25	0,804 25	-		0	0	0,804 25	0,804 25	-
	I		- 71.07 2	1.932. 891	2,010 62	2,010 62	6,43		- 97.04 7	2.347. 018	2,010 62	2,010 62	9,84		- 132.2 57	2.751. 306	2,010 62	2,010 62	20,44
P	S	00386	0	0	0,536 17	0,536 17	-	00387	0	0	0,536 17	0,536 17	-	00388	0	0	0,536 17	0,536 17	-
	I		121.8 87	1.426. 491	0,536 17	0,536 17	2,07		144.5 19	2.439. 462	4,557 41	4,557 41	2,06		125.9 37	3.542. 152	4,557 41	4,557 41	2,63
S	S		0	0	0,804 25	0,804 25	-		0	0	0,804 25	0,804 25	-		0	0	0,804 25	0,804 25	-
	I		- 175.5 36	3.063. 394	2,010 62	2,010 62	NS		- 205.7 22	3.197. 515	10,05 310	10,05 310	2,65		- 183.4 30	3.137. 802	10,05 310	10,05 310	2,61
P	S	00389	0	0	0,536 17	0,536 17	-	00390	0	0	0,536 17	0,536 17	-	00391	0	0	0,536 17	0,536 17	-
	I		48.31 9	4.231. 454	4,557 41	4,557 41	3,24		- 47.05 6	3.841. 762	4,557 41	4,557 41	2,94		- 101.6 31	2.768. 221	4,557 41	4,557 41	2,28
S	S		0	0	0,804 25	0,804 25	-		0	0	0,804 25	0,804 25	-		0	0	0,804 25	0,804 25	-
	I		- 102.2 23	3.025. 597	10,05 310	10,05 310	2,52		- 768	3.091. 928	10,05 310	10,05 310	2,52		70.14 9	3.196. 677	10,05 310	10,05 310	2,55
P	S	00392	0	0	0,536 17	0,536 17	-	00393	0	0	0,536 17	0,536 17	-	00394	0	0	0,536 17	0,536 17	-
	I		- 104.5 56	1.677. 735	0,536 17	0,536 17	1,86		- 89.05 2	837.9 69	0,536 17	0,536 17	3,71		- 71.96 0	282.1 83	0,536 17	0,536 17	10,98
S	S		0	0	0,804 25	0,804 25	-		0	0	0,804 25	0,804 25	-		0	0	0,804 25	0,804 25	-
	I		87.28 2	3.129. 024	2,010 62	2,010 62	NS		75.54 6	2.860. 207	2,010 62	2,010 62	25,6 5		60.09 4	2.467. 311	2,010 62	2,010 62	11,13
P	S	00395	- 57.19 2	47.82 0	0,536 17	0,536 17	64,5 8	00396	- 45.31 2	225.3 92	0,536 17	0,536 17	13,6 6	00397	- 35.94 8	312.9 66	0,536 17	0,536 17	9,82
	I		0	61.60 2	0,536 17	0,536 17	49,4 6		0	54.95 0	0,536 17	0,536 17	55,4 5		0	45.61 1	0,536 17	0,536 17	66,80
S	S		0	0	0,804 25	0,804 25	-		0	0	0,804 25	0,804 25	-		0	0	0,804 25	0,804 25	-
	I		47.53 0	2.043. 222	2,010 62	2,010 62	6,91		38.18 2	1.649. 808	2,010 62	2,010 62	5,11		31.09 0	1.315. 256	2,010 62	2,010 62	4,19



Platee - Verifiche pressoflessione retta allo SLU

Dir	Pos	Nodo	N _{Ed} [N]	M _{Ed} [N-m]	A _s [cm ² /cm]	A _{dr} [cm ² /cm]	CS	Nodo	N _{Ed} [N]	M _{Ed} [N-m]	A _s [cm ² /cm]	A _{dr} [cm ² /cm]	CS	Nodo	N _{Ed} [N]	M _{Ed} [N-m]	A _s [cm ² /cm]	A _{dr} [cm ² /cm]	CS
P	S	00398	- 28.08 4	355.0 43	0,536 17	0,536 17	8,64	00399	- 19.15 4	371.6 56	0,536 17	0,536 17	8,24	00400	-8.702	322.9 29	0,536 17	0,536 17	9,45
	I		0	31.50 5	0,536 17	0,536 17	96,7 1		0	11.82 6	0,536 17	0,536 17	NS		0	189	0,536 17	0,536 17	NS
S	S		0	0	0,804 25	0,804 25	-		0	0	0,804 25	0,804 25	-		0	0	0,804 25	0,804 25	-
	I		25.00 2	1.048. 906	2,010 62	2,010 62	3,66		18.56 6	850.1 91	2,010 62	2,010 62	3,35		16.89 6	697.7 04	2,010 62	2,010 62	3,14
P	S	00401	370	223.9 00	0,536 17	0,536 17	13,6 1	00402	4.438	171.9 47	0,536 17	0,536 17	17,7 0	00403	9.439	248.4 68	0,536 17	0,536 17	12,23
	I		0	4.334	0,536 17	0,536 17	NS		0	4.827	0,536 17	0,536 17	NS		0	6.094	0,536 17	0,536 17	NS
S	S		0	0	0,804 25	0,804 25	-		0	0	0,804 25	0,804 25	-		0	0	0,804 25	0,804 25	-
	I		15.31 6	575.4 32	2,010 62	2,010 62	2,99		7.761	518.9 96	2,010 62	2,010 62	2,93		- 11.51 7	599.1 82	2,010 62	2,010 62	3,03
P	S	00404	23.90 1	319.7 28	0,536 17	0,536 17	9,48	00405	25.11 2	355.4 85	0,536 17	0,536 17	8,52	00406	29.21 6	358.5 88	0,536 17	0,536 17	8,44
	I		0	9.484	0,536 17	0,536 17	NS		0	22.71 1	0,536 17	0,536 17	NS		0	37.75 3	0,536 17	0,536 17	80,70
S	S		0	0	0,804 25	0,804 25	-		0	0	0,804 25	0,804 25	-		0	0	0,804 25	0,804 25	-
	I		- 29.78 7	740.1 29	2,010 62	2,010 62	3,22		- 31.53 8	913.4 49	2,010 62	2,010 62	3,47		- 33.61 0	1.144. 893	2,010 62	2,010 62	3,87
P	S	00407	37.72 0	336.8 18	0,536 17	0,536 17	8,96	00408	49.74 1	269.7 97	0,536 17	0,536 17	11,1 6	00409	65.91 1	112.8 13	0,536 17	0,536 17	26,58
	I		0	49.85 1	0,536 17	0,536 17	61,1 2		0	58.69 8	0,536 17	0,536 17	51,9 1		0	65.13 7	0,536 17	0,536 17	46,77
S	S		0	0	0,804 25	0,804 25	-		0	0	0,804 25	0,804 25	-		0	0	0,804 25	0,804 25	-
	I		- 42.85 0	1.458. 087	2,010 62	2,010 62	4,59		- 58.95 4	1.872. 159	2,010 62	2,010 62	6,10		- 82.95 8	2.401. 054	2,010 62	2,010 62	10,52
P	S	00410	0	0	0,536 17	0,536 17	-	00411	0	0	0,536 17	0,536 17	-	00412	0	0	0,536 17	0,536 17	-
	I		88.34 0	212.9 20	0,536 17	0,536 17	14,0 1		121.2 05	828.3 64	0,536 17	0,536 17	3,57		170.6 21	1.871. 459	0,536 17	0,536 17	1,56
S	S		0	0	0,804 25	0,804 25	-		0	0	0,804 25	0,804 25	-		0	0	0,804 25	0,804 25	-
	I		- 118.9 71	3.036. 531	2,010 62	2,010 62	79,5 1		- 174.7 15	3.709. 457	2,010 62	2,010 62	13,4 3		- 255.2 58	4.259. 334	2,010 62	2,010 62	6,89
P	S	00413	0	0	0,536 17	0,536 17	-	00414	0	0	0,536 17	0,536 17	-	00415	0	0	0,536 17	0,536 17	-
	I		217.9 34	3.386. 042	4,557 41	4,557 41	2,50		156.5 53	5.163. 146	4,557 41	4,557 41	4,41		- 33.21 3	5.510. 829	4,557 41	4,557 41	5,51
S	S		0	0	0,804 25	0,804 25	-		0	0	0,804 25	0,804 25	-		0	0	0,804 25	0,804 25	-
	I		- 307.6 60	4.490. 047	10,05 310	10,05 310	3,71		- 229.5 41	4.515. 074	10,05 310	10,05 310	3,68		- 35.74 0	4.472. 083	10,05 310	10,05 310	3,50
P	S	00416	0	0	0,536 17	0,536 17	-	00417	0	0	0,536 17	0,536 17	-	00418	0	0	0,536 17	0,536 17	-
	I		- 167.7 87	3.920. 262	4,557 41	4,557 41	3,08		- 165.0 56	2.249. 330	4,557 41	4,557 41	2,07		- 129.8 56	1.041. 893	0,536 17	0,536 17	3,01
S	S		0	0	0,804 25	0,804 25	-		0	0	0,804 25	0,804 25	-		0	0	0,804 25	0,804 25	-
	I		124.2 24	4.478. 772	10,05 310	10,05 310	3,40		153.1 32	4.379. 519	10,05 310	10,05 310	3,29		117.0 76	3.902. 359	2,010 62	2,010 62	10,36
P	S	00419	0	0	0,536 17	0,536 17	-	00420	- 75.02 9	70.41 3	0,536 17	0,536 17	44,0 4	00421	- 56.59 5	256.0 81	0,536 17	0,536 17	12,06
	I		- 99.06 4	315.8 26	0,536 17	0,536 17	9,87		0	66.31 1	0,536 17	0,536 17	45,9 5		0	60.28 9	0,536 17	0,536 17	50,54
S	S		0	0	0,804 25	0,804 25	-		0	0	0,804 25	0,804 25	-		0	0	0,804 25	0,804 25	-
	I		83.99 1	3.232. 748	2,010 62	2,010 62	NS		61.21 9	2.563. 765	2,010 62	2,010 62	12,9 4		45.71 9	1.995. 118	2,010 62	2,010 62	6,63
P	S	00422	-	335.2	0,536	0,536	9,18	00423	-	361.6	0,536	0,536	8,49	00424	-	361.3	0,536	0,536	8,47



Platee - Verifiche pressoflessione retta allo SLU

Dir	Pos	Nodo	N _{Ed} [N]	M _{Ed} [N-m]	A _s [cm ² /cm]	A _{dr} [cm ² /cm]	CS	Nodo	N _{Ed} [N]	M _{Ed} [N-m]	A _s [cm ² /cm]	A _{dr} [cm ² /cm]	CS	Nodo	N _{Ed} [N]	M _{Ed} [N-m]	A _s [cm ² /cm]	A _{dr} [cm ² /cm]	CS
	I		42.50 7 0	32	17	17	58,5 1		31.35 0 0	22	17	17	74,7 5		21.63 0 0	70	17	17	NS
S	S		0	52.07 5	0,536 17	0,536 17	-		0	40.75 9	0,536 17	0,536 17	-		0	26.24 5	0,536 17	0,536 17	-
	I		34.82 4	1.547. 503	2,010 62	2,010 62	4,79		26.63 0	1.208. 436	2,010 62	2,010 62	3,96		20.05 1	958.1 50	2,010 62	2,010 62	3,51
P	S	00425	- 13.01 0	334.7 58	0,536 17	0,536 17	9,13	00426	-5.278	264.2 08	0,536 17	0,536 17	11,5 5	00427	-1.106	194.8 02	0,536 17	0,536 17	15,64
	I		0	11.64 7	0,536 17	0,536 17	NS		0	6.420	0,536 17	0,536 17	NS		0	4.683	0,536 17	0,536 17	NS
S	S		0	0	0,804 25	0,804 25	-		0	0	0,804 25	0,804 25	-		0	0	0,804 25	0,804 25	-
	I		16.21 0	773.1 03	2,010 62	2,010 62	3,24		14.94 0	616.7 24	2,010 62	2,010 62	3,04		14.65 5	530.4 08	2,010 62	2,010 62	2,94
P	S	00428	3.159	196.1 45	0,536 17	0,536 17	15,5 2	00429	14.38 6	257.1 32	0,536 17	0,536 17	11,8 1	00430	22.16 8	302.5 60	0,536 17	0,536 17	10,02
	I		0	4.422	0,536 17	0,536 17	NS		0	9.801	0,536 17	0,536 17	NS		0	20.28 4	0,536 17	0,536 17	NS
S	S		0	0	0,804 25	0,804 25	-		0	0	0,804 25	0,804 25	-		0	0	0,804 25	0,804 25	-
	I		8.564	505.7 69	2,010 62	2,010 62	2,92		-8.002	619.5 18	2,010 62	2,010 62	3,05		- 20.61 3	765.8 02	2,010 62	2,010 62	3,25
P	S	00431	25.81 7	328.9 61	0,536 17	0,536 17	9,21	00432	31.47 7	340.8 57	0,536 17	0,536 17	8,87	00433	41.29 3	333.2 97	0,536 17	0,536 17	9,05
	I		0	33.78 6	0,536 17	0,536 17	90,1 8		0	46.23 5	0,536 17	0,536 17	65,9 0		0	56.14 6	0,536 17	0,536 17	54,27
S	S		0	0	0,804 25	0,804 25	-		0	0	0,804 25	0,804 25	-		0	0	0,804 25	0,804 25	-
	I		- 27.05 0	963.0 59	2,010 62	2,010 62	3,54		- 33.72 8	1.234. 446	2,010 62	2,010 62	4,05		- 45.46 1	1.610. 615	2,010 62	2,010 62	5,05
P	S	00434	56.17 3	285.0 46	0,536 17	0,536 17	10,5 5	00435	77.99 6	147.2 22	0,536 17	0,536 17	20,3 1	00436	0	0	0,536 17	0,536 17	-
	I		0	63.59 9	0,536 17	0,536 17	47,9 1		0	69.11 7	0,536 17	0,536 17	44,0 8		110.3 58	188.4 77	0,536 17	0,536 17	15,74
S	S		0	0	0,804 25	0,804 25	-		0	0	0,804 25	0,804 25	-		0	0	0,804 25	0,804 25	-
	I		- 64.59 5	2.133. 284	2,010 62	2,010 62	7,69		- 95.04 4	2.858. 121	2,010 62	2,010 62	27,8 2		- 145.5 22	3.834. 764	2,010 62	2,010 62	11,09
P	S	00437	0	0	0,536 17	0,536 17	-	00438	0	0	0,536 17	0,536 17	-	00439	0	0	0,536 17	0,536 17	-
	I		161.6 87	944.6 42	0,536 17	0,536 17	3,10		258.6 06	2.456. 673	4,557 41	4,557 41	2,03		381.8 03	5.258. 452	4,557 41	4,557 41	4,31
S	S		0	0	0,804 25	0,804 25	-		0	0	0,804 25	0,804 25	-		0	0	0,804 25	0,804 25	-
	I		- 236.8 65	5.110. 590	2,010 62	2,010 62	3,95		- 408.8 93	6.139. 744	10,05 310	10,05 310	7,44		- 515.1 76	6.659. 131	10,05 310	10,05 310	11,40
P	S	00440	0	0	0,536 17	0,536 17	-	00441	0	0	0,536 17	0,536 17	-	00442	0	0	0,536 17	0,536 17	-
	I		133.9 62	7.283. 226	4,557 41	4,557 41	43,3 2		- 314.1 21	6.203. 148	4,557 41	4,557 41	10,2 1		- 276.9 54	3.065. 579	4,557 41	4,557 41	2,51
S	S		0	0	0,804 25	0,804 25	-		0	0	0,804 25	0,804 25	-		0	0	0,804 25	0,804 25	-
	I		- 226.9 52	6.568. 571	10,05 310	10,05 310	9,05		242.8 91	6.733. 150	10,05 310	10,05 310	8,12		296.4 86	6.390. 408	10,05 310	10,05 310	6,53
P	S	00443	0	0	0,536 17	0,536 17	-	00444	0	0	0,536 17	0,536 17	-	00445	- 97.92 6	119.5 42	0,536 17	0,536 17	26,08
	I		- 193.9 53	1.229. 918	0,536 17	0,536 17	2,59		- 137.4 36	291.0 28	0,536 17	0,536 17	10,8 1		0	70.12 4	0,536 17	0,536 17	43,45
S	S		0	0	0,804 25	0,804 25	-		0	0	0,804 25	0,804 25	-		0	0	0,804 25	0,804 25	-
	I		187.8 30	5.491. 800	2,010 62	2,010 62	3,28		117.6 12	4.163. 170	2,010 62	2,010 62	7,66		77.99 8	3.090. 289	2,010 62	2,010 62	NS
P	S	00446	- 69.82	282.3 00	0,536 17	0,536 17	10,9 7	00447	- 49.87	338.2 06	0,536 17	0,536 17	9,12	00448	- 35.43	347.7 34	0,536 17	0,536 17	8,84



Platee - Verifiche pressoflessione retta allo SLU

Dir	Pos	Nodo	N _{Ed} [N]	M _{Ed} [N-m]	A _s [cm ² /cm]	A _{dr} [cm ² /cm]	CS	Nodo	N _{Ed} [N]	M _{Ed} [N-m]	A _s [cm ² /cm]	A _{dr} [cm ² /cm]	CS	Nodo	N _{Ed} [N]	M _{Ed} [N-m]	A _s [cm ² /cm]	A _{dr} [cm ² /cm]	CS
	I		6 0	64.96 8	0,536 17	0,536 17	46,9 0		6 0	58.00 0	0,536 17	0,536 17	52,5 3		5 0	48.68 3	0,536 17	0,536 17	62,58
S	S		0	0	0,804 25	0,804 25	-		0	0	0,804 25	0,804 25	-		0	0	0,804 25	0,804 25	-
	I		53.97 2	2.287. 785	2,010 62	2,010 62	8,85		38.54 6	1.714. 265	2,010 62	2,010 62	5,34		28.11 6	1.305. 173	2,010 62	2,010 62	4,17
P	S	00449	- 24.46 6	336.2 54	0,536 17	0,536 17	9,11	00450	- 15.77 0	311.6 82	0,536 17	0,536 17	9,81	00451	-8.992	269.1 93	0,536 17	0,536 17	11,34
	I		0	36.77 2	0,536 17	0,536 17	82,8 6		0	23.24 7	0,536 17	0,536 17	NS		0	11.72 2	0,536 17	0,536 17	NS
S	S		0	0	0,804 25	0,804 25	-		0	0	0,804 25	0,804 25	-		0	0	0,804 25	0,804 25	-
	I		20.74 3	1.011. 729	2,010 62	2,010 62	3,60		15.80 5	799.9 81	2,010 62	2,010 62	3,28		13.20 1	644.6 08	2,010 62	2,010 62	3,08
P	S	00452	-3.509 0	211.7 22	0,536 17	0,536 17	14,4 0	00453	-214 0	162.3 44	0,536 17	0,536 17	18,7 7	00454	-6.699	124.4 04	0,536 17	0,536 17	24,53
	I		0	5.267	0,536 17	0,536 17	NS		0	3.475	0,536 17	0,536 17	NS		0	1.414	0,536 17	0,536 17	NS
S	S		0	0	0,804 25	0,804 25	-		0	0	0,804 25	0,804 25	-		0	0	0,804 25	0,804 25	-
	I		12.27 9	528.5 28	2,010 62	2,010 62	2,94		13.61 3	447.8 04	2,010 62	2,010 62	2,85		26.00 1	387.9 37	2,010 62	2,010 62	2,79
P	S	00455	3.723 0	195.3 83	0,536 17	0,536 17	15,5 8	00456	16.56 9	225.5 58	0,536 17	0,536 17	13,4 5	00457	21.16 5	250.7 94	0,536 17	0,536 17	12,09
	I		0	3.835	0,536 17	0,536 17	NS		0	16.73 0	0,536 17	0,536 17	NS		0	30.42 1	0,536 17	0,536 17	NS
S	S		0	0	0,804 25	0,804 25	-		0	0	0,804 25	0,804 25	-		0	0	0,804 25	0,804 25	-
	I		15.85 3	473.7 78	2,010 62	2,010 62	2,88		-5.644	583.9 98	2,010 62	2,010 62	3,01		- 17.29 4	733.4 98	2,010 62	2,010 62	3,20
P	S	00458	24.82 8	271.0 08	0,536 17	0,536 17	11,1 8	00459	31.71 2	285.3 30	0,536 17	0,536 17	10,6 0	00460	43.82 2	287.8 31	0,536 17	0,536 17	10,48
	I		0	42.98 0	0,536 17	0,536 17	70,8 9		0	53.34 8	0,536 17	0,536 17	57,1 1		0	61.48 0	0,536 17	0,536 17	49,56
S	S		0	0	0,804 25	0,804 25	-		0	0	0,804 25	0,804 25	-		0	0	0,804 25	0,804 25	-
	I		- 23.57 2	938.5 36	2,010 62	2,010 62	3,50		- 31.34 3	1.224. 016	2,010 62	2,010 62	4,03		- 44.34 4	1.630. 660	2,010 62	2,010 62	5,12
P	S	00461	63.59 9	263.4 72	0,536 17	0,536 17	11,3 9	00462	95.39 3	173.8 11	0,536 17	0,536 17	17,1 3	00463	0	0	4,557 41	4,557 41	-
	I		0	67.66 4	0,536 17	0,536 17	45,0 3		0	72.26 6	0,536 17	0,536 17	42,1 6		146.0 27	100.5 03	0,536 17	0,536 17	1,37
S	S		0	0	0,804 25	0,804 25	-		0	0	0,804 25	0,804 25	-		0	0	8,846 73	8,846 73	-
	I		- 66.24 2	2.226. 652	2,010 62	2,010 62	8,48		- 104.0 13	3.134. 166	2,010 62	2,010 62	NS		- 173.6 64	4.641. 065	2,010 62	2,010 62	1,56
P	S	00464	0	0	4,557 41	4,557 41	-	00465	0	0	4,557 41	4,557 41	-	00466	0	0	4,557 41	4,557 41	-
	I		227.4 92	922.8 99	0,536 17	0,536 17	1,23		422.7 86	3.646. 180	4,557 41	4,557 41	7,01		885.2 02	8.107. 582	4,557 41	4,557 41	3,11
S	S		0	0	8,846 73	8,846 73	-		0	0	8,846 73	8,846 73	-		0	0	8,972 39	8,972 39	-
	I		- 323.3 41	6.584. 682	2,010 62	2,010 62	1,36		- 749.9 82	9.038. 037	10,05 310	10,05 310	8,98		- 1.087. 783	10.02 3.801	10,05 310	10,05 310	7,44
P	S	00467	0	0	4,557 41	4,557 41	-	00468	0	0	4,557 41	4,557 41	-	00469	0	0	4,557 41	4,557 41	-
	I		- 571.0 03	9.887. 820	4,557 41	4,557 41	2,66		- 522.7 24	4.890. 835	4,557 41	4,557 41	5,37		- 309.2 70	1.284. 683	4,557 41	4,557 41	20,30
S	S		0	0	8,846 73	8,846 73	-		0	0	8,846 73	8,846 73	-		0	0	8,846 73	8,846 73	-
	I		436.0 48	10.17 7.591	10,05 310	10,05 310	7,61		682.5 62	9.746. 189	10,05 310	10,05 310	8,12		315.5 41	7.448. 906	10,05 310	10,05 310	12,48
P	S	00470	0	0	4,557 41	4,557 41	-	00471	- 127.2 23	179.7 51	0,536 17	0,536 17	17,4 6	00472	- 83.45 8	274.6 04	0,536 17	0,536 17	11,31
	I		0	76.19 6	0,536 17	0,536 17	1,40		0	73.10 8	0,536 17	0,536 17	41,6 7		0	68.81 3	0,536 17	0,536 17	44,28
S	S		0	0	8,846	8,846	-		0	0	0,804	0,804	-		0	0	0,804	0,804	-



Platee - Verifiche pressoflessione retta allo SLU

Dir	Pos	Nodo	N _{Ed} [N]	M _{Ed} [N-m]	A _s [cm ² /cm]	A _{dr} [cm ² /cm]	CS	Nodo	N _{Ed} [N]	M _{Ed} [N-m]	A _s [cm ² /cm]	A _{dr} [cm ² /cm]	CS	Nodo	N _{Ed} [N]	M _{Ed} [N-m]	A _s [cm ² /cm]	A _{dr} [cm ² /cm]	CS
	I		161.9 28	5.191. 460	2,010 62	2,010 62	1,46		95.08 0	3.423. 189	2,010 62	2,010 62	29,3 0		60.02 4	2.390. 709	2,010 62	2,010 62	10,02
P	S	00473	- 55.76 4	297.7 49	0,536 17	0,536 17	10,3 7	00474	- 37.78 1	293.5 08	0,536 17	0,536 17	10,4 7	00475	- 25.57 1	277.8 61	0,536 17	0,536 17	11,03
	I		0 0	63.01 7	0,536 17	0,536 17	48,3 5		0 0	55.35 8	0,536 17	0,536 17	55,0 4		0 0	45.51 1	0,536 17	0,536 17	66,95
S	S		0 0	0 0	0,804 25	0,804 25	-		0 0	0 0	0,804 25	0,804 25	-		0 0	0 0	0,804 25	0,804 25	-
	I		39.86 7	1.732. 490	2,010 62	2,010 62	5,41		27.52 2	1.290. 775	2,010 62	2,010 62	4,14		19.57 7	983.8 77	2,010 62	2,010 62	3,55
P	S	00476	- 16.88 7	256.8 62	0,536 17	0,536 17	11,9 1	00477	- 10.54 8	231.6 29	0,536 17	0,536 17	13,1 9	00478	-5.485	202.1 33	0,536 17	0,536 17	15,09
	I		0 0	33.40 9	0,536 17	0,536 17	91,2 0		0 0	19.80 3	0,536 17	0,536 17	NS		0 0	6.548	0,536 17	0,536 17	NS
S	S		0 0	0 0	0,804 25	0,804 25	-		0 0	0 0	0,804 25	0,804 25	-		0 0	0 0	0,804 25	0,804 25	-
	I		14.41 9	765.0 17	2,010 62	2,010 62	3,23		11.18 3	605.7 26	2,010 62	2,010 62	3,03		8.896	489.0 39	2,010 62	2,010 62	2,90
P	S	00479	-1.528	154.0 59	0,536 17	0,536 17	19,7 8	00480	-1.861	83.96 5	0,536 17	0,536 17	36,3 0	00481	- 17.65 6	147.8 94	0,536 17	0,536 17	20,69
	I		0 0	325	0,536 17	0,536 17	NS		0 0	0 0	0,536 17	0,536 17	-		0 0	0 0	0,536 17	0,536 17	-
S	S		0 0	0 0	0,804 25	0,804 25	-		0 0	0 0	0,804 25	0,804 25	-		0 0	0 0	0,804 25	0,804 25	-
	I		7.948	400.3 14	2,010 62	2,010 62	2,80		25.51 4	251.1 31	2,010 62	2,010 62	2,65		58.76 6	317.3 49	2,010 62	2,010 62	2,71
P	S	00482	14.63 3	148.6 96	0,536 17	0,536 17	20,4 2	00483	15.09 3	151.2 15	0,536 17	0,536 17	20,0 8	00484	16.49 7	160.1 16	0,536 17	0,536 17	18,95
	I		0 0	8.689	0,536 17	0,536 17	NS		0 0	26.32 2	0,536 17	0,536 17	NS		0 0	39.67 7	0,536 17	0,536 17	76,79
S	S		0 0	0 0	0,804 25	0,804 25	-		0 0	0 0	0,804 25	0,804 25	-		0 0	0 0	0,804 25	0,804 25	-
	I		8.622	388.0 27	2,010 62	2,010 62	2,79		-7.380	492.8 83	2,010 62	2,010 62	2,91		- 12.67 1	628.2 20	2,010 62	2,010 62	3,07
P	S	00485	20.38 4	167.7 18	0,536 17	0,536 17	18,0 8	00486	28.23 8	170.8 77	0,536 17	0,536 17	17,7 1	00487	42.55 7	166.5 02	0,536 17	0,536 17	18,11
	I		0 0	50.34 9	0,536 17	0,536 17	60,5 1		0 0	58.93 2	0,536 17	0,536 17	51,7 0		0 0	65.67 4	0,536 17	0,536 17	46,39
S	S		0 0	0 0	0,804 25	0,804 25	-		0 0	0 0	0,804 25	0,804 25	-		0 0	0 0	0,804 25	0,804 25	-
	I		- 17.09 4	806.2 94	2,010 62	2,010 62	3,30		- 23.86 4	1.054. 128	2,010 62	2,010 62	3,70		- 35.69 1	1.415. 335	2,010 62	2,010 62	4,47
P	S	00488	68.53 7	148.3 88	0,536 17	0,536 17	20,2 0	00489	117.6 36	100.7 97	0,536 17	0,536 17	29,3 8	00490	0 0	0 0	4,557 41	4,557 41	-
	I		0 0	70.82 7	0,536 17	0,536 17	43,0 2		0 0	74.65 0	0,536 17	0,536 17	40,8 1		213.8 98	26.69 7	0,536 17	0,536 17	1,38
S	S		0 0	0 0	0,804 25	0,804 25	-		0 0	0 0	0,804 25	0,804 25	-		0 0	0 0	8,846 73	8,846 73	-
	I		- 56.95 8	1.967. 262	2,010 62	2,010 62	6,60		- 97.89 8	2.870. 854	2,010 62	2,010 62	29,1 9		- 186.7 85	4.948. 042	2,010 62	2,010 62	1,52
P	S	00491	0 0	0 0	4,557 41	4,557 41	-	00492	0 0	0 0	4,557 41	4,557 41	-	00493	0 0	0 0	4,557 41	4,557 41	-
	I		395.3 66	665.3 43	4,557 41	4,557 41	38,4 4		963.2 31	4.274. 520	4,557 41	4,557 41	5,89		- 209.5 92	19.13 7.948	4,557 41	4,557 41	1,36
S	S		0 0	0 0	8,846 73	8,846 73	-		0 0	0 0	8,846 73	8,846 73	-		0 0	0 0	8,846 73	8,846 73	-
	I		- 431.1 80	8.138. 244	10,05 310	10,05 310	10,6 3		- 1.895. 164	14.21 3.263	10,05 310	10,05 310	4,79		- 2.819. 196	15.23 1.131	10,05 310	10,05 310	4,37
P	S	00494	0 0	0 0	4,557 41	4,557 41	-	00495	0 0	0 0	4,557 41	4,557 41	-	00496	- 292.4 42	64.65 6	4,557 41	4,557 41	1,46
	I		- 2.154. 472	8.733. 627	4,557 41	4,557 41	3,13		- 591.1 34	1.049. 014	4,557 41	4,557 41	25,0 6		0 0	77.85 6	0,536 17	0,536 17	1,40
S	S		0 0	0 0	8,846 73	8,846 73	-		0 0	0 0	8,846 73	8,846 73	-		0 0	0 0	8,846 73	8,846 73	-



Platee - Verifiche pressoflessione retta allo SLU

Dir	Pos	Nodo	N _{Ed} [N]	M _{Ed} [N-m]	A _s [cm ² /cm]	A _{dr} [cm ² /cm]	CS	Nodo	N _{Ed} [N]	M _{Ed} [N-m]	A _s [cm ² /cm]	A _{dr} [cm ² /cm]	CS	Nodo	N _{Ed} [N]	M _{Ed} [N-m]	A _s [cm ² /cm]	A _{dr} [cm ² /cm]	CS
	I		2.995.158	16.800.192	10,05310	10,05310	3,84		527.827	9.595.840	10,05310	10,05310	8,31		192.751	5.697.152	2,01062	2,01062	1,41
P	S	00497	-157.560	135.405	0,53617	0,53617	23,34	00498	-90.162	164.396	0,53617	0,53617	18,93	00499	-54.692	173.818	0,53617	0,53617	17,76
	I		0	75.348	0,53617	0,53617	40,44		0	71.791	0,53617	0,53617	42,44		0	66.960	0,53617	0,53617	45,50
S	S		0	0	0,80425	0,80425	-		0	0	0,80425	0,80425	-		0	0	0,80425	0,80425	-
	I		96.931	3.088.856	2,01062	2,01062	NS		54.990	2.079.655	2,01062	2,01062	7,14		33.738	1.482.617	2,01062	2,01062	4,61
P	S	00500	-34.688	175.062	0,53617	0,53617	17,55	00501	-22.581	170.581	0,53617	0,53617	17,96	00502	-14.773	162.327	0,53617	0,53617	18,84
	I		0	60.601	0,53617	0,53617	50,28		0	52.457	0,53617	0,53617	58,08		0	42.285	0,53617	0,53617	72,05
S	S		0	0	0,80425	0,80425	-		0	0	0,80425	0,80425	-		0	0	0,80425	0,80425	-
	I		21.929	1.097.591	2,01062	2,01062	3,75		14.927	835.790	2,01062	2,01062	3,33		10.645	649.478	2,01062	2,01062	3,08
P	S	00503	-9.544	152.584	0,53617	0,53617	20,01	00504	-6.000	146.545	0,53617	0,53617	20,82	00505	-1.833	156.164	0,53617	0,53617	19,52
	I		0	29.633	0,53617	0,53617	NS		0	13.061	0,53617	0,53617	NS		0	0	0,53617	0,53617	-
S	S		0	0	0,80425	0,80425	-		0	0	0,80425	0,80425	-		0	0	0,80425	0,80425	-
	I		8.066	509.598	2,01062	2,01062	2,92		6.241	399.846	2,01062	2,01062	2,80		2.362	323.975	2,01062	2,01062	2,73
P	S	00506	-399	94.801	0,53617	0,53617	32,14	00507	349	67.127	0,53617	0,53617	45,38	00508	-11.945	95.048	0,53617	0,53617	32,15
	I		0	0	0,53617	0,53617	-		0	0	0,53617	0,53617	-		0	0	0,53617	0,53617	-
S	S		0	0	0,80425	0,80425	-		0	0	0,80425	0,80425	-		0	0	0,80425	0,80425	-
	I		4.308	257.020	2,01062	2,01062	2,67		65.390	119.774	2,01062	2,01062	2,53		25.881	161.470	2,01062	2,01062	2,57
P	S	00509	5.295	55.905	0,53617	0,53617	54,43	00510	5.883	42.091	0,53617	0,53617	72,28	00511	7.642	28.994	0,53617	0,53617	NS
	I		0	19.743	0,53617	0,53617	NS		0	35.121	0,53617	0,53617	86,75		0	46.530	0,53617	0,53617	65,48
S	S		0	0	0,80425	0,80425	-		0	0	0,80425	0,80425	-		0	0	0,80425	0,80425	-
	I		-1.172	276.246	2,01062	2,01062	2,69		-2.989	350.374	2,01062	2,01062	2,76		-3.953	429.588	2,01062	2,01062	2,84
P	S	00512	11.023	9.707	0,53617	0,53617	NS	00513	0	0	0,53617	0,53617	-	00514	0	0	0,53617	0,53617	-
	I		0	55.691	0,53617	0,53617	54,71		0	63.041	0,53617	0,53617	48,33		28.731	64.736	0,53617	0,53617	46,74
S	S		0	0	0,80425	0,80425	-		0	0	0,80425	0,80425	-		0	0	0,80425	0,80425	-
	I		-5.307	528.271	2,01062	2,01062	2,95		-7.761	660.742	2,01062	2,01062	3,10		-12.077	849.384	2,01062	2,01062	3,36
P	S	00515	0	0	0,53617	0,53617	-	00516	0	0	4,55741	4,55741	-	00517	0	0	4,55741	4,55741	-
	I		52.218	129.897	0,53617	0,53617	23,16		106.198	234.274	0,53617	0,53617	1,35		251.093	408.012	0,53617	0,53617	1,31
S	S		0	0	0,80425	0,80425	-		0	0	8,84673	8,84673	-		0	0	8,84673	8,84673	-
	I		-19.203	1.136.216	2,01062	2,01062	3,84		-28.702	1.587.584	2,01062	2,01062	2,05		-25.193	2.800.699	2,01062	2,01062	1,81
P	S	00518	0	0	4,55741	4,55741	-	00519	0	0	4,55741	4,55741	-	00520	0	0	4,55741	4,55741	-
	I		695.463	384.149	4,55741	4,55741	66,01		2.431.135	1.130.736	4,55741	4,55741	21,31		-2.403.398	8.750.015	4,55741	4,55741	3,14
S	S		0	0	8,84673	8,84673	-		0	0	8,84673	8,84673	-		0	0	8,84673	8,84673	-
	I		147.547	5.283.771	10,05310	10,05310	25,18		1.030.259	21.370.024	10,05310	10,05310	2,91		2.265.314	38.698.148	10,05310	10,05310	1,47
P	S	00521	0	0	4,55741	4,55741	-	00522	0	0	4,55741	4,55741	-	00523	0	0	4,55741	4,55741	-
	I		0	80.22	4,55741	4,55741	NS		-	388.2	4,55741	4,55741	67,1		-	212.3	0,536	0,536	1,39



Platee - Verifiche pressoflessione retta allo SLU

Dir	Pos	Nodo	N _{Ed} [N]	M _{Ed} [N-m]	A _s [cm ² /cm]	A _{dr} [cm ² /cm]	CS	Nodo	N _{Ed} [N]	M _{Ed} [N-m]	A _s [cm ² /cm]	A _{dr} [cm ² /cm]	CS	Nodo	N _{Ed} [N]	M _{Ed} [N-m]	A _s [cm ² /cm]	A _{dr} [cm ² /cm]	CS
				8	41	41			301.1 23	84	41	41		7	125.6 11	79	17	17	
S	S		0	0	8,846 73	8,846 73	-		0	0	8,846 73	8,846 73	-		0	0	8,846 73	8,846 73	-
	I		- 361.3 76	6.001. 786	10,05 310	10,05 310	18,4 8		-2.737	2.684. 230	10,05 310	10,05 310	NS		23.05 0	1.491. 384	2,010 62	2,010 62	2,06
P	S	00524	0	0	0,536 17	0,536 17	-	00525	0	0	0,536 17	0,536 17	-	00526	0	0	0,536 17	0,536 17	-
	I		- 60.97 6	136.0 60	0,536 17	0,536 17	22,7 2		0	69.90 3	0,536 17	0,536 17	43,5 9		0	64.47 7	0,536 17	0,536 17	47,25
S	S		0	0	0,804 25	0,804 25	-		0	0	0,804 25	0,804 25	-		0	0	0,804 25	0,804 25	-
	I		17.20 5	1.101. 421	2,010 62	2,010 62	3,76		11.01 2	836.5 50	2,010 62	2,010 62	3,33		7.005	655.2 48	2,010 62	2,010 62	3,09
P	S	00527	- 12.15 8	4.265	0,536 17	0,536 17	NS	00528	-7.712	24.74 5	0,536 17	0,536 17	NS	00529	-4.897	38.39 2	0,536 17	0,536 17	79,45
	I		0	57.50 4	0,536 17	0,536 17	52,9 8		0	48.77 5	0,536 17	0,536 17	62,4 7		0	37.94 3	0,536 17	0,536 17	80,30
S	S		0	0	0,804 25	0,804 25	-		0	0	0,804 25	0,804 25	-		0	0	0,804 25	0,804 25	-
	I		4.616	526.4 17	2,010 62	2,010 62	2,94		3.249	429.8 48	2,010 62	2,010 62	2,84		2.555	352.5 36	2,010 62	2,010 62	2,76
P	S	00530	-3.075	50.94 0	0,536 17	0,536 17	59,8 5	00531	-1.746	74.59 2	0,536 17	0,536 17	40,8 6	00532	30	118.5 78	0,536 17	0,536 17	25,69
	I		0	23.76 5	0,536 17	0,536 17	NS		0	1.076	0,536 17	0,536 17	NS		0	0	0,536 17	0,536 17	-
S	S		0	0	0,804 25	0,804 25	-		0	0	0,804 25	0,804 25	-		0	0	0,804 25	0,804 25	-
	I		2.312	282.1 49	2,010 62	2,010 62	2,69		697	181.1 12	2,010 62	2,010 62	2,60		99	114.1 97	2,010 62	2,010 62	2,54
P	S	00533	0	1.235	0,536 17	0,536 17	NS	00534	0	28.17 7	0,536 17	0,536 17	NS	00535	0	0	0,536 17	0,536 17	-
	I		-490	37.52 3	0,536 17	0,536 17	81,2 1		0	0	0,536 17	0,536 17	-		-9.308	17.08 5	0,536 17	0,536 17	NS
S	S		0	0	0,804 25	0,804 25	-		0	0	0,804 25	0,804 25	-		0	0	0,804 25	0,804 25	-
	I		- 56.21 0	149.7 09	2,010 62	2,010 62	2,59		- 61.49 9	155.6 22	2,010 62	2,010 62	2,60		-8.134	132.2 42	2,010 62	2,010 62	2,56
P	S	00536	0	0	0,536 17	0,536 17	-	00537	0	0	0,536 17	0,536 17	-	00538	0	0	0,536 17	0,536 17	-
	I		-6.398	58.90 2	0,536 17	0,536 17	51,8 0		-5.055	95.31 5	0,536 17	0,536 17	32,0 0		-4.645	139.4 02	0,536 17	0,536 17	21,88
S	S		0	0	0,804 25	0,804 25	-		0	0	0,804 25	0,804 25	-		0	0	0,804 25	0,804 25	-
	I		2.889	134.2 73	2,010 62	2,010 62	2,56		6.436	134.4 63	2,010 62	2,010 62	2,56		9.323	119.2 00	2,010 62	2,010 62	2,54
P	S	00539	0	0	0,536 17	0,536 17	-	00540	0	0	0,536 17	0,536 17	-	00541	0	0	0,536 17	0,536 17	-
	I		-5.246	198.3 24	0,536 17	0,536 17	15,3 8		-7.508	280.4 23	0,536 17	0,536 17	10,8 8		- 13.36 4	398.1 22	0,536 17	0,536 17	7,68
S	S		0	0	0,804 25	0,804 25	-		0	0	0,804 25	0,804 25	-		33.48 2	142.1 79	0,804 25	0,804 25	2,34
	I		13.37 4	81.50 8	2,010 62	2,010 62	2,51		0	73.76 8	2,010 62	2,010 62	2,51		0	76.12 9	2,010 62	2,010 62	2,51
P	S	00542	0	0	0,536 17	0,536 17	-	00543	0	0	4,557 41	4,557 41	-	00544	0	0	4,557 41	4,557 41	-
	I		- 29.05 3	568.9 28	0,536 17	0,536 17	5,39		- 75.66 3	818.3 19	0,536 17	0,536 17	1,28		- 232.4 29	1.438. 826	4,557 41	4,557 41	18,09
S	S		59.77 8	431.6 77	0,804 25	0,804 25	2,14		116.3 99	998.3 02	8,846 73	8,846 73	2,78		258.5 23	3.165. 176	8,846 73	8,846 73	8,38
	I		0	77.87 6	2,010 62	2,010 62	2,51		0	79.14 1	2,010 62	2,010 62	2,43		0	79.99 8	10,05 310	10,05 310	17,37
P	S	00545	0	0	4,557 41	4,557 41	-	00546	- 8.552. 599	24.84 4.160	4,557 41	4,557 41	1,21	00547	0	0	4,557 41	4,557 41	-
	I		0	80.42 2	4,557 41	4,557 41	NS		0	80.48 0	4,557 41	4,557 41	NS		6.860. 113	4.745. 598	4,557 41	4,557 41	4,40
S	S		1.156. 313	8.994. 370	8,846 73	8,846 73	4,29		3.895. 572	34.84 4.280	8,846 73	8,846 73	1,33		- 3.960.	20.28 3.894	8,846 73	8,846 73	2,44



Platee - Verifiche pressoflessione retta allo SLU

Dir	Pos	Nodo	N _{Ed} [N]	M _{Ed} [N-m]	A _s [cm ² /cm]	A _{dr} [cm ² /cm]	CS	Nodo	N _{Ed} [N]	M _{Ed} [N-m]	A _s [cm ² /cm]	A _{dr} [cm ² /cm]	CS	Nodo	N _{Ed} [N]	M _{Ed} [N-m]	A _s [cm ² /cm]	A _{dr} [cm ² /cm]	CS	
	I		0	80.47 9	10,05 310	10,05 310	17,3 8		0	80.62 5	10,05 310	10,05 310	17,3 8		362	0	80.42 5	10,05 310	10,05 310	17,38
P	S	00548	0	0	4,557 41	4,557 41	-	00549	0	0	4,557 41	4,557 41	-	00550	0	0	0,536 17	0,536 17	-	
	I		444.2 03	1.287. 692	4,557 41	4,557 41	19,8 3		142.0 86	801.6 42	0,536 17	0,536 17	1,26		57.59 8	593.8 75	0,536 17	0,536 17	5,06	
S	S		- 333.8 95	6.074. 110	8,846 73	8,846 73	5,83		- 128.3 34	1.578. 687	8,846 73	8,846 73	3,12		- 64.02 3	685.9 97	0,804 25	0,804 25	2,03	
	I		0	80.08 7	10,05 310	10,05 310	17,3 8		0	79.35 5	2,010 62	2,010 62	2,43		0	78.19 2	2,010 62	2,010 62	2,51	
P	S	00551	0	0	0,536 17	0,536 17	-	00552	0	0	0,536 17	0,536 17	-	00553	0	0	0,536 17	0,536 17	-	
	I		27.36 4	423.9 54	0,536 17	0,536 17	7,14		14.88 0	300.6 90	0,536 17	0,536 17	10,1 0		8.969	213.8 01	0,536 17	0,536 17	14,22	
S	S		- 34.88 8	280.0 99	0,804 25	0,804 25	2,26		- 20.61 9	72.82 1	0,804 25	0,804 25	2,40		0	0	0,804 25	0,804 25	-	
	I		0	76.56 4	2,010 62	2,010 62	2,51		0	74.35 8	2,010 62	2,010 62	2,51		0	71.36 3	2,010 62	2,010 62	2,51	
P	S	00554	0	0	0,536 17	0,536 17	-	00555	0	0	0,536 17	0,536 17	-	00556	0	0	0,536 17	0,536 17	-	
	I		5.786	151.4 77	0,536 17	0,536 17	20,0 9		3.870	105.1 96	0,536 17	0,536 17	28,9 4		2.658	67.93 0	0,536 17	0,536 17	44,82	
S	S		0	0	0,804 25	0,804 25	-		0	0	0,804 25	0,804 25	-		0	0	0,804 25	0,804 25	-	
	I		-8.627	89.42 5	2,010 62	2,010 62	2,52		-5.793	115.5 06	2,010 62	2,010 62	2,55		-3.799	122.6 84	2,010 62	2,010 62	2,55	
P	S	00557	0	0	0,536 17	0,536 17	-	00558	0	22.16 9	0,536 17	0,536 17	NS	00559	0	4.143	0,536 17	0,536 17	NS	
	I		1.970	28.67 6	0,536 17	0,536 17	NS		0	0	0,536 17	0,536 17	-		181	43.76 7	0,536 17	0,536 17	69,61	
S	S		0	0	0,804 25	0,804 25	-		0	0	0,804 25	0,804 25	-		0	0	0,804 25	0,804 25	-	
	I		-2.000	122.4 26	2,010 62	2,010 62	2,55		3.159	152.4 60	2,010 62	2,010 62	2,57		4.940	139.4 87	2,010 62	2,010 62	2,56	
P	S	00560	0	4.108	0,536 17	0,536 17	NS	00561	0	0	0,536 17	0,536 17	-	00562	0	0	0,536 17	0,536 17	-	
	I		9.850	85.10 3	0,536 17	0,536 17	35,7 2		-3.726	95.98 5	0,536 17	0,536 17	31,7 7		- 13.45 3	135.5 03	0,536 17	0,536 17	22,56	
S	S		0	0	0,804 25	0,804 25	-		0	0	0,804 25	0,804 25	-		1.310	424	0,804 25	0,804 25	2,45	
	I		- 44.70 1	72.73 7	2,010 62	2,010 62	2,52		0	47.19 7	2,010 62	2,010 62	2,49		0	51.93 5	2,010 62	2,010 62	2,49	
P	S	00563	0	0	0,536 17	0,536 17	-	00564	0	0	0,536 17	0,536 17	-	00565	0	0	0,536 17	0,536 17	-	
	I		- 14.95 8	188.1 40	0,536 17	0,536 17	16,2 5		- 16.29 4	249.8 20	0,536 17	0,536 17	12,2 4		- 20.24 8	325.1 48	0,536 17	0,536 17	9,42	
S	S		12.81 8	64.46 5	0,804 25	0,804 25	2,40		19.19 9	155.6 99	0,804 25	0,804 25	2,33		26.69 2	295.5 54	0,804 25	0,804 25	2,23	
	I		0	58.16 0	2,010 62	2,010 62	2,50		0	63.82 3	2,010 62	2,010 62	2,50		0	68.21 9	2,010 62	2,010 62	2,50	
P	S	00566	0	0	0,536 17	0,536 17	-	00567	0	0	0,536 17	0,536 17	-	00568	0	0	0,536 17	0,536 17	-	
	I		- 28.98 6	421.2 00	0,536 17	0,536 17	7,28		- 46.45 8	545.4 96	0,536 17	0,536 17	5,65		- 82.29 9	703.5 26	0,536 17	0,536 17	4,42	
S	S		39.05 9	516.3 70	0,804 25	0,804 25	2,10		60.98 4	875.0 98	0,804 25	0,804 25	1,90		102.2 11	1.484. 771	0,804 25	0,804 25	1,65	
	I		0	71.61 3	2,010 62	2,010 62	2,51		0	74.27 3	2,010 62	2,010 62	2,51		0	76.33 7	2,010 62	2,010 62	2,51	
P	S	00569	0	0	4,557 41	4,557 41	-	00570	0	0	4,557 41	4,557 41	-	00571	910.8 05	1.096. 068	4,557 41	4,557 41	24,19	
	I		- 161.3 02	877.3 18	0,536 17	0,536 17	1,28		- 355.1 82	995.2 93	0,536 17	0,536 17	1,28		0	79.65 2	4,557 41	4,557 41	NS	
S	S		187.6 14	2.612. 066	8,846 73	8,846 73	3,60		396.0 23	5.582. 965	8,846 73	8,846 73	7,64		987.7 34	9.525. 052	8,846 73	8,846 73	4,13	
	I		0	77.88 9	2,010 62	2,010 62	2,43		0	78.99 3	2,010 62	2,010 62	2,43		0	79.71 7	10,05 310	10,05 310	17,37	



Platee - Verifiche pressoflessione retta allo SLU

Dir	Pos	Nodo	N _{Ed} [N]	M _{Ed} [N-m]	A _s [cm ² /cm]	A _{dr} [cm ² /cm]	CS	Nodo	N _{Ed} [N]	M _{Ed} [N-m]	A _s [cm ² /cm]	A _{dr} [cm ² /cm]	CS	Nodo	N _{Ed} [N]	M _{Ed} [N-m]	A _s [cm ² /cm]	A _{dr} [cm ² /cm]	CS	
P	S	00572	-	9.149.182	4,557.41	4,557.41	2,96	00573	1.367.274	9.675.509	4,557.41	4,557.41	2,57	00574	1.055.217	1.279.701	4,557.41	4,557.41	19,61	
I	0		80.375	4,557.41	4,557.41	NS	0		80.391	4,557.41	4,557.41	NS	0		79.827	4,557.41	4,557.41	NS		
S	S	00572	1.132.375	12.963.574	8,846.73	8,846.73	3,24	00573	-	374.227	12.302.470	8,846.73	8,846.73	3,48	00574	-	936.558	9.205.356	8,846.73	4,41
I	0		80.103	10,05310	10,05310	17,38	0		80.132	10,05310	10,05310	17,38	0	79.795		10,05310	10,05310	17,37		
P	S	00575	0	0	4,557.41	4,557.41	-	00576	0	0	4,557.41	4,557.41	-	00577	0	0	0,536.17	0,536.17	-	
I	474.175		558.279	4,557.41	4,557.41	45,71	222.389		843.802	0,536.17	0,536.17	1,24	115.748		709.883	0,536.17	0,536.17	4,17		
S	S	00575	-	6.018.448	8,846.73	8,846.73	5,88	00576	-	192.716	3.131.546	8,846.73	8,846.73	4,22	00577	-	101.592	1.750.234	0,804.25	1,59
I	0		79.155	10,05310	10,05310	17,37	0		78.159	2,010.62	2,010.62	2,43	0	76.721		2,010.62	2,010.62	2,51		
P	S	00578	0	0	0,536.17	0,536.17	-	00579	0	0	0,536.17	0,536.17	-	00580	0	0	0,536.17	0,536.17	-	
I	65.553		564.226	0,536.17	0,536.17	5,32	39.778		440.373	0,536.17	0,536.17	6,85	25.384		342.201	0,536.17	0,536.17	8,85		
S	S	00578	-	1.030.796	0,804.25	0,804.25	1,86	00579	-	37.204	613.962	0,804.25	0,804.25	2,06	00580	-	24.592	359.310	0,804.25	2,21
I	59.282		74.782	2,010.62	2,010.62	2,51	0		72.267	2,010.62	2,010.62	2,51	0	69.057		2,010.62	2,010.62	2,51		
P	S	00581	0	0	0,536.17	0,536.17	-	00582	0	0	0,536.17	0,536.17	-	00583	0	0	0,536.17	0,536.17	-	
I	16.633		264.672	0,536.17	0,536.17	11,47	10.907		201.404	0,536.17	0,536.17	15,09	6.993		147.156	0,536.17	0,536.17	20,67		
S	S	00581	-	198.771	0,804.25	0,804.25	2,31	00582	-	11.639	94.847	0,804.25	0,804.25	2,38	00583	-	7.990	23.586	0,804.25	2,43
I	16.781		64.920	2,010.62	2,010.62	2,50	0		59.555	2,010.62	2,010.62	2,50	0	53.271		2,010.62	2,010.62	2,49		
P	S	00584	0	0	0,536.17	0,536.17	-	00585	0	5.007	0,536.17	0,536.17	NS	00586	0	0	0,536.17	0,536.17	-	
I	3.919		103.438	0,536.17	0,536.17	29,43	-126		89.641	0,536.17	0,536.17	33,99	-448		153.823	0,536.17	0,536.17	19,81		
S	S	00584	0	0	0,804.25	0,804.25	-	00585	0	0	0,804.25	0,804.25	-	00586	-	22.540	26.761	0,804.25	2,44	
I	0		47.908	2,010.62	2,010.62	2,49	-853		61.642	2,010.62	2,010.62	2,50	0		53.693	2,010.62	2,010.62	2,49		
P	S	00587	0	0	0,536.17	0,536.17	-	00588	0	0	0,536.17	0,536.17	-	00589	0	0	0,536.17	0,536.17	-	
I	-		12.355	194.502	0,536.17	0,536.17	15,71		-	19.618	250.363	0,536.17	0,536.17		12,23	-	22.989	317.790	0,536.17	9,64
S	S	00587	-1.164	90.090	0,804.25	0,804.25	2,38	00588	15.598	181.383	0,804.25	0,804.25	2,31	00589	24.868	310.651	0,804.25	0,804.25	2,22	
I	0		57.126	2,010.62	2,010.62	2,50	0		59.801	2,010.62	2,010.62	2,50	0		62.539	2,010.62	2,010.62	2,50		
P	S	00590	0	0	0,536.17	0,536.17	-	00591	0	0	0,536.17	0,536.17	-	00592	0	0	0,536.17	0,536.17	-	
I	-		28.027	395.819	0,536.17	0,536.17	7,75		-	38.113	484.792	0,536.17	0,536.17		6,34	-	56.202	582.405	0,536.17	5,30
S	S	00590	33.314	496.080	0,804.25	0,804.25	2,11	00591	46.451	768.401	0,804.25	0,804.25	1,96	00592	68.403	1.178.607	0,804.25	0,804.25	1,77	
I	0		65.543	2,010.62	2,010.62	2,50	0		68.613	2,010.62	2,010.62	2,50	0		71.474	2,010.62	2,010.62	2,51		
P	S	00593	0	0	0,536.17	0,536.17	-	00594	0	0	0,536.17	0,536.17	-	00595	0	0	4,557.41	4,557.41	-	
I	-		88.065	672.734	0,536.17	0,536.17	4,62		-	145.474	696.015	0,536.17	0,536.17		4,53	-	251.013	413.633	0,536.17	1,37
S	S	00593	105.485	1.814.783	0,804.25	0,804.25	1,54	00594	170.556	2.836.456	0,804.25	0,804.25	1,27	00595	288.610	4.491.240	8,846.73	8,846.73	5,44	
I	0		73.918	2,010.62	2,010.62	2,51	0		75.850	2,010.62	2,010.62	2,51	0		77.278	2,010.62	2,010.62	2,43		
P	S	00596	-	837.669	4,557.41	4,557.41	1,66	00597	-	4.185.081	4,557.41	4,557.41	3,62	00598	-	7.083.302	4,557.41	4,557.41	42,72	



Platee - Verifiche pressoflessione retta allo SLU

Dir	Pos	Nodo	N _{Ed} [N]	M _{Ed} [N-m]	A _s [cm ² /cm]	A _{dr} [cm ² /cm]	CS	Nodo	N _{Ed} [N]	M _{Ed} [N-m]	A _s [cm ² /cm]	A _{dr} [cm ² /cm]	CS	Nodo	N _{Ed} [N]	M _{Ed} [N-m]	A _s [cm ² /cm]	A _{dr} [cm ² /cm]	CS
	I		55 0	78.46 0	0,536 17	0,536 17	1,40		28 0	79.54 3	0,536 17	0,536 17	1,39		65 0	79.91 2	0,536 17	0,536 17	1,39
S	S		473.2 99	6.356. 140	8,846 73	8,846 73	10,7 0		428.3 30	7.268. 421	8,846 73	8,846 73	22,5 1		268.0 21	6.904. 150	8,846 73	8,846 73	17,34
	I		0	78.25 8	2,010 62	2,010 62	2,43		0	78.84 1	2,010 62	2,010 62	2,43		0	79.06 3	2,010 62	2,010 62	2,43
P	S	00599	482.3 85	4.237. 848	4,557 41	4,557 41	2,97	00600	470.4 90	1.107. 621	4,557 41	4,557 41	1,57	00601	0	0	4,557 41	4,557 41	-
	I		0	79.66 8	0,536 17	0,536 17	1,39		0	78.76 0	0,536 17	0,536 17	1,39		301.1 52	177.8 88	0,536 17	0,536 17	1,34
S	S		- 131.7 33	7.234. 706	8,846 73	8,846 73	38,0 8		- 363.0 75	6.392. 124	8,846 73	8,846 73	16,1 8		- 253.0 54	4.660. 363	8,846 73	8,846 73	6,42
	I		0	78.91 6	2,010 62	2,010 62	2,43		0	78.41 0	2,010 62	2,010 62	2,43		0	77.52 4	2,010 62	2,010 62	2,43
P	S	00602	0	0	0,536 17	0,536 17	-	00603	0	0	0,536 17	0,536 17	-	00604	0	0	0,536 17	0,536 17	-
	I		182.4 72	604.7 74	0,536 17	0,536 17	4,82		112.7 31	654.7 04	0,536 17	0,536 17	4,53		71.93 2	587.6 02	0,536 17	0,536 17	5,10
S	S		- 153.6 42	3.078. 512	0,804 25	0,804 25	1,26		- 95.43 2	2.007. 104	0,804 25	0,804 25	1,51		- 61.96 6	1.310. 970	0,804 25	0,804 25	1,74
	I		0	76.20 7	2,010 62	2,010 62	2,51		0	74.39 6	2,010 62	2,010 62	2,51		0	72.06 6	2,010 62	2,010 62	2,51
P	S	00605	0	0	0,536 17	0,536 17	-	00606	0	0	0,536 17	0,536 17	-	00607	0	0	0,536 17	0,536 17	-
	I		47.34 3	497.7 13	0,536 17	0,536 17	6,05		31.76 0	410.7 30	0,536 17	0,536 17	7,36		21.19 7	332.7 11	0,536 17	0,536 17	9,11
S	S		- 41.89 8	859.8 12	0,804 25	0,804 25	1,93		- 29.14 1	560.3 31	0,804 25	0,804 25	2,09		- 20.54 5	356.9 38	0,804 25	0,804 25	2,21
	I		0	69.28 7	2,010 62	2,010 62	2,51		0	66.24 6	2,010 62	2,010 62	2,50		0	63.20 4	2,010 62	2,010 62	2,50
P	S	00608	0	0	0,536 17	0,536 17	-	00609	0	0	0,536 17	0,536 17	-	00610	0	0	0,536 17	0,536 17	-
	I		13.60 5	264.0 74	0,536 17	0,536 17	11,5 0		7.926	205.5 63	0,536 17	0,536 17	14,7 9		3.230	165.4 78	0,536 17	0,536 17	18,40
S	S		- 14.63 8	215.5 87	0,804 25	0,804 25	2,30		- 10.53 6	116.2 41	0,804 25	0,804 25	2,37		-7.589	39.06 9	0,804 25	0,804 25	2,42
	I		0	60.41 3	2,010 62	2,010 62	2,50		0	57.81 3	2,010 62	2,010 62	2,50		0	54.50 9	2,010 62	2,010 62	2,49
P	S	00611	0	0	0,536 17	0,536 17	-	00612	0	0	0,536 17	0,536 17	-	00613	0	0	0,536 17	0,536 17	-
	I		508	141.3 25	0,536 17	0,536 17	21,5 6		-2.711	186.5 84	0,536 17	0,536 17	16,3 4		- 10.29 4	230.4 44	0,536 17	0,536 17	13,25
S	S		-8.818	24.40 2	0,804 25	0,804 25	2,43		- 12.14 4	79.63 8	0,804 25	0,804 25	2,39		3.316	149.0 02	0,804 25	0,804 25	2,34
	I		0	49.10 1	2,010 62	2,010 62	2,49		0	54.50 8	2,010 62	2,010 62	2,49		0	56.84 4	2,010 62	2,010 62	2,50
P	S	00614	0	0	0,536 17	0,536 17	-	00615	0	0	0,536 17	0,536 17	-	00616	0	0	0,536 17	0,536 17	-
	I		- 21.10 1	283.8 06	0,536 17	0,536 17	10,7 9		- 25.71 8	350.1 99	0,536 17	0,536 17	8,75		- 30.35 3	422.7 34	0,536 17	0,536 17	7,26
S	S		20.07 9	242.7 96	0,804 25	0,804 25	2,27		29.19 1	378.6 78	0,804 25	0,804 25	2,18		35.66 6	568.3 15	0,804 25	0,804 25	2,07
	I		0	59.01 8	2,010 62	2,010 62	2,50		0	60.12 9	2,010 62	2,010 62	2,50		0	61.61 5	2,010 62	2,010 62	2,50
P	S	00617	0	0	0,536 17	0,536 17	-	00618	0	0	0,536 17	0,536 17	-	00619	0	0	0,536 17	0,536 17	-
	I		- 39.91 0	495.4 14	0,536 17	0,536 17	6,21		- 55.58 4	558.3 58	0,536 17	0,536 17	5,53		- 79.81 3	585.0 36	0,536 17	0,536 17	5,31
S	S		46.87 1	833.3 80	0,804 25	0,804 25	1,93		65.66 0	1.207. 207	0,804 25	0,804 25	1,76		94.50 7	1.735. 304	0,804 25	0,804 25	1,56
	I		0	64.21 1	2,010 62	2,010 62	2,50		0	67.37 0	2,010 62	2,010 62	2,50		0	70.39 2	2,010 62	2,010 62	2,51
P	S	00620	0	0	0,536 17	0,536 17	-	00621	0	0	4,557 41	4,557 41	-	00622	- 246.9 23	669.6 99	4,557 41	4,557 41	1,59
	I		-	507.0	0,536	0,536	6,18		0	74.31	0,536	0,536	1,40		0	76.72	0,536	0,536	1,40



Platee - Verifiche pressoflessione retta allo SLU

Dir	Pos	Nodo	N _{Ed} [N]	M _{Ed} [N-m]	A _s [cm ² /cm]	A _{dr} [cm ² /cm]	CS	Nodo	N _{Ed} [N]	M _{Ed} [N-m]	A _s [cm ² /cm]	A _{dr} [cm ² /cm]	CS	Nodo	N _{Ed} [N]	M _{Ed} [N-m]	A _s [cm ² /cm]	A _{dr} [cm ² /cm]	CS
			117.2 21	28	17	17				2	17	17				4	17	17	
S	S		138.2 31	2.462 424	0,804 25	0,804 25	1,36		202.2 02	3.366 087	8,846 73	8,846 73	4,18		276.0 36	4.241 603	8,846 73	8,846 73	5,09
	I		0	72.87 2	2,010 62	2,010 62	2,51		0	74.72 8	2,010 62	2,010 62	2,43		0	76.03 4	2,010 62	2,010 62	2,43
P	S	00623	- 281.1 96	2.246 224	4,557 41	4,557 41	2,10	00624	- 156.4 62	4.641 068	4,557 41	4,557 41	3,90	00625	21.08 9	4.704 620	4,557 41	4,557 41	3,82
	I		0	78.23 6	0,536 17	0,536 17	1,40		0	78.98 1	0,536 17	0,536 17	1,39		0	79.04 7	0,536 17	0,536 17	1,39
S	S		276.5 78	4.706 814	8,846 73	8,846 73	5,81		188.5 34	4.826 199	8,846 73	8,846 73	6,14		109.8 41	4.825 751	8,846 73	8,846 73	6,25
	I		0	76.87 7	2,010 62	2,010 62	2,43		0	77.31 1	2,010 62	2,010 62	2,43		0	77.35 7	2,010 62	2,010 62	2,43
P	S	00626	236.2 17	2.443 888	4,557 41	4,557 41	2,03	00627	253.6 98	883.2 47	4,557 41	4,557 41	1,56	00628	0	0	4,557 41	4,557 41	-
	I		0	78.46 0	0,536 17	0,536 17	1,40		0	77.14 4	0,536 17	0,536 17	1,40		193.8 17	29.47 5	0,536 17	0,536 17	1,38
S	S		- 76.50 8	4.704 540	8,846 73	8,846 73	6,26		- 174.2 24	4.282 074	8,846 73	8,846 73	5,61		- 151.1 52	3.469 594	8,846 73	8,846 73	4,52
	I		0	77.01 3	2,010 62	2,010 62	2,43		0	76.26 3	2,010 62	2,010 62	2,43		0	75.06 8	2,010 62	2,010 62	2,43
P	S	00629	0	0	0,536 17	0,536 17	-	00630	0	0	0,536 17	0,536 17	-	00631	0	0	0,536 17	0,536 17	-
	I		136.1 93	431.9 18	0,536 17	0,536 17	6,83		94.24 3	556.7 49	0,536 17	0,536 17	5,35		65.56 0	554.3 95	0,536 17	0,536 17	5,41
S	S		- 110.0 44	2.593 116	0,804 25	0,804 25	1,36		- 77.87 0	1.858 334	0,804 25	0,804 25	1,55		- 55.63 6	1.306 221	0,804 25	0,804 25	1,74
	I		0	73.34 5	2,010 62	2,010 62	2,51		0	71.00 9	2,010 62	2,010 62	2,51		0	68.09 0	2,010 62	2,010 62	2,50
P	S	00632	0	0	0,536 17	0,536 17	-	00633	0	0	0,536 17	0,536 17	-	00634	0	0	0,536 17	0,536 17	-
	I		45.98 9	502.4 88	0,536 17	0,536 17	6,00		32.08 5	434.6 95	0,536 17	0,536 17	6,96		21.45 5	364.2 20	0,536 17	0,536 17	8,32
S	S		- 40.36 9	908.5 91	0,804 25	0,804 25	1,91		- 29.43 0	624.8 64	0,804 25	0,804 25	2,05		- 21.30 7	421.5 96	0,804 25	0,804 25	2,17
	I		0	64.91 0	2,010 62	2,010 62	2,50		0	62.12 6	2,010 62	2,010 62	2,50		0	60.39 4	2,010 62	2,010 62	2,50
P	S	00635	0	0	0,536 17	0,536 17	-	00636	0	0	0,536 17	0,536 17	-	00637	0	0	0,536 17	0,536 17	-
	I		12.98 4	296.5 17	0,536 17	0,536 17	10,2 4		6.493	239.3 73	0,536 17	0,536 17	12,7 1		1.572	193.0 59	0,536 17	0,536 17	15,78
S	S		- 15.77 9	275.0 45	0,804 25	0,804 25	2,26		- 12.79 3	171.0 32	0,804 25	0,804 25	2,33		- 11.36 0	99.55 7	0,804 25	0,804 25	2,38
	I		0	59.37 3	2,010 62	2,010 62	2,50		0	57.45 5	2,010 62	2,010 62	2,50		0	54.96 6	2,010 62	2,010 62	2,49
P	S	00638	0	0	0,536 17	0,536 17	-	00639	0	0	0,536 17	0,536 17	-	00640	0	0	0,536 17	0,536 17	-
	I		-5.725	227.3 05	0,536 17	0,536 17	13,4 2		- 20.90 9	290.2 71	0,536 17	0,536 17	10,5 5		- 28.39 1	354.2 53	0,536 17	0,536 17	8,66
S	S		2.094	180.6 52	0,804 25	0,804 25	2,32		28.97 6	267.4 11	0,804 25	0,804 25	2,25		38.84 8	393.1 32	0,804 25	0,804 25	2,17
	I		0	49.60 5	2,010 62	2,010 62	2,49		0	51.86 0	2,010 62	2,010 62	2,49		0	53.35 9	2,010 62	2,010 62	2,49
P	S	00641	0	0	0,536 17	0,536 17	-	00642	0	0	0,536 17	0,536 17	-	00643	0	0	0,536 17	0,536 17	-
	I		- 28.95 3	419.9 12	0,536 17	0,536 17	7,31		- 37.77 0	476.8 44	0,536 17	0,536 17	6,45		- 51.29 4	512.3 23	0,536 17	0,536 17	6,02
S	S		36.80 4	562.3 18	0,804 25	0,804 25	2,07		43.48 3	789.4 80	0,804 25	0,804 25	1,95		58.82 2	1.093 424	0,804 25	0,804 25	1,81
	I		0	53.95 4	2,010 62	2,010 62	2,49		0	56.89 4	2,010 62	2,010 62	2,50		0	61.22 8	2,010 62	2,010 62	2,50
P	S	00644	0	0	0,536 17	0,536 17	-	00645	0	0	0,536 17	0,536 17	-	00646	0	0	0,536 17	0,536 17	-
	I		- 69.48 2	500.6 44	0,536 17	0,536 17	6,19		- 93.97 6	390.1 36	0,536 17	0,536 17	7,98		0	71.25 1	0,536 17	0,536 17	42,76
S	S		80.79	1.490.	0,804	0,804	1,65		110.2	1.982.	0,804	0,804	1,49		147.3	2.525.	0,804	0,804	1,34



Platee - Verifiche pressoflessione retta allo SLU

Dir	Pos	Nodo	N _{Ed} [N]	M _{Ed} [N-m]	A _s [cm ² /cm]	A _{dr} [cm ² /cm]	CS	Nodo	N _{Ed} [N]	M _{Ed} [N-m]	A _s [cm ² /cm]	A _{dr} [cm ² /cm]	CS	Nodo	N _{Ed} [N]	M _{Ed} [N-m]	A _s [cm ² /cm]	A _{dr} [cm ² /cm]	CS
	I		8 0	708 65.43 3	25 2,010 62	25 2,010 62	2,50		64 0	113 68.77 9	25 2,010 62	25 2,010 62	2,51		20 0	684 71.20 8	25 2,010 62	25 2,010 62	2,51
P	S	00647	- 160.4 52	505.6 58	4,557 41	4,557 41	1,54	00648	- 174.8 74	1.494. 060	4,557 41	4,557 41	1,80	00649	- 130.0 67	2.748. 314	4,557 41	4,557 41	2,28
	I		0	74.32 0	0,536 17	0,536 17	1,40		0	76.36 9	0,536 17	0,536 17	1,40		0	77.52 7	0,536 17	0,536 17	1,40
S	S		183.9 62	3.010. 620	8,846 73	8,846 73	3,89		191.7 84	3.283. 078	8,846 73	8,846 73	4,11		156.9 37	3.261. 831	8,846 73	8,846 73	4,11
	I		0	72.90 6	2,010 62	2,010 62	2,43		0	74.05 3	2,010 62	2,010 62	2,43		0	74.74 8	2,010 62	2,010 62	2,43
P	S	00650	- 51.30 0	3.555. 884	4,557 41	4,557 41	2,73	00651	48.47 0	2.842. 801	4,557 41	4,557 41	2,27	00652	136.3 32	1.637. 585	4,557 41	4,557 41	1,78
	I		0	77.93 6	0,536 17	0,536 17	1,40		0	77.67 9	0,536 17	0,536 17	1,40		0	76.70 8	0,536 17	0,536 17	1,40
S	S		113.4 85	3.128. 735	8,846 73	8,846 73	4,03		46.40 4	3.257. 815	8,846 73	8,846 73	4,18		- 46.54 6	3.292. 190	8,846 73	8,846 73	4,27
	I		0	75.01 6	2,010 62	2,010 62	2,43		0	74.85 2	2,010 62	2,010 62	2,43		0	74.25 7	2,010 62	2,010 62	2,43
P	S	00653	151.3 18	645.7 55	4,557 41	4,557 41	1,52	00654	128.5 32	6.491	0,536 17	0,536 17	NS	00655	0	0	0,536 17	0,536 17	-
	I		0	74.88 5	0,536 17	0,536 17	1,40		0	72.06 9	0,536 17	0,536 17	42,2 8		99.49 4	331.9 53	0,536 17	0,536 17	8,96
S	S		- 94.96 0	3.046. 053	8,846 73	8,846 73	4,08		- 94.07 5	2.590. 240	0,804 25	0,804 25	1,36		- 77.69 4	2.062. 677	0,804 25	0,804 25	1,49
	I		0	73.21 9	2,010 62	2,010 62	2,43		0	71.66 0	2,010 62	2,010 62	2,51		0	69.41 3	2,010 62	2,010 62	2,51
P	S	00656	0	0	0,536 17	0,536 17	-	00657	0	0	0,536 17	0,536 17	-	00658	0	0	0,536 17	0,536 17	-
	I		74.60 9	473.4 12	0,536 17	0,536 17	6,32		55.51 8	504.6 37	0,536 17	0,536 17	5,96		41.18 4	480.3 43	0,536 17	0,536 17	6,28
S	S		- 60.91 9	1.571. 279	0,804 25	0,804 25	1,65		- 47.31 7	1.164. 017	0,804 25	0,804 25	1,80		- 36.65 8	846.8 53	0,804 25	0,804 25	1,94
	I		0	66.28 2	2,010 62	2,010 62	2,50		0	62.23 6	2,010 62	2,010 62	2,50		0	57.83 2	2,010 62	2,010 62	2,50
P	S	00659	0	0	0,536 17	0,536 17	-	00660	0	0	0,536 17	0,536 17	-	00661	0	0	0,536 17	0,536 17	-
	I		29.73 9	429.8 33	0,536 17	0,536 17	7,04		19.49 6	367.6 55	0,536 17	0,536 17	8,25		10.03 2	301.2 76	0,536 17	0,536 17	10,09
S	S		- 27.77 0	607.5 33	0,804 25	0,804 25	2,06		- 20.45 8	429.0 47	0,804 25	0,804 25	2,16		- 16.19 9	296.0 91	0,804 25	0,804 25	2,24
	I		0	54.44 0	2,010 62	2,010 62	2,49		0	53.31 9	2,010 62	2,010 62	2,49		0	52.34 3	2,010 62	2,010 62	2,49
P	S	00662	0	0	0,536 17	0,536 17	-	00663	0	0	0,536 17	0,536 17	-	00664	0	4.692	0,536 17	0,536 17	NS
	I		3.115	241.1 04	0,536 17	0,536 17	12,6 3		-2.080	280.3 89	0,536 17	0,536 17	10,8 7		- 38.29 0	334.4 16	0,536 17	0,536 17	9,19
S	S		- 13.90 3	204.9 68	0,804 25	0,804 25	2,30		20.00 1	277.1 27	0,804 25	0,804 25	2,25		68.86 4	384.5 58	0,804 25	0,804 25	2,17
	I		0	49.81 8	2,010 62	2,010 62	2,49		0	35.54 5	2,010 62	2,010 62	2,48		0	37.41 2	2,010 62	2,010 62	2,48
P	S	00665	0	0	0,536 17	0,536 17	-	00666	0	0	0,536 17	0,536 17	-	00667	0	0	0,536 17	0,536 17	-
	I		- 24.49 9	394.8 08	0,536 17	0,536 17	7,76		- 34.54 6	444.4 16	0,536 17	0,536 17	6,91		- 46.65 8	462.6 32	0,536 17	0,536 17	6,66
S	S		40.32 8	518.1 11	0,804 25	0,804 25	2,09		38.06 1	694.3 64	0,804 25	0,804 25	2,00		50.61 6	924.2 85	0,804 25	0,804 25	1,88
	I		0	37.95 1	2,010 62	2,010 62	2,48		0	44.29 1	2,010 62	2,010 62	2,49		0	52.28 2	2,010 62	2,010 62	2,49
P	S	00668	0	0	0,536 17	0,536 17	-	00669	0	0	0,536 17	0,536 17	-	00670	0	0	0,536 17	0,536 17	-
	I		- 60.68 7	434.8 82	0,536 17	0,536 17	7,11		- 77.26 7	325.3 01	0,536 17	0,536 17	9,54		0	67.16 9	0,536 17	0,536 17	45,36
S	S		68.04 0	1.211. 116	0,804 25	0,804 25	1,76		88.90 8	1.542. 442	0,804 25	0,804 25	1,63		112.1 37	1.884. 645	0,804 25	0,804 25	1,52



Platee - Verifiche pressoflessione retta allo SLU

Dir	Pos	Nodo	N _{Ed} [N]	M _{Ed} [N-m]	A _s [cm ² /cm]	A _{dr} [cm ² /cm]	CS	Nodo	N _{Ed} [N]	M _{Ed} [N-m]	A _s [cm ² /cm]	A _{dr} [cm ² /cm]	CS	Nodo	N _{Ed} [N]	M _{Ed} [N-m]	A _s [cm ² /cm]	A _{dr} [cm ² /cm]	CS
	I		0	58.76 4	2,010 62	2,010 62	2,50		0	63.43 6	2,010 62	2,010 62	2,50		0	66.60 0	2,010 62	2,010 62	2,50
P	S	00671	- 114.5 89	352.2 71	4,557 41	4,557 41	1,50	00672	- 122.3 16	1.009. 895	4,557 41	4,557 41	1,65	00673	- 105.0 61	1.823. 291	4,557 41	4,557 41	1,89
	I		0	71.05 5	0,536 17	0,536 17	1,40		0	73.81 6	0,536 17	0,536 17	1,40		0	75.49 1	0,536 17	0,536 17	1,40
S	S		133.2 87	2.177. 202	8,846 73	8,846 73	3,35		141.3 92	2.346. 784	8,846 73	8,846 73	3,45		128.9 87	2.354. 548	8,846 73	8,846 73	3,46
	I		0	68.72 1	2,010 62	2,010 62	2,44		0	70.18 3	2,010 62	2,010 62	2,44		0	71.17 5	2,010 62	2,010 62	2,44
P	S	00674	- 65.67 9	2.520. 230	4,557 41	4,557 41	2,15	00675	- 14.19 5	2.553. 131	4,557 41	4,557 41	2,15	00676	43.56 3	1.910. 645	4,557 41	4,557 41	1,89
	I		0	76.26 7	0,536 17	0,536 17	1,40		0	76.34 0	0,536 17	0,536 17	1,40		0	75.74 1	0,536 17	0,536 17	1,40
S	S		104.2 97	2.264. 148	8,846 73	8,846 73	3,41		70.71 5	2.261. 852	8,846 73	8,846 73	3,43		21.71 2	2.351. 424	8,846 73	8,846 73	3,50
	I		0	71.72 4	2,010 62	2,010 62	2,44		0	71.78 6	2,010 62	2,010 62	2,44		0	71.35 2	2,010 62	2,010 62	2,44
P	S	00677	85.84 9	1.118. 278	4,557 41	4,557 41	1,64	00678	96.27 6	449.6 88	4,557 41	4,557 41	1,49	00679	0	0	0,536 17	0,536 17	-
	I		0	74.29 9	0,536 17	0,536 17	1,40		0	71.80 8	0,536 17	0,536 17	1,40		0	68.18 4	0,536 17	0,536 17	44,68
S	S		- 28.94 8	2.353. 900	8,846 73	8,846 73	3,53		- 56.55 9	2.202. 683	8,846 73	8,846 73	3,44		- 61.13 8	1.927. 178	0,804 25	0,804 25	1,53
	I		0	70.46 4	2,010 62	2,010 62	2,44		0	69.12 2	2,010 62	2,010 62	2,44		0	67.17 8	2,010 62	2,010 62	2,50
P	S	00680	0	0	0,536 17	0,536 17	-	00681	0	0	0,536 17	0,536 17	-	00682	0	0	0,536 17	0,536 17	-
	I		72.07 7	280.5 65	0,536 17	0,536 17	10,6 7		57.51 5	411.9 06	0,536 17	0,536 17	7,30		45.59 7	454.6 25	0,536 17	0,536 17	6,63
S	S		- 55.47 8	1.594. 940	0,804 25	0,804 25	1,64		- 47.46 7	1.265. 413	0,804 25	0,804 25	1,76		- 39.94 3	973.9 33	0,804 25	0,804 25	1,88
	I		0	64.29 0	2,010 62	2,010 62	2,50		0	59.99 1	2,010 62	2,010 62	2,50		0	53.90 5	2,010 62	2,010 62	2,49
P	S	00683	0	0	0,536 17	0,536 17	-	00684	0	0	0,536 17	0,536 17	-	00685	0	2.675	0,536 17	0,536 17	NS
	I		36.39 3	446.0 07	0,536 17	0,536 17	6,77		28.27 4	407.6 19	0,536 17	0,536 17	7,42		16.98 0	345.3 08	0,536 17	0,536 17	8,79
S	S		- 33.22 1	735.1 61	0,804 25	0,804 25	1,99		- 26.27 3	551.2 68	0,804 25	0,804 25	2,09		- 19.04 0	410.5 35	0,804 25	0,804 25	2,17
	I		0	46.09 4	2,010 62	2,010 62	2,49		0	38.99 6	2,010 62	2,010 62	2,48		0	38.12 5	2,010 62	2,010 62	2,48
P	S	00686	0	0	0,536 17	0,536 17	-	00687	0	4.779	0,536 17	0,536 17	NS	00688	0	13.82 4	0,536 17	0,536 17	NS
	I		922	275.7 62	0,536 17	0,536 17	11,0 5		- 46.40 3	307.1 08	0,536 17	0,536 17	10,0 3		- 33.89 5	368.6 56	0,536 17	0,536 17	8,33
S	S		- 15.52 1	309.2 52	0,804 25	0,804 25	2,24		9.017	384.6 14	0,804 25	0,804 25	2,18		76.19 0	476.1 65	0,804 25	0,804 25	2,11
	I		0	35.08 9	2,010 62	2,010 62	2,48		0	1.407	2,010 62	2,010 62	2,45		0	3.929	2,010 62	2,010 62	2,45
P	S	00689	0	0	0,536 17	0,536 17	-	00690	0	0	0,536 17	0,536 17	-	00691	0	0	0,536 17	0,536 17	-
	I		- 36.50 6	406.2 03	0,536 17	0,536 17	7,57		- 44.05 3	413.2 90	0,536 17	0,536 17	7,45		- 54.47 2	383.9 11	0,536 17	0,536 17	8,04
S	S		28.87 1	579.8 09	0,804 25	0,804 25	2,06		41.12 4	745.9 28	0,804 25	0,804 25	1,97		56.75 1	949.9 84	0,804 25	0,804 25	1,87
	I		0	26.56 3	2,010 62	2,010 62	2,47		0	41.17 5	2,010 62	2,010 62	2,48		0	50.57 2	2,010 62	2,010 62	2,49
P	S	00692	0	0	0,536 17	0,536 17	-	00693	0	0	0,536 17	0,536 17	-	00694	- 88.21 4	221.8 24	0,536 17	0,536 17	14,02
	I		- 66.08 2	289.4 08	0,536 17	0,536 17	10,6 9		0	61.67 8	0,536 17	0,536 17	49,4 0		0	66.61 2	0,536 17	0,536 17	45,74
S	S		73.11 0	1.174. 106	0,804 25	0,804 25	1,77		88.93 4	1.395. 154	0,804 25	0,804 25	1,68		102.2 87	1.578. 264	0,804 25	0,804 25	1,62
	I		0	56.88	2,010	2,010	2,50		0	60.86	2,010	2,010	2,50		0	63.33	2,010	2,010	2,50



Platee - Verifiche pressoflessione retta allo SLU

Dir	Pos	Nodo	N _{Ed} [N]	M _{Ed} [N-m]	A _s [cm ² /cm]	A _{dr} [cm ² /cm]	CS	Nodo	N _{Ed} [N]	M _{Ed} [N-m]	A _s [cm ² /cm]	A _{dr} [cm ² /cm]	CS	Nodo	N _{Ed} [N]	M _{Ed} [N-m]	A _s [cm ² /cm]	A _{dr} [cm ² /cm]	CS
			0	0	62	62			1	1	62	62			2	2	62	62	
P	S	00695	-92.914	681.097	0,53617	0,53617	4,57	00696	-85.903	1.241.889	0,53617	0,53617	2,50	00697	-65.887	1.772.347	0,53617	0,53617	1,75
	I		0	70.402	0,53617	0,53617	43,28		0	72.803	0,53617	0,53617	41,85		0	73.989	0,53617	0,53617	41,18
S	S		109.052	1.685.458	0,80425	0,80425	1,58		105.495	1.696.782	0,80425	0,80425	1,58		92.776	1.638.946	0,80425	0,80425	1,60
	I		0	65.034	2,01062	2,01062	2,50		0	66.330	2,01062	2,01062	2,50		0	67.248	2,01062	2,01062	2,50
P	S	00698	-36.564	2.025.296	0,53617	0,53617	1,52	00699	-1.459	1.816.257	0,53617	0,53617	1,68	00700	33.100	1.314.732	0,53617	0,53617	2,30
	I		0	74.348	0,53617	0,53617	40,98		0	74.131	0,53617	0,53617	41,10		0	73.176	0,53617	0,53617	41,64
S	S		73.146	1.595.882	0,80425	0,80425	1,61		45.577	1.634.957	0,80425	0,80425	1,61		11.748	1.694.137	0,80425	0,80425	1,59
	I		0	67.641	2,01062	2,01062	2,50		0	67.401	2,01062	2,01062	2,50		0	66.598	2,01062	2,01062	2,50
P	S	00701	56.262	761.377	0,53617	0,53617	3,95	00702	63.259	292.177	0,53617	0,53617	10,27	00703	0	0	0,53617	0,53617	-
	I		0	71.089	0,53617	0,53617	42,86		0	67.626	0,53617	0,53617	45,05		59.398	45.224	0,53617	0,53617	66,42
S	S		-18.442	1.690.888	0,80425	0,80425	1,60		-35.765	1.595.538	0,80425	0,80425	1,63		-41.127	1.423.252	0,80425	0,80425	1,70
	I		0	65.390	2,01062	2,01062	2,50		0	63.804	2,01062	2,01062	2,50		0	61.562	2,01062	2,01062	2,50
P	S	00704	0	0	0,53617	0,53617	-	00705	0	0	0,53617	0,53617	-	00706	0	0	0,53617	0,53617	-
	I		51.362	255.766	0,53617	0,53617	11,77		43.243	366.130	0,53617	0,53617	8,24		36.891	407.096	0,53617	0,53617	7,42
S	S		-40.342	1.209.067	0,80425	0,80425	1,78		-37.525	987.171	0,80425	0,80425	1,87		-34.183	781.695	0,80425	0,80425	1,97
	I		0	57.998	2,01062	2,01062	2,50		0	52.269	2,01062	2,01062	2,49		0	43.686	2,01062	2,01062	2,48
P	S	00707	0	0	0,53617	0,53617	-	00708	0	0	0,53617	0,53617	-	00709	0	17.032	0,53617	0,53617	NS
	I		33.547	404.046	0,53617	0,53617	7,48		32.201	383.573	0,53617	0,53617	7,88		1.849	294.611	0,53617	0,53617	10,34
S	S		-30.187	606.374	0,80425	0,80425	2,06		-34.706	482.207	0,80425	0,80425	2,13		1.386	415.517	0,80425	0,80425	2,16
	I		0	30.512	2,01062	2,01062	2,47		0	6.888	2,01062	2,01062	2,46		0	0	2,01062	2,01062	-
P	S	00710	0	0	0,53617	0,53617	-	00711	0	8.408	0,53617	0,53617	NS	00712	0	0	0,53617	0,53617	-
	I		-1.964	265.127	0,53617	0,53617	11,50		37.353	343.910	0,53617	0,53617	8,78		-35.949	340.060	0,53617	0,53617	9,04
S	S		-9.468	289.540	0,80425	0,80425	2,25		-36.920	323.036	0,80425	0,80425	2,23		-3.729	442.078	0,80425	0,80425	2,15
	I		0	14.518	2,01062	2,01062	2,46		0	10.068	2,01062	2,01062	2,46		0	17.452	2,01062	2,01062	2,46
P	S	00713	0	0	0,53617	0,53617	-	00714	0	0	0,53617	0,53617	-	00715	0	0	0,53617	0,53617	-
	I		-42.449	364.024	0,53617	0,53617	8,45		-49.642	340.457	0,53617	0,53617	9,05		-58.690	266.501	0,53617	0,53617	11,59
S	S		27.745	581.871	0,80425	0,80425	2,06		45.459	726.875	0,80425	0,80425	1,98		61.275	877.613	0,80425	0,80425	1,90
	I		0	31.009	2,01062	2,01062	2,47		0	41.921	2,01062	2,01062	2,48		0	49.417	2,01062	2,01062	2,49
P	S	00716	0	0	0,53617	0,53617	-	00717	-72.226	116.230	0,53617	0,53617	26,66	00718	-74.849	447.332	0,53617	0,53617	6,93
	I		-66.549	120.659	0,53617	0,53617	25,65		0	60.442	0,53617	0,53617	50,41		0	65.840	0,53617	0,53617	46,28
S	S		73.596	1.020.946	0,80425	0,80425	1,84		82.153	1.135.720	0,80425	0,80425	1,79		86.831	1.201.488	0,80425	0,80425	1,76
	I		0	54.071	2,01062	2,01062	2,49		0	56.614	2,01062	2,01062	2,50		0	58.315	2,01062	2,01062	2,50



Platee - Verifiche pressoflessione retta allo SLU

Dir	Pos	Nodo	N _{Ed} [N]	M _{Ed} [N-m]	A _s [cm ² /cm]	A _{dr} [cm ² /cm]	CS	Nodo	N _{Ed} [N]	M _{Ed} [N-m]	A _s [cm ² /cm]	A _{dr} [cm ² /cm]	CS	Nodo	N _{Ed} [N]	M _{Ed} [N-m]	A _s [cm ² /cm]	A _{dr} [cm ² /cm]	CS
P	S	00719	- 71.99 5	848.5 37	0,536 17	0,536 17	3,65	00720	- 61.87 6	1.249. 510	0,536 17	0,536 17	2,47	00721	- 44.98 4	1.525. 527	0,536 17	0,536 17	2,02
	I		0 69.40 1	0,536 17	0,536 17	43,9 0			0 71.12 5	0,536 17	0,536 17	42,8 4			0 71.63 2	0,536 17	0,536 17	42,53	
S	S	00722	86.60 6	1.207. 663	0,804 25	0,804 25	1,75	00723	80.81 9	1.166. 662	0,804 25	0,804 25	1,77	00724	69.56 4	1.120. 016	0,804 25	0,804 25	1,79
	I		0 59.84 4	2,010 62	2,010 62	2,50			0 61.24 3	2,010 62	2,010 62	2,50			0 62.18 3	2,010 62	2,010 62	2,50	
P	S	00725	- 22.96 3	1.541. 558	0,536 17	0,536 17	1,99	00726	1.433	1.292. 874	0,536 17	0,536 17	2,36	00727	23.23 4	907.0 44	0,536 17	0,536 17	3,34
	I		0 71.66 1	0,536 17	0,536 17	42,5 2			0 71.32 2	0,536 17	0,536 17	42,7 2			0 69.95 2	0,536 17	0,536 17	43,56	
S	S	00728	52.66 9	1.117. 889	0,804 25	0,804 25	1,80	00729	30.66 2	1.162. 027	0,804 25	0,804 25	1,78	00730	7.099	1.204. 822	0,804 25	0,804 25	1,77
	I		0 62.29 8	2,010 62	2,010 62	2,50			0 61.53 5	2,010 62	2,010 62	2,50			0 60.21 9	2,010 62	2,010 62	2,50	
P	S	00731	37.04 8	507.3 57	0,536 17	0,536 17	5,95	00732	41.34 8	167.9 40	0,536 17	0,536 17	17,9 6	00733	0	0	0,536 17	0,536 17	-
	I		0 66.85 1	0,536 17	0,536 17	45,5 8			0 61.84 7	0,536 17	0,536 17	49,2 6			39.16 1	82.17 9	0,536 17	0,536 17	36,73
S	S	00734	- 12.06 5	1.204. 613	0,804 25	0,804 25	1,77	00735	- 23.25 1	1.146. 672	0,804 25	0,804 25	1,80	00736	- 27.99 3	1.039. 090	0,804 25	0,804 25	1,85
	I		0 58.71 8	2,010 62	2,010 62	2,50			0 57.09 8	2,010 62	2,010 62	2,50			0 54.84 7	2,010 62	2,010 62	2,49	
P	S	00737	0	0	0,536 17	0,536 17	-	00738	0	0	0,536 17	0,536 17	-	00739	0	0	0,536 17	0,536 17	-
	I		34.70 1	242.2 35	0,536 17	0,536 17	12,4 7		30.37 2	328.0 54	0,536 17	0,536 17	9,22		27.21 4	360.2 49	0,536 17	0,536 17	8,40
S	S	00740	- 29.79 2	900.7 56	0,804 25	0,804 25	1,91	00741	- 30.35 4	752.3 10	0,804 25	0,804 25	1,98	00742	- 29.68 1	609.6 07	0,804 25	0,804 25	2,06
	I		0 50.78 5	2,010 62	2,010 62	2,49			0 43.93 2	2,010 62	2,010 62	2,49			0 33.74 0	2,010 62	2,010 62	2,48	
P	S	00743	0	0	0,536 17	0,536 17	-	00744	0	13.13 9	0,536 17	0,536 17	NS	00745	0	242	0,536 17	0,536 17	NS
	I		26.92 4	356.5 08	0,536 17	0,536 17	8,49		22.43 2	351.1 38	0,536 17	0,536 17	8,63		-4.947	278.0 76	0,536 17	0,536 17	10,97
S	S	00744	- 27.54 5	475.3 56	0,804 25	0,804 25	2,14	00745	- 23.70 6	357.8 45	0,804 25	0,804 25	2,21	00746	- -5.189	285.7 80	0,804 25	0,804 25	2,25
	I		0 20.20 8	2,010 62	2,010 62	2,47			0 13.23 2	2,010 62	2,010 62	2,46			0 7.716	2,010 62	2,010 62	2,46	
P	S	00745	0	0	0,536 17	0,536 17	-	00746	0	0	0,536 17	0,536 17	-	00747	0	0	0,536 17	0,536 17	-
	I		10.30 8	305.3 32	0,536 17	0,536 17	10,0 0		- 33.18 5	314.7 64	0,536 17	0,536 17	9,76		- 41.95 0	298.8 75	0,536 17	0,536 17	10,30
S	S	00746	- 32.94 4	372.8 38	0,804 25	0,804 25	2,20	00747	5.530	455.2 25	0,804 25	0,804 25	2,14	00748	30.65 4	549.4 06	0,804 25	0,804 25	2,08
	I		0 25.78 1	2,010 62	2,010 62	2,47			0 29.33 6	2,010 62	2,010 62	2,47			0 35.18 4	2,010 62	2,010 62	2,48	
P	S	00747	0	0	0,536 17	0,536 17	-	00748	0	0	0,536 17	0,536 17	-	00749	- 62.43 7	33.38 8	0,536 17	0,536 17	92,61
	I		- 51.68 6	245.9 99	0,536 17	0,536 17	12,5 4		- 59.59 4	140.8 85	0,536 17	0,536 17	21,9 3		0	51.57 1	0,536 17	0,536 17	59,08
S	S	00748	50.86 0	646.8 93	0,804 25	0,804 25	2,02	00749	64.28 2	737.5 25	0,804 25	0,804 25	1,97	00750	69.47 1	806.4 76	0,804 25	0,804 25	1,94
	I		0 41.51 8	2,010 62	2,010 62	2,48			0 46.26 9	2,010 62	2,010 62	2,49			0 48.40 2	2,010 62	2,010 62	2,49	
P	S	00749	- 62.92 8	277.3 63	0,536 17	0,536 17	11,1 5	00750	- 61.62 0	572.1 33	0,536 17	0,536 17	5,40	00751	- 56.83 0	876.8 00	0,536 17	0,536 17	3,52
	I		0 59.64 0	0,536 17	0,536 17	51,0 9			0 65.20 7	0,536 17	0,536 17	46,7 2			0 67.83 3	0,536 17	0,536 17	44,92	
S	S	00751	70.85 1	842.2 87	0,804 25	0,804 25	1,92	00752	71.04 7	840.2 30	0,804 25	0,804 25	1,92	00753	69.27 2	806.8 08	0,804 25	0,804 25	1,94
	I		0 49.61 1	2,010 62	2,010 62	2,49			0 51.21 0	2,010 62	2,010 62	2,49			0 53.21 0	2,010 62	2,010 62	2,49	
P	S	00743	-	1.122.	0,536	0,536	2,75	00744	-	1.226.	0,536	0,536	2,51	00745	-	1.144.	0,536	0,536	2,67



Platee - Verifiche pressoflessione retta allo SLU

Dir	Pos	Nodo	N _{Ed} [N]	M _{Ed} [N-m]	A _s [cm ² /cm]	A _{dr} [cm ² /cm]	CS	Nodo	N _{Ed} [N]	M _{Ed} [N-m]	A _s [cm ² /cm]	A _{dr} [cm ² /cm]	CS	Nodo	N _{Ed} [N]	M _{Ed} [N-m]	A _s [cm ² /cm]	A _{dr} [cm ² /cm]	CS
	I		47.65 2 0	283 68.30 8	17 0,536 17	17 0,536 17	44,6 0		34.01 7 0	040 68.08 7	17 0,536 17	17 0,536 17			17.01 7 0	136 68.25 8	17 0,536 17	17 0,536 17	
S	S		63.87 2 0	764.0 66 55.02	0,804 25 2,010	0,804 25 2,010	1,96 2,49		53.67 5 0	742.9 70 55.90	0,804 25 2,010	0,804 25 2,010	1,97 2,49		38.71 4 0	760.5 81 55.35	0,804 25 2,010	0,804 25 2,010	1,97 2,49
P	S	00746	636 19 0	915.1 17 68.08	0,536 17 0,536	0,536 17 0,536	3,33 44,7 5	00747	15.21 5 0	618.2 41 66.06	0,536 17 0,536	0,536 17 0,536	4,91 46,1 2	00748	23.66 1 0	322.6 86 61.20	0,536 17 0,536	0,536 17 0,536	9,39 49,78
S	S		20.96 3 0	801.8 64 53.70	0,804 25 2,010	0,804 25 2,010	1,95 2,49		4.129 0	836.8 54 51.70	0,804 25 2,010	0,804 25 2,010	1,94 2,49		-8.027 0	842.9 97 50.00	0,804 25 2,010	0,804 25 2,010	1,93 2,49
P	S	00749	25.27 1 0	71.75 9 53.59	0,536 17 0,536	0,536 17 0,536	42,2 0 56,8	00750	0 22.70 5	0 113.5 61	0,536 17 0,536	0,536 17 0,536	- 26,6 8	00751	0 19.90 3	0 229.7 80	0,536 17 0,536	0,536 17 0,536	- 13,20
S	S		- 14.49 9 0	812.3 75 48.78	0,804 25 2,010	0,804 25 2,010	1,95 2,49		- 18.33 7 0	748.5 21 47.07	0,804 25 2,010	0,804 25 2,010	1,98 2,49		22.40 6 0	661.4 40 42.91	0,804 25 2,010	0,804 25 2,010	2,03 2,48
P	S	00752	0 16.68 3	0 291.4 45	0,536 17 0,536	0,536 17 0,536	- 10,4 1	00753	0 12.92 9	0 312.4 68	0,536 17 0,536	0,536 17 0,536	- 9,72	00754	0 6.660	0 309.6 22	0,536 17 0,536	0,536 17 0,536	- 9,82
S	S		- 25.08 7 0	565.1 37 36.90	0,804 25 2,010	0,804 25 2,010	2,08 2,48		- 24.99 0 0	469.0 41 30.84	0,804 25 2,010	0,804 25 2,010	2,14 2,47		- 19.83 0 0	385.2 08 26.08	0,804 25 2,010	0,804 25 2,010	2,19 2,47
P	S	00755	0 3.648	0 290.5 66	0,536 17 0,536	0,536 17 0,536	- 10,4 8	00756	0 - 21.87 2	0 262.3 72	0,536 17 0,536	0,536 17 0,536	- 11,6 7	00757	0 - 29.85 2	0 254.9 81	0,536 17 0,536	0,536 17 0,536	- 12,03
S	S		- 15.74 1 0	321.2 61 20.46	0,804 25 2,010	0,804 25 2,010	2,23 2,47		- 16.45 5 0	368.8 56 30.47	0,804 25 2,010	0,804 25 2,010	2,20 2,47		8.959 0	421.4 25 31.69	0,804 25 2,010	0,804 25 2,010	2,16 2,48
P	S	00758	0 - 39.31 9	0 221.9 95	0,536 17 0,536	0,536 17 0,536	- 13,8 5	00759	0 - 52.93 3	0 149.8 79	0,536 17 0,536	0,536 17 0,536	- 20,5 8	00760	0 0	0 38.13 6	0,536 17 0,536	0,536 17 0,536	- 79,89
S	S		35.92 8 0	477.4 98 33.51	0,804 25 2,010	0,804 25 2,010	2,12 2,48		59.26 3 0	527.2 57 36.52	0,804 25 2,010	0,804 25 2,010	2,09 2,48		64.97 1 0	564.9 00 38.23	0,804 25 2,010	0,804 25 2,010	2,06 2,48
P	S	00761	- 54.74 6 0	152.5 66 50.82	0,536 17 0,536	0,536 17 0,536	20,2 3 59,9 4	00762	- 53.72 1 0	374.4 61 60.04	0,536 17 0,536	0,536 17 0,536	8,24 50,7 4	00763	- 51.58 4 0	607.8 78 64.41	0,536 17 0,536	0,536 17 0,536	5,07 47,30
S	S		59.69 3 0	576.9 85 38.16	0,804 25 2,010	0,804 25 2,010	2,06 2,48		57.55 6 0	565.4 01 39.72	0,804 25 2,010	0,804 25 2,010	2,06 2,48		57.72 3 0	534.2 99 42.58	0,804 25 2,010	0,804 25 2,010	2,08 2,48
P	S	00764	- 47.33 6 0	812.1 30 64.85	0,536 17 0,536	0,536 17 0,536	3,79 46,9 8	00765	- 40.03 6 0	937.3 02 63.49	0,536 17 0,536	0,536 17 0,536	3,28 47,9 8	00766	- 28.71 1 0	945.0 94 63.23	0,536 17 0,536	0,536 17 0,536	3,25 48,18
S	S		56.97 9 0	495.4 59 45.62	0,804 25 2,010	0,804 25 2,010	2,10 2,49		52.48 0 0	467.5 16 47.80	0,804 25 2,010	0,804 25 2,010	2,12 2,49		42.46 8 0	465.9 10 48.08	0,804 25 2,010	0,804 25 2,010	2,12 2,49
P	S	00767	- 14.72 2 0	834.1 82 64.59	0,536 17 0,536	0,536 17 0,536	3,67 47,1	00768	-1.139 0	639.9 61 64.80	0,536 17 0,536	0,536 17 0,536	4,76 47,0	00769	9.309 0	410.6 27 61.47	0,536 17 0,536	0,536 17 0,536	7,40 49,56



PROGETTO DEFINITIVO
Parco Eolico "Piana dell'Imperatore"
Relazione preliminare sulle strutture

Platee - Verifiche pressoflessione retta allo SLU

Dir	Pos	Nodo	N _{Ed} [N]	M _{Ed} [N-m]	A _s [cm ² /cm]	A _{dr} [cm ² /cm]	CS	Nodo	N _{Ed} [N]	M _{Ed} [N-m]	A _s [cm ² /cm]	A _{dr} [cm ² /cm]	CS	Nodo	N _{Ed} [N]	M _{Ed} [N-m]	A _s [cm ² /cm]	A _{dr} [cm ² /cm]	CS
			9	17	17	17	6		6	17	17	17	1		8	17	17	17	
S	S		28.28 1	491.1 89	0,804 25	0,804 25	2,11		13.38 8	529.0 18	0,804 25	0,804 25	2,09		1.318	561.1 86	0,804 25	0,804 25	2,08
	I		0	46.26 0	2,010 62	2,010 62	2,49		0	43.34 6	2,010 62	2,010 62	2,48		0	40.38 4	2,010 62	2,010 62	2,48
P	S	00770	14.29 6	187.3 27	0,536 17	0,536 17	16,2 1	00771	0	0	0,536 17	0,536 17	-	00772	0	0	0,536 17	0,536 17	-
	I		0	53.38 6	0,536 17	0,536 17	57,0 7		0	41.11 9	0,536 17	0,536 17	74,1 0		7.753	133.1 93	0,536 17	0,536 17	22,83
S	S		-5.132	575.2 38	0,804 25	0,804 25	2,07		-6.631	566.3 96	0,804 25	0,804 25	2,08		-	533.0 80	0,804 25	0,804 25	2,10
	I		0	38.46 8	2,010 62	2,010 62	2,48		0	38.26 6	2,010 62	2,010 62	2,48		0	37.47 5	2,010 62	2,010 62	2,48
P	S	00773	0	0	0,536 17	0,536 17	-	00774	0	0	0,536 17	0,536 17	-	00775	0	0	0,536 17	0,536 17	-
	I		5.121	212.2 14	0,536 17	0,536 17	14,3 4		1.310	251.6 87	0,536 17	0,536 17	12,1 0		-5.190	263.6 36	0,536 17	0,536 17	11,57
S	S		-	484.3 02	0,804 25	0,804 25	2,13		-	430.0 75	0,804 25	0,804 25	2,16		-	378.0 33	0,804 25	0,804 25	2,19
	I		17.82 9	34.30 2	2,010 62	2,010 62	2,48		21.39 1	32.08 0	2,010 62	2,010 62	2,48		21.28 4	30.93 0	2,010 62	2,010 62	2,47
P	S	00776	0	0	0,536 17	0,536 17	-	00777	0	0	0,536 17	0,536 17	-	00778	0	0	0,536 17	0,536 17	-
	I		-	192.8 58	0,536 17	0,536 17	15,8 8		-	141.1 72	0,536 17	0,536 17	21,7 4		-	76.14 7	0,536 17	0,536 17	40,56
S	S		9.249	359.5 63	0,804 25	0,804 25	2,20		45.33 0	380.4 40	0,804 25	0,804 25	2,18		75.99 1	392.1 03	0,804 25	0,804 25	2,16
	I		0	25.80 2	2,010 62	2,010 62	2,47		0	22.67 6	2,010 62	2,010 62	2,47		0	23.35 8	2,010 62	2,010 62	2,47
P	S	00779	-	59.46 7	0,536 17	0,536 17	51,8 4	00780	-	233.1 22	0,536 17	0,536 17	13,2 2	00781	-	414.2 86	0,536 17	0,536 17	7,44
	I		49.71 6	37.20 5	0,536 17	0,536 17	81,8 9		49.21 6	53.68 6	0,536 17	0,536 17	56,7 5		47.26 4	61.13 1	0,536 17	0,536 17	49,84
S	S		54.85 2	383.3 86	0,804 25	0,804 25	2,17		45.93 5	363.6 85	0,804 25	0,804 25	2,19		45.60 0	332.9 88	0,804 25	0,804 25	2,20
	I		0	21.35 6	2,010 62	2,010 62	2,47		0	24.35 2	2,010 62	2,010 62	2,47		0	29.31 3	2,010 62	2,010 62	2,47
P	S	00782	-	579.4 55	0,536 17	0,536 17	5,31	00783	-	697.8 26	0,536 17	0,536 17	4,41	00784	-	742.9 77	0,536 17	0,536 17	4,14
	I		44.71 5	62.01 9	0,536 17	0,536 17	49,1 3		42.14 3	58.88 8	0,536 17	0,536 17	51,7 4		37.05 9	55.74 6	0,536 17	0,536 17	54,65
S	S		47.83 0	296.2 82	0,804 25	0,804 25	2,23		49.56 3	265.9 06	0,804 25	0,804 25	2,25		45.55 2	253.6 73	0,804 25	0,804 25	2,26
	I		0	33.66 7	2,010 62	2,010 62	2,48		0	37.21 2	2,010 62	2,010 62	2,48		0	39.18 0	2,010 62	2,010 62	2,48
P	S	00785	-	707.7 89	0,536 17	0,536 17	4,33	00786	-	599.0 28	0,536 17	0,536 17	5,10	00787	-2.894	440.5 17	0,536 17	0,536 17	6,92
	I		26.42 6	57.91 8	0,536 17	0,536 17	52,6 0		14.15 2	61.56 4	0,536 17	0,536 17	49,4 9		0	61.83 8	0,536 17	0,536 17	49,27
S	S		33.56 6	263.2 68	0,804 25	0,804 25	2,25		18.99 0	291.3 69	0,804 25	0,804 25	2,24		6.321	327.1 54	0,804 25	0,804 25	2,22
	I		0	37.88 2	2,010 62	2,010 62	2,48		0	34.57 5	2,010 62	2,010 62	2,48		0	30.40 9	2,010 62	2,010 62	2,47
P	S	00788	6.253	261.7 22	0,536 17	0,536 17	11,6 2	00789	10.60 3	87.24 1	0,536 17	0,536 17	34,8 4	00790	0	0	0,536 17	0,536 17	-
	I		0	56.10 2	0,536 17	0,536 17	54,3 1		0	42.01 6	0,536 17	0,536 17	72,5 1		-206	58.65 7	0,536 17	0,536 17	51,94
S	S		-2.248	358.5 50	0,804 25	0,804 25	2,20		-3.457	379.8 95	0,804 25	0,804 25	2,19		4.363	391.2 13	0,804 25	0,804 25	2,18
	I		0	25.53 6	2,010 62	2,010 62	2,47		0	21.78 4	2,010 62	2,010 62	2,47		0	23.50 1	2,010 62	2,010 62	2,47
P	S	00791	0	0	0,536 17	0,536 17	-	00792	0	0	0,536 17	0,536 17	-	00793	0	0	0,536 17	0,536 17	-
	I		-7.547	132.8 53	0,536 17	0,536 17	22,9 7		-	185.4 81	0,536 17	0,536 17	16,4 7		-	204.2 39	0,536 17	0,536 17	14,97
S	S		-7.521	380.1 06	0,804 25	0,804 25	2,19		-	365.7 56	0,804 25	0,804 25	2,20		-	344.6 68	0,804 25	0,804 25	2,21
	I								14.73 5						19.87 6				



Platee - Verifiche pressoflessione retta allo SLU

Dir	Pos	Nodo	N _{Ed} [N]	M _{Ed} [N-m]	A _s [cm ² /cm]	A _{dr} [cm ² /cm]	CS	Nodo	N _{Ed} [N]	M _{Ed} [N-m]	A _s [cm ² /cm]	A _{dr} [cm ² /cm]	CS	Nodo	N _{Ed} [N]	M _{Ed} [N-m]	A _s [cm ² /cm]	A _{dr} [cm ² /cm]	CS
	I		0	22.73 2	2,010 62	2,010 62	2,47		0	24.99 7	2,010 62	2,010 62	2,47		0	27.50 4	2,010 62	2,010 62	2,47
P	S	00794	0	0	0,536 17	0,536 17	-	00795	0	0	0,536 17	0,536 17	-	00796	0	0	0,536 17	0,536 17	-
	I		- 11.77 7	126.7 19	0,536 17	0,536 17	24,1 1		- 19.38 6	68.43 1	0,536 17	0,536 17	44,7 3		- 69.60 5	37.09 7	0,536 17	0,536 17	83,49
S	S		13.33 6	302.5 08	0,804 25	0,804 25	2,23		48.45 2	273.6 91	0,804 25	0,804 25	2,24		89.85 7	251.5 50	0,804 25	0,804 25	2,25
	I		0	13.77 6	2,010 62	2,010 62	2,46		0	0	2,010 62	2,010 62	-		0	0	2,010 62	2,010 62	-
P	S	00797	- 53.08 5	132.9 73	0,536 17	0,536 17	23,2 0	00798	- 46.53 4	277.2 26	0,536 17	0,536 17	11,1 1	00799	- 41.56 6	409.6 91	0,536 17	0,536 17	7,51
	I		0	45.40 8	0,536 17	0,536 17	67,1 0		0	57.43 1	0,536 17	0,536 17	53,0 5		0	60.18 1	0,536 17	0,536 17	50,63
S	S		34.82 5	223.5 04	0,804 25	0,804 25	2,28		32.87 5	193.8 95	0,804 25	0,804 25	2,30		35.24 7	157.0 90	0,804 25	0,804 25	2,32
	I		0	5.823	2,010 62	2,010 62	2,45		0	15.40 4	2,010 62	2,010 62	2,46		0	20.32 9	2,010 62	2,010 62	2,47
P	S	00800	- 38.69 0	511.8 10	0,536 17	0,536 17	6,01	00801	- 40.27 0	563.3 60	0,536 17	0,536 17	5,46	00802	- 37.53 3	565.4 04	0,536 17	0,536 17	5,44
	I		0	56.03 7	0,536 17	0,536 17	54,3 7		0	47.61 1	0,536 17	0,536 17	63,9 9		0	45.85 3	0,536 17	0,536 17	66,45
S	S		41.36 9	123.3 98	0,804 25	0,804 25	2,35		47.90 7	104.5 45	0,804 25	0,804 25	2,36		41.57 4	103.4 20	0,804 25	0,804 25	2,36
	I		0	23.64 1	2,010 62	2,010 62	2,47		0	26.76 9	2,010 62	2,010 62	2,47		0	27.40 1	2,010 62	2,010 62	2,47
P	S	00803	- 25.99 6	520.8 53	0,536 17	0,536 17	5,89	00804	- 15.72 9	426.4 02	0,536 17	0,536 17	7,17	00805	-4.972	298.4 47	0,536 17	0,536 17	10,22
	I		0	54.33 5	0,536 17	0,536 17	56,0 7		0	59.81 4	0,536 17	0,536 17	50,9 4		0	58.77 7	0,536 17	0,536 17	51,84
S	S		24.06 0	119.3 93	0,804 25	0,804 25	2,35		10.06 2	150.8 67	0,804 25	0,804 25	2,34		-135	187.5 79	0,804 25	0,804 25	2,31
	I		0	24.37 1	2,010 62	2,010 62	2,47		0	21.13 5	2,010 62	2,010 62	2,47		0	16.82 2	2,010 62	2,010 62	2,46
P	S	00806	7.036	156.2 44	0,536 17	0,536 17	19,4 7	00807	19.36 1	5.212	0,536 17	0,536 17	NS	00808	0	1.610	0,536 17	0,536 17	NS
	I		0	49.04 1	0,536 17	0,536 17	62,1 3		0	26.15 3	0,536 17	0,536 17	NS		- 35.41 6	70.65 9	0,536 17	0,536 17	43,48
S	S		-6.172	218.0 00	0,804 25	0,804 25	2,29		- 11.28 7	234.3 73	0,804 25	0,804 25	2,28		23.83 0	263.1 50	0,804 25	0,804 25	2,26
	I		0	8.761	2,010 62	2,010 62	2,46		0	0	2,010 62	2,010 62	-		0	0	2,010 62	2,010 62	-
P	S	00809	0	0	0,536 17	0,536 17	-	00810	0	0	0,536 17	0,536 17	-	00811	0	0	0,536 17	0,536 17	-
	I		- 25.87 5	123.1 82	0,536 17	0,536 17	24,8 9		- 24.88 4	154.0 02	0,536 17	0,536 17	19,9 0		7.011	63.17 0	0,536 17	0,536 17	48,15
S	S		-1.979	296.1 79	0,804 25	0,804 25	2,24		- 16.70 2	308.9 13	0,804 25	0,804 25	2,24		-5.747	223.9 23	0,804 25	0,804 25	2,29
	I		0	8.815	2,010 62	2,010 62	2,46		0	21.04 5	2,010 62	2,010 62	2,47		0	0	2,010 62	2,010 62	-
P	S	00812	0	1.746	0,536 17	0,536 17	NS	00813	- 56.92 8	55.01 8	0,536 17	0,536 17	56,1 3	00814	- 49.69 7	182.0 81	0,536 17	0,536 17	16,93
	I		- 27.27 5	53.89 0	0,536 17	0,536 17	56,9 0		0	30.03 2	0,536 17	0,536 17	NS		0	51.53 2	0,536 17	0,536 17	59,12
S	S		- 22.53 7	179.3 80	0,804 25	0,804 25	2,32		34	150.7 74	0,804 25	0,804 25	2,34		18.98 2	115.4 19	0,804 25	0,804 25	2,36
	I		0	0	2,010 62	2,010 62	-		0	0	2,010 62	2,010 62	-		0	5.170	2,010 62	2,010 62	2,45
P	S	00815	- 41.20 4	289.8 48	0,536 17	0,536 17	10,6 1	00816	- 32.93 0	375.7 26	0,536 17	0,536 17	8,17	00817	- 27.26 2	424.4 36	0,536 17	0,536 17	7,22
	I		0	58.34 9	0,536 17	0,536 17	52,2 2		0	55.88 9	0,536 17	0,536 17	54,5 1		0	44.73 7	0,536 17	0,536 17	68,10
S	S		21.36	76.05	0,804	0,804	2,39		25.45	35.78	0,804	0,804	2,42		36.78	3.822	0,804	0,804	2,44



Platee - Verifiche pressoflessione retta allo SLU

Dir	Pos	Nodo	N _{Ed} [N]	M _{Ed} [N-m]	A _s [cm ² /cm]	A _{dr} [cm ² /cm]	CS	Nodo	N _{Ed} [N]	M _{Ed} [N-m]	A _s [cm ² /cm]	A _{dr} [cm ² /cm]	CS	Nodo	N _{Ed} [N]	M _{Ed} [N-m]	A _s [cm ² /cm]	A _{dr} [cm ² /cm]	CS
	I		1 0	0 9.680	25 2,010 62	25 2,010 62	2,46		5 0	9 10.09 6	25 2,010 62	25 2,010 62	2,46		2 0	8.608	25 2,010 62	25 2,010 62	2,46
P	S	00818	- 45.97 5	424.2 56	0,536 17	0,536 17	7,26	00819	- 38.61 1	423.2 11	0,536 17	0,536 17	7,27	00820	- 31.55 7	382.8 56	0,536 17	0,536 17	8,02
	I		0	27.07 2	0,536 17	0,536 17	NS		0	40.26 2	0,536 17	0,536 17	75,6 7		0	54.20 3	0,536 17	0,536 17	56,21
S	S		0	0	0,804 25	0,804 25	-		32.30 3	570	0,804 25	0,804 25	2,44		14.75 3	29.03 0	0,804 25	0,804 25	2,42
	I		0	10.86 9	2,010 62	2,010 62	2,46		0	8.783	2,010 62	2,010 62	2,46		0	9.726	2,010 62	2,010 62	2,46
P	S	00821	- 21.54 7	304.3 44	0,536 17	0,536 17	10,0 6	00822	- 10.62 6	199.5 59	0,536 17	0,536 17	15,3 1	00823	4.430	82.62 5	0,536 17	0,536 17	36,84
	I		0	58.62 7	0,536 17	0,536 17	51,9 7		0	53.98 5	0,536 17	0,536 17	56,4 4		0	37.83 6	0,536 17	0,536 17	80,53
S	S		2.731	68.74 4	0,804 25	0,804 25	2,40		-4.882	107.8 80	0,804 25	0,804 25	2,37		-9.648	137.6 46	0,804 25	0,804 25	2,35
	I		0	10.13 1	2,010 62	2,010 62	2,46		0	6.399	2,010 62	2,010 62	2,46		0	0	2,010 62	2,010 62	-
P	S	00824	0	2.370	0,536 17	0,536 17	NS	00825	0	0	0,536 17	0,536 17	-	00826	- 26.94 3	29.84 3	0,536 17	0,536 17	NS
	I		15.79 6	56.81 0	0,536 17	0,536 17	53,4 3		- 32.32 0	58.63 9	0,536 17	0,536 17	52,3 6		0	22.79 7	0,536 17	0,536 17	NS
S	S		- 26.92 3	173.2 84	0,804 25	0,804 25	2,33		10.30 3	223.4 30	0,804 25	0,804 25	2,29		- 10.24 6	154.3 84	0,804 25	0,804 25	2,34
	I		0	0	2,010 62	2,010 62	-		0	0	2,010 62	2,010 62	-		0	5.936	2,010 62	2,010 62	2,46
P	S	00827	- 48.67 7	120.4 82	0,536 17	0,536 17	25,5 8	00828	- 45.58 8	207.2 58	0,536 17	0,536 17	14,8 6	00829	- 35.37 2	280.1 56	0,536 17	0,536 17	10,97
	I		0	43.07 2	0,536 17	0,536 17	70,7 4		0	54.26 4	0,536 17	0,536 17	56,1 5		0	55.57 2	0,536 17	0,536 17	54,83
S	S		2.323	100.1 11	0,804 25	0,804 25	2,37		8.721	55.68 8	0,804 25	0,804 25	2,41		11.21 4	9.307	0,804 25	0,804 25	2,44
	I		0	4.079	2,010 62	2,010 62	2,45		0	5.280	2,010 62	2,010 62	2,45		0	4.825	2,010 62	2,010 62	2,45
P	S	00830	- 20.04 0	327.8 66	0,536 17	0,536 17	9,34	00831	- 24.94 5	330.3 65	0,536 17	0,536 17	9,28	00832	- 66.02 6	315.9 80	0,536 17	0,536 17	9,79
	I		0	47.37 2	0,536 17	0,536 17	64,3 2		0	25.65 2	0,536 17	0,536 17	NS		0	9.101	0,536 17	0,536 17	NS
S	S		0	1.063	0,804 25	0,804 25	2,45		0	21.83 0	0,804 25	0,804 25	2,43		0	27.41 3	0,804 25	0,804 25	2,43
	I		16.76 8	33.54 5	2,010 62	2,010 62	2,47		9.206	81.96 6	2,010 62	2,010 62	2,51		86.95 8	95.06 0	2,010 62	2,010 62	2,50
P	S	00833	- 53.50 9	327.6 85	0,536 17	0,536 17	9,42	00834	- 40.36 1	287.7 50	0,536 17	0,536 17	10,6 9	00835	- 32.04 0	217.5 16	0,536 17	0,536 17	14,11
	I		0	44.39 4	0,536 17	0,536 17	68,6 3		0	54.74 0	0,536 17	0,536 17	55,6 6		0	55.38 0	0,536 17	0,536 17	55,02
S	S		0	4.057	0,804 25	0,804 25	2,45		4.703	1.202	0,804 25	0,804 25	2,45		-2.697	46.84 9	0,804 25	0,804 25	2,42
	I		16.17 7	42.35 4	2,010 62	2,010 62	2,48		0	4.284	2,010 62	2,010 62	2,45		0	5.597	2,010 62	2,010 62	2,45
P	S	00836	- 24.92 1	130.8 99	0,536 17	0,536 17	23,4 1	00837	- 16.72 2	36.59 6	0,536 17	0,536 17	83,5 8	00838	- 45.14 1	222.2 12	0,536 17	0,536 17	13,86
	I		0	46.26 6	0,536 17	0,536 17	65,8 5		0	28.06 5	0,536 17	0,536 17	NS		0	54.03 7	0,536 17	0,536 17	56,38
S	S		-7.531	91.21 2	0,804 25	0,804 25	2,38		-8.041	134.5 48	0,804 25	0,804 25	2,35		302	28.39 4	0,804 25	0,804 25	2,43
	I		0	4.561	2,010 62	2,010 62	2,45		0	4.104	2,010 62	2,010 62	2,45		0	3.276	2,010 62	2,010 62	2,45
P	S	00839	- 16.32 6	272.6 81	0,536 17	0,536 17	11,2 2	00840	5.996	245.7 75	0,536 17	0,536 17	12,3 8	00841	- 56.68 1	263.4 53	0,536 17	0,536 17	11,72
	I		0	31.59 7	0,536 17	0,536 17	96,4 3		0	2.836	0,536 17	0,536 17	NS		0	24.71 0	0,536 17	0,536 17	NS
S	S		0	5.986	0,804 25	0,804 25	2,45		0	5.752	0,804 25	0,804 25	2,45		0	5.137	0,804 25	0,804 25	2,45



Platee - Verifiche pressoflessione retta allo SLU																				
Dir	Pos	Nodo	N _{Ed} [N]	M _{Ed} [N-m]	A _s [cm ² /cm]	A _{dr} [cm ² /cm]	CS	Nodo	N _{Ed} [N]	M _{Ed} [N-m]	A _s [cm ² /cm]	A _{dr} [cm ² /cm]	CS	Nodo	N _{Ed} [N]	M _{Ed} [N-m]	A _s [cm ² /cm]	A _{dr} [cm ² /cm]	CS	
	I		3.713	43.576	2,01062	2,01062	2,48		-	11.525	47.155	2,01062	2,01062	2,49		10.023	45.190	2,01062	2,01062	2,48
P	S	00842	-	231.204	0,53617	0,53617	13,34													
	I		51.410	53.506	0,53617	0,53617	56,94													
S	S		-1.568	22.218	0,80425	0,80425	2,43													
	I		0	2.932	2,01062	2,01062	2,45													

LEGENDA:

- Dir** Direzione [P] = principale (asse locale 1) - [S] = secondaria (asse locale 2).
Pos Posizione [S] = superiore - [I] = inferiore.
A_s Area delle armature esecutive per unità di lunghezza.
A_{dr} Armatura disponibile per la flessione
CS Coefficiente di sicurezza ([NS] = Non Significativo se CS ≥ 100; [VNR]= Verifica Non Richiesta; Informazioni aggiuntive sulla condizione: [V] = statica; [E] = eccezionale; [S] = sismica; [N] = sismica non lineare).
N_{Ed}, M_{Ed} Sollecitazioni di progetto.

8.2 Verifica delle tensioni di esercizio del plinto

Si riporta di seguito, in forma tabellare, la verifica delle tensioni di esercizio del plinto di fondazione, sia per il calcestruzzo che per l'acciaio.

PLINTO - VERIFICHE DELLE TENSIONI DI ESERCIZIO

Nodo/ T _{prnf}	Dir	Compressione calcestruzzo							Platee - verifiche delle tensioni di esercizio						
		Compressione calcestruzzo rinforzo							Trazione acciaio						
		Id _{Cmb}	σ _{cc} [N/mm ²]	σ _{cd,amm} [N/mm ²]	N _{Ed} [N]	M _{Ed} [N-m]	CS	Verificato	Id _{Cmb}	σ _{at} [N/mm ²]	σ _{td,amm} [N/mm ²]	N _{Ed} [N]	M _{Ed} [N-m]	CS	Verificato
Fondazione		Platea 1													
00546	P	RAR	21,859	18,43	8.552.599	24.868.304	0,84	SI	RAR	310,958	360,00	8.552.599	24.868.304	1,16	SI
		QPR	0,060	13,82	-	-80.480	NS	SI	-	-	-	-	-	-	-
	S	RAR	12,996	18,43	3.895.572	34.868.468	1,42	SI	RAR	298,826	360,00	3.895.572	34.868.468	1,20	SI
		QPR	0,036	13,82	0	-80.625	NS	SI	-	-	-	-	-	-	-

LEGENDA:

- Rinf.** Indica la presenza del rinforzo sulla sezione di verifica.
Dir Direzione [P] = principale (asse locale 1) - [S] = secondaria (asse locale 2).
Id_{Cmb} Identificativo della Combinazione di Azione: [QPR] = Quasi Permanente - [FRQ] = Frequente - [RAR] = Rara.
σ_{cc} Tensione massima di compressione nel calcestruzzo della Trave/Rinforzo.
σ_{cd,amm} Tensione ammissibile per la verifica a compressione del calcestruzzo.
σ_{at} Tensione massima di trazione nell'acciaio della Trave/Rinforzo o nel FRP.
σ_{td,amm} Tensione ammissibile per la verifica a trazione dell'acciaio/rinforzo.
N_{Ed}, M_{Ed} Sollecitazioni di progetto.
CS Coefficiente di Sicurezza (= σ_{cd,amm}/σ_{cc} ; σ_{td,amm}/σ_{at}). [NS] = Non Significativo (CS ≥ 100).
Verificato [SI] = La verifica è soddisfatta (σ_{cc} ≤ σ_{cd,amm} ; σ_{at} ≤ σ_{td,amm}). [NO] = La verifica NON è soddisfatta (σ_{cc} > σ_{cd,amm} ; σ_{at} > σ_{td,amm}).
Nota Nella tabella, per ogni elemento, viene riportato il nodo della shell che ha il coefficiente di sicurezza (CS) più piccolo.

8.3 Verifica a fessurazione del plinto

Si riporta di seguito, in forma tabellare, la verifica a fessurazione del plinto di fondazione.

PLINTO - VERIFICA ALLO STATO LIMITE DI FESSURAZIONE

Platee - verifica allo stato limite di fessurazione															
Nodo	Dir	Id _{Cmb}	N _{Ed} [N]	M _{Ed} [N-m]	σ _{ct,f} [N/mm ²]	σ _t [N/mm ²]	ε _{sm}	A _e [cm ²]	Δ _{sm} [mm]	W _d [mm]	W _{amm} [mm]	CS	Verificato		
Fondazione		Platea 1							AA= PCA						



Platee - verifica allo stato limite di fessurazione

Nodo	Dir	Id _{cmb}	N _{Ed}	M _{Ed}	σ _{ct,f}	σ _t	ε _{sm}	A _e	Δ _{sm}	W _d	W _{amm}	CS	Verificato
			[N]	[N-m]	[N/mm ²]	[N/mm ²]		[cm ²]	[mm]	[mm]	[mm]		
NOTA: L'elemento NON è fessurato. Di seguito si riporta il nodo strutturale per la quale si riscontra la massima tensione di trazione(max σ _{ct,f})													
00443	P	FRQ	-	-76.557	0,16	2,45	0 E+00	0	0	0,000	0,400	-	SI
		QPR	-	-76.557	0,16	2,45	0 E+00	0	0	0,000	0,300	-	SI
	S	FRQ	-	-76.467	0,11	2,45	0 E+00	0	0	0,000	0,400	-	SI
		QPR	-	-76.467	0,11	2,45	0 E+00	0	0	0,000	0,300	-	SI

LEGENDA:

- Dir** Direzione [P] = principale (asse locale 1) - [S] = secondaria (asse locale 2).
AA Identificativo dell'aggressività dell'ambiente: [PCA] = Ordinarie (Poco aggressivo) - [MDA] = Aggressive (Moderatamente aggressivo) - [MLA] = Molto aggressivo.
Id_{cmb} Identificativo della Combinazione di Azione: [QPR] = Quasi Permanente - [FRQ] = Frequente - [RAR] = Rara.
N_{Ed}, M_{Ed} Sollecitazioni di progetto.
σ_{ct,f} Tensione massima di trazione nel calcestruzzo per la fessurazione, calcolata nell'ipotesi di calcestruzzo resistente a trazione. Se tale valore è maggiore di σ_t la sezione è soggetta a fessurazione.
σ_t N.B. I valori negativi indicano una sezione interamente compressa. In tal caso le sollecitazioni forniscono il minimo valore di compressione. Tensione massima di trazione nel calcestruzzo relativa allo stato limite di formazione delle fessure [relazione (4.1.37) del § 4.1.2.2.4.1 del DM 2008].
ε_{sm} Deformazione media nel calcestruzzo.
A_e Area efficace del calcestruzzo teso.
Δ_{sm} Distanza media tra le fessure.
W_d Valore di calcolo di apertura massima delle fessure.
W_{amm} Valore ammissibile di apertura delle fessure.
CS Coefficiente di Sicurezza (=W_d / W_{amm}). [NS] = Non Significativo (CS ≥ 100). [-] = Fessurazioni nulle (W_d = 0).
Verificato [SI] = W_d ≤ W_{amm}; [NO] = W_d > W_{amm}

8.4 Verifica a pressoflessione deviata dei pali

Si riporta di seguito, in forma tabellare, la verifica a pressoflessione deviata dei pali di fondazione.

PALI - VERIFICHE A PRESSOFLESSIONE DEVIATA ALLO SLU

Pali - Verifiche a pressoflessione deviata allo SLU									
Id _{PI}	Id _{Nd}	N _{Ed}	M _{Ed,x}	M _{Ed,y}	CS	N _u	φ _s	n _s	φ _{As,st}
		[N]	[N-m]	[N-m]		[N]	[mm]		[mm]
PALO12	00014	1.045.929	-446.755	-261	2.01[V]	10.217.825	20	11	8
PALO7	00013	350.954	213.054	183.586	2.43[V]	10.217.825	20	11	8
PALO1	00012	-341.224	-77.668	-553	5.57[V]	10.217.825	20	11	8
PALO6	00011	353.672	212.656	-183.392	2.44[V]	10.217.825	20	11	8
PALO11	00010	955.116	-304.067	300.102	2.04[V]	10.217.825	20	11	8
PALO9	00009	699.274	5.385	368.848	2.16[V]	10.217.825	20	11	8
PALO5	00008	6.139	187.750	-47.278	2.91[V]	10.217.825	20	11	8
PALO3	00007	-246.302	16.792	-113.567	4.09[V]	10.217.825	20	11	8
PALO2	00006	-248.982	16.324	114.101	4.06[V]	10.217.825	20	11	8
PALO4	00005	6.206	190.639	47.256	2.87[V]	10.217.825	20	11	8
PALO8	00004	699.210	4.376	-368.131	2.16[V]	10.217.825	20	11	8
PALO10	00003	951.538	-301.131	-299.498	2.05[V]	10.217.825	20	11	8

8.5 Verifica a taglio per pressoflessione deviata dei pali

Si riporta di seguito, in forma tabellare, la verifica a taglio per pressoflessione deviata dei pali di fondazione.

PALI - VERIFICHE A TAGLIO (Fondazione)

Pali - Verifiche a Taglio										
Id _{PI}	Id _{Nd}	V _{Ed}	CS	V _{Rcd}		V _{Rsd,s}		A _{sw}	S _{Asw}	φ _{As,st}
				X	Y	X	Y			
		[N]		[N]		[N]		[cm ² /cm]	[cm]	[mm]
PALO12	00003	173.328	2,04	1331206	0	354040	0	0,0529	19	8
PALO7	00004	20.764	17,05	1331206	0	354040	0	0,0529	19	8
PALO1	00005	173.135	2,04	1331206	0	354040	0	0,0529	19	8
PALO6	00006	243.745	1,45	1331206	0	354040	0	0,0529	19	8
PALO11	00007	123.372	2,87	1331206	0	354040	0	0,0529	19	8



Pali - Verifiche a Taglio

Id _{PI}	Id _{ND}	V _{Ed}	CS	V _{Rcd}		V _{Rsd,s}		A _{sw}	S _{Asw}	φ _{As,st}
				X	Y	X	Y			
		[N]		[N]		[N]		[cm ² /cm]	[cm]	[mm]
PALO9	00008	66.396	5,33	1331206	0	354040	0	0,0529	19	8
PALO5	00009	66.435	5,33	1331206	0	354040	0	0,0529	19	8
PALO3	00010	123.567	2,87	1331206	0	354040	0	0,0529	19	8
PALO2	00011	211.549	1,67	1331206	0	354040	0	0,0529	19	8
PALO4	00012	235.565	1,50	1331206	0	354040	0	0,0529	19	8
PALO8	00013	235.525	1,50	1331206	0	354040	0	0,0529	19	8
PALO10	00054	211.544	1,67	1331206	0	354040	0	0,0529	19	8

LEGENDA:

Id_{PI}	Identificativo del palo.
Id_{ND}	Identificativo del nodo in testa al palo.
V_{Ed}	Massima sollecitazione di taglio composta in funzione di V _{Ed,x} , V _{Ed,y} e dell'asse neutro.
CS	Coefficiente di sicurezza ([NS] = Non Significativo se CS ≥ 100; [VNR]= Verifica Non Richiesta; Informazioni aggiuntive sulla condizione: [V] = statica; [E] = eccezionale; [S] = sismica; [N] = sismica non lineare).
V_{Rcd}	Resistenza a taglio compressione del calcestruzzo.
V_{Rsd,s}	Resistenza a taglio trazione delle staffe.
A_{sw}	Area delle staffe per unità di lunghezza.
S_{Asw}	Passo massimo staffe da normativa.
φ_{As,st}	Diametro delle staffe.